Signaturdefekte modulo Z für freie G-Aktionen

Inaugural-Dissertation

zur

Erlangung des Doktorgrades

der

Hohen Mathem.-Naturw.Fakultät

der

Rheinischen Friedrich-Wilhelms-Universität

zu

Bonn

vorgelegt von
Karlheinz Knapp

Bonn 1975

Inhalt

Einleitung

Literaturverzeichnis

		·	
§	0	Vorbemerkungen und Definitionen	1
§	1	Die v-Invarianten von Atiyah-Singer	8
§	2	K-Theorie-charakteristische Zahlen für freie G-Mannigfaltigkeiten	18
§	3	Beziehungen zwischen charakteristischen Zahlen und v-Invarianten	31
§	4	Der Hurewicz-Homomorphismus für MSO	39
§	5	Die Isomorphie $K_1(BG) = S_a^{-1}R(G)/R(G)$	46
§	6	K-Theorie mit Koeffizienten	52
§	7	Die Verschlingungsform auf K(BG)	57
§	8	Der Signaturdefekt mod Z als charakteristische Zahl	65
§	9	$lpha_{ m Z}^{}$ und $\gamma_{ m Z}^{}$ auf stabil parallelisierbaren Mannigfaltigkeiten	74
§ :	10	Die e-Invariante auf Ω^{fr} (BG)	82
Bezeichnungen			
Tabelle der γ^i und γ^i_Z			88

90

Einleitung

Die Bordismusgruppe Ω_{2n-1}^{SO} (G) freier, ungerade-dimensionaler, orientierter G-Mannigfaltigkeiten ist für eine endliche Gruppe G eine Torsionsgruppe. Daher wird ein geeignetes Vielfaches einer freien G-Mannigfaltigkeit M^{2n-1} von einer G-Mannigfaltigkeit X^{2n} äquivariant berandet. Der Rand von X^{2n} verursacht Korrekturterme in Formeln, die Invarinaten wie Signatur und G-Signatur auf geschlossenen Mannigfaltigkeiten durch charakteristische Zahlen beschreiben. Über diese Korrekturterme induzieren Signatur und G-Signatur Invarianten auf ungerade-dimensionalen G-Mannigfaltigkeiten.

Gilt etwa $r \cdot M^{2n-1} = \partial x^{2n}$, so verschwindet im G-Signatursatz für die freie G-Mannigfaltigkeit x^{2n} für $g \neq 1$ der durch die charakteristischen Zahlen gebildete Term und als Korrekturterm bleibt sign (g,X). Wegen besonderer Eigenschaften der G-Signatur sign (g,X) ist die komplexe Zahl $\frac{1}{r} \cdot \text{sign}(g,X)$ für $g \neq 1$ nur noch vom Rand $r \cdot M$ abhängig; durch diese Zahl ist die α -Invariante der G-Aktion auf M definiert.

Auf Überlagerungen berandeter Mannigfaltigkeiten ist die Signatur nicht notwendig multiplikativ. Wird $r \cdot M^{2n-1}$ wieder von x^{2n} berandet, dann ist die Abweichung der Signatur von der Multiplikativität auf der Überlagerung $x \longrightarrow x/G$ eine Invariante des Randes und definiert den Signaturdefekt

$$\gamma(M \rightarrow M/G) := \frac{1}{r} (sign(X) - |G| \cdot sign(X/G))$$

Der G-Aktion lassen sich lokale Koeffizientensysteme zuordnen, mit deren Hilfe man "getwistete" Signaturdefekte γ^i definiert. α -Invarinate und getwistete Signaturdefekte bestimmen sich wechselseitig.

Für eine nullbordante freie G-Mannigfaltigkeit sind die γ^i ganzzahlig und die α -Invarinate ist eine ganzzahlige Linearkombination von |G|-ten Einheitswurzeln ξ^i . Daher definieren die Restklassen der Signaturdefekte modulo Z und der α -Invarianten modulo $Z(\xi)$ Funktionen γ_Z^i und α_Z auf der Bordismusgruppe $\Omega_{2n-1}(G)$. α -Invariante und Signaturdefekte lassen sich im allgemeinen nur sehr schwer berechnen. Es ist daher eine naheliegende Frage, ob es andere Verfahren gibt, mit denen

man diese Invarianten - zumindest teilweise - berechnen kann, ohne gezwungen zu sein, eine berandende G-Mannigfaltigkeit zu suchen. Das Ziel der vorliegenden Arbeit ist, dieses Problem für die Restklassen der Invarianten mod. Z zu behandeln.

Wir werden uns meist auf die Operation einer zyklischen Gruppe ungerader Ordnung beschränken, obwohl eine Verallgemeinerung auf endliche abelsche Gruppen oder - mit einigen Modifikationen - auf kompakte, topologisch zyklische Gruppen wie s 1 möglich ist.

In § O werden die Definitionen und die verschiedenen Beziehungen der Invarianten untereinander zusammengestellt. Außerdem findet sich dort eine elementare Behandlung des Problems, inwieweit man mit den mod-p-charakteristischen Zahlen aus [C-F 1] die Signaturdefekte γ_Z^i für eine freie Z_p -Aktion bestimmen kann. Die Sonderrolle der Primzahl 2 beim orientierten Bordismus überträgt sich auf den äquivarianten Bordismus. Während für Involutionen die α -Invariante und die Signaturdefekte ganzzahlig sind, wachsen bei Aktionen zyklischer Gruppen ungerader Ordnung die Nenner von γ^i und γ dimensionsabhängig. γ_Z^i läßt sich daher nur in einem gewissen Dimensionsbereich als mod-p-charakteristische Zahl erhalten.

Der G-Signatursatz ermöglicht es, für eine geschlossene G-Mannigfaltigkeit die äquivariante Signatur durch eine charakteristische Zahl L(g,Y) zu berechnen. Hat die G-Mannigfaltigkeit Y einen Rand M, auf dem G frei operiert, dann ist die Zahl L(g,Y) für $g \neq 1$ noch sinnvoll definiert und die Abweichung von der Gültigkeit des Signatursatzes, nämlich die Differenz sign(g,Y) - L(g,Y), wird durch die α -Invariante von M beschrieben. Für α_Z folgt dann die Kongruenz

$$\alpha_{Z}(g,M) = -L(g,Y) \mod Z(\xi)$$

Diese Beziehung erlaubt es, weitere Invarianten vom Typ $\alpha_Z^{(g,M)}$ einzuführen: Durch Wahl anderer charakteristischer Zahlen anstelle von L(g,Y) werden die Atiyah-Singer-v-Invarianten definiert.

Eine Definition dieser Zahlen, die in [A-S 4] nur kurz angedeutet ist, und ein Abstecken ihres Definitionsbereiches findet sich in § 1. Der bequemeren Darstellung halber fassen wir den Wertebereich der v-Invarianten etwas anders. Statt $\mathbb{Q}(\xi)/\mathbb{Z}(\xi)$ läßt sich der Quotient einer Lokalisation des Darstellungsrings von G $S^{-1}R(G)/R(G)$ verwenden.

Die Zahl L(g,Y) wird aus der zum Signaturoperator gehörenden Symbolklasse abgeleitet. Symbolklassen bestimmter elliptischer Differentialoperatoren weisen Natürlichkeitseigenschaften auf, die eine enge Beziehung zu charakteristischen Klassen nahelegen. Mittels universeller Symbolklassen werden in § 2 verallgemeinerte K-Theorie-charakteristische Zahlen aus K_1 (BG) für orientierte freie G-Mannigfaltigkeit definiert und diskutiert. Dabei wird eine grundlegende Rolle der Signatur-Symbolklasse deutlich. Nach Einführung eines geeigneten Koeffizientenbereiches R läßt sich aus ihr eine K(-;R)-Fundamentalklasse $[-]_S$ für orientierte Mannigfaltigkeiten konstruieren, die über das Kroneckerprodukt der K-Theorie die einfache Signaturformel $< 1, [X]_S >_K = \text{sign } X$ liefert.

§ 3 stellt die Verbindung zwischen den charakteristischen Zahlen und den v-Invarianten her. Dazu wird ein Isomorphismus zwischen den Wertebereichen der charakteristischen Zahlen und der v-Invarianten $\psi\colon K_1(BG)\longrightarrow s^{-1}R(G)/R(G)$ konstruiert, unter dem die zu einer Symbolklasse gehörende charakteristische Zahl auf die entsprechende v-Invariante abgebildet wird. Den mit Hilfe der Fundamentalklasse [-] $_S$ definierten Thomhomomorphismus $\mu\colon \Omega_*^{SO}(BG)\longrightarrow K_*(BG)$ kann man mittels ψ durch die α_Z -Invariante beschreiben. Die Übereinstimmung von charakteristischen Zahlen und Invarianten vom Typ der Atiyah-Singer-v-Invarianten ist in bestimmten Fällen bekannt. Für stabil fast-komplexe G-Mannigfaltigkeiten findet man einen Beweis in [W].

In § 4 wird mit den Methoden aus [Ha] der Satz von Hattori-Stong auf Ω^{SO} $\mathbb{Z}[1/2]$ übertragen und damit gezeigt, daß die in § 2 definierten charakteristischen Zahlen

und damit die v-Invarianten die Bordismusklassen in $\widetilde{\Omega}_*(BG)$ für zyklische Gruppen ungerader Ordnung bestimmen.

Um den Fluß der Darstellung nicht unnötig zu stören, sind einige später benötigte Sätze für die K-Theorie mit Koeffizienten in einem Paragraphen (§6) zusammengefaßt.

§ 7 enthält eine Berechnung des Kroneckerproduktes <,> : $K^1(BG;Q/Z) \times K_1(BG) \rightarrow Q/Z$ das durch die Verschlingungsformen auf den Linsenräumen induziert wird. Es gelingt mittels der Ergebnisse aus § 5, diese Verschlingungsform im Rahmen der Darstellungstheorie vollständig zu beschreiben. Die übliche Methode, K-Theorie Kroneckerprodukte mittels Riemann-Roch-Formeln in gewöhnliche Kroneckerprodukte umzurechnen, ist hier nicht anwendbar.

Als Folgerung erhalten wir in § 8 eine Darstellung der Signaturdefekte γ_Z^i und γ_Z durch K-Theorie-charakteristische Zahlen aus \mathbb{Q}/\mathbb{Z} . Damit sind γ^i und γ mod. Z durch Invarianten beschrieben, mit denen man das Aufsuchen einer berandenden G-Mannigfaltigkeit vermeiden kann. Daß diese charakteristische Zahlen – die K-Theorie Analoga zu den mod-p-charakteristischen Zahlen aus [C-F 1] – die Bordismusklassen bestimmen, wird gleichfalls aus der Kenntnis der Verschlingungsform auf BG hergeleitet. Eine sich anschließende Abschätzung der Ordnung von γ_Z erlaubt einen Rückschluß auf die Nenner der von D. Zagier in [Z] untersuchten höherdimensionalen Dedekindsummen.

In den beiden letzten Paragraphen betrachten wir statt orientierter, stabil-parallelisierte G-Mannigfaltigkeiten. Die Invarianten $\alpha_{\rm Z}, \gamma_{\rm Z}^{\rm i}, \gamma_{\rm Z}$ werden auf stabil-parallelisierten freien $\rm Z_p$ -Mannigfaltigkeiten vollständig berechnet. Kongruenzen zwischen den $\gamma_{\rm Z}^{\rm i}$ erlauben eine Bestimmung des Bildes der stabilen Homotopiegruppen $\pi_{\rm X}^{\rm S}({\rm BZ}_{\rm p})$ in $\rm K_1$ (BZ $_{\rm p}$) unter dem Hurewicz-Homomorphismus und damit eine Berechnung der Vergißhomomorphismen $\Omega_{\rm X}^{\rm fr}({\rm BZ}_{\rm p}) \longrightarrow \Omega_{\rm X}^{\rm SO}({\rm BZ}_{\rm p})$ und $\Omega_{\rm X}^{\rm fr}({\rm BZ}_{\rm p}) \longrightarrow \Omega_{\rm X}^{\rm U}({\rm BZ}_{\rm p})$; der letztere wurde von L. Smith [Sm] mit völlig anderen Methoden zum Teil berechnet.

Die von M. Kreck in [K] gefundenen Beziehungen zwischen der zur Signatur gehörenden δ -Invariante und der e-Invariante von Adams werden auf stabil-parallelisierte, freie $\mathbf{Z}_{\mathbf{p}}$ -Mannigfaltigkeiten erweitert. An die Stelle der Signatur tritt die äquivariante Signatur. Dies führt zu einer Berechnung der e-Invarianten auf $\pi_{\star}^{S}(\mathbf{BZ}_{\mathbf{p}})$.

Am Ende der Arbeit sind in Form einer Tabelle die Werte der Invarianten γ^i und γ auf einigen Linsenräumen zusammengestellt.

Ich möchte an dieser Stelle Herrn Prof. F. Hirzebruch für seine Unterstützung danken. Herrn Prof. E. Ossa, der mich auf den Problemkreis aufmerksam machte, und Herrn Dr.W. Neumann danke ich für zahlreiche nützliche Diskussionen und Ratschläge. Dem Sonderforschungsbereich 40 "Theoretische Mathematik" bin ich für die finanzielle Unterstützung während des Fertigstellens der Arbeit Dank schuldig.

§ O Vorbereitungen und Definitionen

Es sei G eine endliche Gruppe. Für eine (2n-1)-dimensionale geschlossene orientierte C^{∞} -Mannigfaltigkeit M, auf der G differenzierbar, frei und orientierungserhaltend operiert, definiert man die α -Invariante wie folgt: Es gibt immer eine ganze Zahl r, so daß r·M frei und äquivariant von einer G-Mannigfaltigkeit x^{2n} berandet wird. Für x^{2n} ist die äquivariante Signatur sign(g,X), $g \in G$, erklärt.

Wegen der Novikovadditivität der äquivarianten Signatur und des Verschwindens von sign(g,Y) für g \neq 1 auf einer geschlossenen freien G-Mannigfaltigkeit Y hängt α (g,M) nur von dem Paar (M;G) ab.

In enger Verbindung mit der α -Invarianten steht der Signaturdefekt einer Überlagerung:

Die Orbitabbildung M \longrightarrow M/G ist eine |G|-fache Überlagerung, deren r-faches von der Überlagerung X \longrightarrow X/G berandet wird. Da X und X/G Mannigfaltigkeiten mit Rand sind, ist die Signatur auf der Überlagerung X \longrightarrow X/G nicht mehr notwendig multiplikativ, d.h. die Differenz sign(X) - |G|· sign(X/G) braucht nicht zu verschwinden. Wie für α folgt aus der Novikovadditivität der Signatur, daß

$$\gamma (M \rightarrow M/G) := \frac{1}{r} (sign(X) - |G| \cdot sign(X/G))$$
 (0.2)

eine Invariante des Paares (M,G) ist.

Aus der bekannten Tatsache, daß die rationale Kohomologie eines Quotienten X/G der unter G invarianten Teil der Kohomologie von X ist, folgt für die Signatur von X/G (siehe [H-Z] \S 4) die Gleichung

$$sign(X/G) = \frac{1}{|G|} \cdot \sum_{g \in G} sign(g,X)$$
 (0.3)

und daher für den Signaturdefekt wegen $sign(1,X) - |G| \cdot sign(X/G) = -\sum_{g \neq 1} sign(g,X)$ die Beziehung

$$\gamma(M \longrightarrow M/G) = -\sum_{g \neq 1} \alpha(g,M)$$
 (0.4)

Daß man umgekehrt die α -Invariante durch Signaturdefekte beschreiben kann, wurde von Neumann [N] gefunden, und soll im folgenden kurz dargestellt werden. Für die Beweise und Verallgemeinerungen sei auf [N] verwiesen. Einfachheitshalber beschränken wir uns hier auf guklische Grunnen.

Einfachheitshalber beschränken wir uns hier auf zyklische Gruppen; g_{0} sei ein fest gewähltes Erzeugende von G; M und X wie oben.

Die Überlagerung $X \longrightarrow X/G =: \overline{X}$ definiert einen Homomorphismus $\alpha \colon \pi_1(\overline{X}) \longrightarrow G$ (man nimmt aus der exakten Homotopiesequenz der Faserung $G \longrightarrow X \longrightarrow \overline{X}$ den Randoperator $\pi_1(X,*) \stackrel{\Delta}{\longrightarrow} \pi_o(G;g_o)$ und identifiziert $\pi_o(G;g_o)$ mittels g_o mit G).

Verknüpft mit einer unitären Darstellung $\tau\colon G \to U(\mathbb{C}^{\mathbb{T}})$ ($\underline{\tau}=$ Dimension der Darstellung) erhält man einen Homomorphismus $\tau\alpha\colon \pi_1(\overline{x}) \longrightarrow U(\mathbb{C}^{\underline{T}})$, der ein lokales Koeffizientensystem $\Gamma(\tau\alpha)$ auf \overline{x} definiert. Auf dem lokalen Koeffizientensystem ist durch die übliche hermitesche Form β des $\mathbb{C}^{\underline{T}}$ eine kanonische Paarung definiert, so daß man eine $(-1)^n$ -hermitesche-Form

$$H^*(\overline{X};\partial\overline{X};\Gamma(\tau\alpha)) \otimes H^*(\overline{X},\partial\overline{X},\Gamma(\tau\alpha)) \longrightarrow H^*(\overline{X},\partial\overline{X};\mathbb{C})$$

und damit eine Signatur sign $(\bar{X},\Gamma(\alpha\circ\tau))$ definieren kann. (Für n ungerade multipliziert man die Form mit (-i) und nimmt deren Signatur).

Eine ausführliche Diskussion solcher Invarianten findet man in [M] und [L]. Die Differenz zwischen "getwisteter" und ungetwisteter Signatur definiert wieder einen Signaturdefekt:

$$\gamma^{\tau}(M \longrightarrow M/G) := \frac{1}{r} \cdot (sign(\bar{X}; \Gamma(\tau \circ \alpha)) - \underline{\tau} \cdot sign(\bar{X}))$$
 (0.5)

der wiederum nur von (M,G) und τ abhängt.

Nimmt man als T die reguläre Darstellung r: $G \longrightarrow U(\mathbb{C}^{|G|})$, dann hat man wegen $H^*(\overline{X};\Gamma(r \circ \alpha)) \cong H^*(X,\mathbb{C})$ die Beziehung $\gamma^r(M \longrightarrow M/G) = \gamma(M \longrightarrow M/G)$.

Die reguläre Darstellung r zerfällt in die Summe der irreduziblen Darstellungen τ_i von G und das zieht ein Zerfallen von $\gamma^r (M \longrightarrow M/G)$ in eine Summe $\sum \gamma^{Ti} (M \longrightarrow M/G)$ nach sich.

Auf $H^*(\overline{X};\Gamma(r\alpha)) \cong H^*(X,\mathbb{C})$ hat man eine G-Operation und daher eine kanonische Zerlegung von $H^*(\overline{X},\Gamma(r\alpha))$ in Summanden, die jeweils Vielfache einer der irreduziblen Darstellungen τ_i sind. Das hat eine Zerlegung der äquivarianten Signatur von $H^*(\overline{X};\Gamma(r\alpha))$ zur Folge. Damit ist der Weg zu dem folgenden Satz skizziert.

Satz (Neumann [N]) Ist $\tau_i \colon G \longrightarrow U(1)$ $i=1,\ldots,|G|-1$ eine Liste der irreduziblen Darstellungen von G und $\chi^i(g)$ der Wert des Charakters von τ_i auf g, dann gilt

$$\alpha(g,M) = \sum_{i=1}^{|G-1|} \chi^{i}(g) \cdot \gamma^{T}(M \rightarrow M/G)$$
 (0.6)

$$\gamma^{T}(M \rightarrow M/G) = \frac{1}{|G|} \sum_{g \neq 1} \alpha(g,M) (\chi^{i}(g^{-1}) - 1)$$
 (0.7)

$$\gamma^{r}(M \rightarrow M/G) = \gamma(M \rightarrow M/G) = -\sum_{g \neq 1} \alpha(g,M) = \sum_{g \neq 1} \gamma^{T_{i}}(M \rightarrow M/G)$$
 (0.8)

Für eine zyklische Gruppe G der Ordnung q liegt die komplexe Zahl $\alpha(g_0,M)$ in dem durch Adjunktion einer primitiven q-ten Einheitswurzel ξ definierten Unterkörper $\mathfrak{Q}(\xi) \subset \mathbb{C}$. Mit (0.6) hat man eine Darstellung von $\alpha(g_0,M)$ als Linearkombination der Potenzen der Einheitswurzel ξ gefunden, die es erlaubt, die vorkommenden Koeffizienten als "getwistete Signaturdefekte" zu deuten.

Konventionen:

Zum Erzeugenden $g_0 \in G$ wählen wir eine primitive irreduzible Darstellung ρ von G so, daß $\chi^{\rho}(g_0) = \xi = e^{\frac{2\pi i}{q}}$ gilt. Als τ_i nehmen wir die i-te Tensorpotenz von ρ und verabreden

$$\gamma^{i}(M \rightarrow M/G) := \gamma^{T_{i}}(M \rightarrow M/G)$$

Dann gilt gerade $\alpha(g_0,M) = \sum_{i=1}^{q-1} \gamma^i(M \rightarrow M/G) \cdot \xi^i$

Bemerkung:

Ist 2n-1 die Dimension von M, dann hat man nach Definition der äquivarianten Signatur die Fälle

n gerade
$$\gamma^{i} = \gamma^{p-i}$$
 (0.9)

n ungerade
$$\gamma^{i} = -\gamma^{p-i}$$
 (0.10)

zu unterscheiden.

Zwischen G-Mannigfaltigkeiten läßt sich auf die bekannte Art und Weise ein "äquivariante" Bordismusrelation erklären. Insbesondere sind die Bordismusgruppen freier orientierter G-Mannigfaltigkeiten $\Omega^{SO}(G)$ (G operiere orientierungserhaltend) erklärt, (siehe [C-F 1]) und eine naheliegende Frage ist es, wie sich die Invarianten α,γ,γ^i unter dieser Bordismusrelation verhalten. Ist M^{2n-1} in $\Omega^{SO}(G)$ nullbordant, d.h. wird M von X frei und äquivariant berandet, dann gilt $\alpha(g,M)=\text{sign}(g,M)$ und da $g\longmapsto \text{sign}(g,M)$ ein Charakter ist, ist $\alpha(g,M)$ eine algebraische Zahl, d.h. $\alpha(g,M)\in Z(\xi)\subset Q(\xi)$. Ebenso folgt, γ und γ^i sind ganzzahlig. Daher definieren die Restklassen dieser Invarianten in $Q(\xi)/Z(\xi)$ bzw. Q/Z Bordismusinvarianten:

$$\begin{array}{lll} \alpha_{Z}^{}\left(g\,\text{,-}\right): \; \Omega_{2n-1}^{SO}\left(G\right) & \longrightarrow & \frac{\mathbb{Q}\left(\xi\right)}{Z\left(\xi\right)} \\ \gamma_{Z}^{i} & : \; \Omega_{2n-1}^{SO}\left(G\right) & \longrightarrow & \mathbb{Q}/Z \\ \end{array}$$

$$\gamma_{Z}^{} & : \; \Omega_{2n-1}^{SO}\left(G\right) & \longrightarrow & \mathbb{Q}/Z \end{array}$$

Eine wichtige Eigenschaft der äquivarianten Signatur auf geschlossenen G-Mannig-faltigkeiten ist durch den Atiyah-Singer-Indexsatz gegeben: Der äquivariante Signatursatz besagt, daß man sign(g,X) durch eine durch die Fixpunktmenge der Operation von g auf X bestimmte Zahl L(g,X) berechnen kann. Ist y^{2n} eine nicht notwendig freie G-Mannigfaltigkeit, die M als Rand hat, dann ist die Differenz sign(g,Y) - L(g,Y) wieder unabhängig von der Auswahl von Y und es gilt (siehe[A-\$4])

$$\alpha(g,M) = sign(g,Y) - L(g,Y) \qquad (0.11)$$

Damit läßt sich in bestimmten Fällen &(g,M) berechnen: Faßt man die Sphären $S^{2n-1} \quad \text{als Einheitssphären des } \mathbb{C}^n \quad \text{auf, und ist } \xi \text{ wie oben die Einheitswurzel}$ $e^{\frac{2\pi i}{q}} \quad \text{, dann hat man durch} \quad (Z_1, \ldots, Z_n) \quad \longmapsto (Z_1 \cdot \xi^{q_1}, \ldots, Z_n \cdot \xi^{q_n}) \quad \text{eine Operation}$ der zyklischen Gruppe $G = \{ \xi^i \big| i = 1, ..., q \} \quad \text{definiert, die als Orbitraum gerade den Linsenraum } L(q; q_1, \ldots, q_n) \quad \text{hat. Diese Operation läßt sich mit einem}$ Fixpunkt auf die Scheibe $D^{2n} \quad \text{fortsetzen und wegen sign}(g, D^{2n}) = 0 \quad \text{erhält man}$ (siehe $[H-3] \quad) :$

$$\alpha(\xi, s^{2n-1}) = -L(\xi, D^{2n}) = -\prod_{i=1}^{n} \frac{\xi^{q_i}+1}{\xi^{q_i}-1}$$
 (0.12)

Ist $f: M/G \longrightarrow BG$ die klassifizierende Abbildung des G-Prinzipalbündels $M \longrightarrow M/G$, dann läßt sich bekanntlich die G-Bordismusgruppe $\Omega_n^{SO}(G)$ über die Zuordnung $(G,M) \longmapsto (M/G,f)$ mit $\Omega_n^{SO}(BG)$ identifizieren.

Für Elemente in $\Omega_{n}^{\text{SO}}(\text{BG})$ sind charakteristische Zahlen definiert und der Rest dieses Paragraphen ist einer elementaren Lösung der Frage gewidmet, inwieweit diese charakteristischen Zahlen die Invarianten γ_{Z}^{i} und damit α_{Z} und γ_{Z} beschreiben. Einfachheitshalber setzen wir voraus, daß |G| = p eine ungerade Primzahl ist.

Zunächst die Definition der charakteristischen Zahlen aus [C-F 1]: Wir benutzen die Identifikation von BZ $_p$ mit dem unendlich dimensionalen Linsenraum als dem Spärenbündel $S(\gamma^p) \xrightarrow{\pi} BS^1$ der p-ten Tensorpotenz des kanonischen Linienbündels über BS 1 und erhalten durch $\pi^*(\Upsilon^*)$ ein kanonisches Bündel H über BZ $_p$ mit erster Chernklasse $x \in H^2(BZ_p; Z_p)$. In $H^1(BZ_p; Z_p) = Z_p$ wählen wir als Erzeugendes y das Urbild von x unter dem Bocksteinhomomorphismus. Der Kohomologiering von BZ $_p$ läßt sich dann als Tensorprodukt einer äußeren Algebra und einer Polynomalgebra $H^*(BZ_p; Z_p) = \Lambda(y) \otimes P(x)$ beschreiben.

Dem Element $(M,f) \in \Omega_{2n-1}(BZ_p)$ werden durch die Kroneckerprodukte $f^*(x^i \cup y) \cup p_\omega(TM)$, $[M] > \epsilon Z_p$ ($p_\omega(TM) = Pontrjaginklasse zur Partition <math>\omega$) mod-p-charakteristische Zahlen zugeordnet. Für 2n-1 < 2p-1 ist nach [C-F1] jedes Element $(M,f) \in \widetilde{\Omega}_{2n-1}(BZ_p)$ durch seine mod-p-charakteristischen Zahlen festgelegt.

Für eine gerade dimensionale Mannigfaltigkeit X folgt aus den Eigenschaften der G-Signatur (siehe $\left[H-Z\right]$)

$$\alpha(g,M\times X) = \alpha(g,M)\cdot sign(X)$$
 (0.14)

und damit γ^i (M×X + (M×X)/G) = sign(X)· γ^i (M + M/G) . γ^i_Z : $\widetilde{\Omega}_{2n-1}$ (BZ_p) $\longrightarrow \emptyset$ /Z ist somit ein Ω_* Modulhomomorphismus wenn man die Ω_* -Modulstruktur auf \emptyset /Z durch die Signatur definiert. Daher genügt es γ^i_Z auf den Ω_* Modulerzeugenden zu bestimmen. Als Ω_* Modulerzeugende kann man die oben definierten G-Aktionen auf den Sphären (etwa mit Drehzahlen q_i = 1) wählen. Alle Elemente aus $\widetilde{\Omega}_{2n-1}$ (BZ_p) haben für 2n-1 < 2p-1 die Ordnung p, so daß man γ^i_Z als Funktion nach Z_p ansehen kann.

Wir müssen den Koeffizienten $\gamma_Z^i(s^{2n-1} \to L(p;q_1,\ldots,q_n))$ in $-\prod_{i=1}^n \frac{\xi^{q_i}+1}{\xi^{q_i}-1}$ als charakteristische Zahl in Z_p berechnen. Dabei hilft die in

[H-Z] und in [Z] an vielen analogen Problemen erfolgreich vorgeführte Methode, den Residuensatz einzusetzen, weiter.Mit "Fourierzerlegung" erhält man für γ^S

$$\gamma^{s}(s^{2n-1} \rightarrow L^{n}(p;q_{1},...,q_{n})) = -\frac{1}{p} \cdot \sum_{\substack{\xi=1 \ \xi=1}}^{n} \frac{\xi^{q_{i}+1}}{\xi^{q_{i}-1}} \cdot (\xi^{-s}-1)$$
 (0.15)

Man setzt
$$f(z)dz := -\frac{z^{b}-1}{z} \cdot \prod_{i=1}^{n} \frac{z^{q_{i}}+1}{z^{q_{i}}-1} \cdot \frac{dz}{z^{p}-1}$$
 mit $b := \prod_{i=1}^{n} q_{i} \cdot a$, so

daß b = -s mod p (o.B.d.A. seien die q_i paarweise relativ prim). Diese Differentialform hat Pole bei ∞ , O, 1 und ξ mit $\xi^p = 1$ (wegen des Faktors z^{b-1} sind die Stellen z mit $z^{q_i} = 1$ keine Pole). Die Pole an den Stellen $\xi^p = 1$ $\xi \neq 1$ sind einfach und die Residuen summieren sich gerade zu γ^s auf. Die Pole bei O und ∞ haben ganzzahlige Residuen.

Es bleibt der Pol bei 1: Mit der Substitution $z = e^{2t}$ und $g := \prod_{i=1}^{n} q_i$ folgt

$$-\operatorname{res}_{1}f(z)dz = \operatorname{res}_{0} \left\{ \begin{array}{c} \frac{e^{2bt}-1}{e^{2t}} \cdot \prod_{i=1}^{n} \frac{e^{2tq_{i}}+1}{e^{2tq_{i}}-1} \cdot \frac{de^{2t}}{e^{2tp}-1} \end{array} \right\}$$

$$= \operatorname{res}_{0} \left\{ \frac{2}{g} \cdot \frac{e^{2tb}-1}{e^{2tp}-1} \cdot \prod_{i=1}^{n} \frac{q_{i}t}{\tanh(q_{i}t)} \cdot \frac{dt}{t^{n}} \right\}$$

= Koeffizient von
$$t^{n-1}$$
 in der Taylorentwicklung von $\left\{\frac{2}{g} \cdot \frac{e^{2tb}-1}{e^{2tp}-1} \cdot \prod_{i=1}^{n} \frac{q_i t}{\tanh(q_i t)}\right\}$.

Durch einsetzen der Reihenentwicklungen von $(e^{2bt}-1)/t$ und $(2pt)/(e^{2pt}-1)$ und mit $\prod_{k=0}^{n} \frac{q_k t}{tanh(q_k t)} =: \sum_{m=0}^{\infty} \ell_m(q_1, \ldots, q_n) t^{2m}$ erhält man

$$-\operatorname{res}_{1}f(z)dz = \frac{1}{p \cdot q} \cdot \underbrace{\sum_{\substack{k,r,m>0\\k+2m+r=n-1}}}_{\substack{k,r,m>0\\k+2m+r=n-1}} \cdot \frac{(2b)^{k+1}}{(k+1)!} \cdot \frac{B_{r} \cdot (2p)^{r}}{r!} \cdot \ell_{m}(q_{1}, \ldots, q_{n})$$

 $(B_r = r-te Bernoullizahl)$

Wegen n < p kommt im Nenner der Zahl $\ell_m(q_1, \ldots, q_n)$ kein Faktor p vor, und die Reduktion mod p liefert

$$(-p \cdot res_1 f(z) dz) \equiv \sum_{k+2m=n-1} \frac{1}{g} \cdot \frac{(-2s)^{k+1}}{(k+1)!} \cdot \ell_m(q_1, ..., q_n) \mod p$$

Aus der Definition der Polynome $\ell_m(q_1,\ldots,q_n)$ durch die charakteristische Potenzreihe $(q_i^*t)/(tanh(q_i^*t))$ folgt (siehe [H-1]), daß $\ell_m(q_1,\ldots,q_n)$ gerade das m-te Hirzebruchsche L-Polynom in den elementarsymmetrischen Funktionen in den q_1^2,\ldots,q_n^2 ist. Beachtet man, daß die totale Pontrjaginklasse von $L^n(p;q_1,\ldots,q_n)$ durch $\Pi_{i=1}^n(1+q_i^2\cdot x^2)$ gegeben wird und die klassifizierende Abbildung $f:L^n(p;q_1,\ldots,q_n)\longrightarrow BZ_p$ den Abbildungsgrad 1/g mod p hat, dann läßt sich die obige Summe durch das mod-p-Kroneckerprodukt ($d:=\left[\frac{n-1}{2}\right]$)

$$<\sum_{m=0}^{d} \frac{(-2s \cdot f^*x)^{n-1-2m} \cdot (-2s \cdot f^*y)}{(n-2m)!} \cdot L_m (TL^n(p;q_1,..,q_n)) , [L^n(p;q_1,..,q_n)] >_{H} (0.16)$$

beschreiben. Nach dem Residuensatz folgt $\sum_{\xi \neq 1} \operatorname{res}_{\xi} = -\{\operatorname{res}_{o} + \operatorname{res}_{\infty} + \operatorname{res}_{1}\}$ und damit ist das Kroneckerprodukt (0.16) gerade $\operatorname{p} \cdot \gamma^{\operatorname{S}} \operatorname{mod} \operatorname{p}$. Damit ist gezeigt:

Satz 0.17 Es sei p eine ungerade Primzahl, n < p und $(M,f) \in \widetilde{\Omega}_{2n-1}(BZ_p)$. Dann gilt

$$\gamma_{\mathbf{Z}}^{-\mathbf{S}}(\mathbf{M},\mathbf{f}) = \langle \sum_{\mathbf{m}=\mathbf{o}}^{\left[\frac{\mathbf{n}-1}{2}\right]} \frac{(2\mathbf{s}\cdot\mathbf{f}^{*}\mathbf{x})^{\mathbf{n}-1-2\mathbf{m}} \circ (2\mathbf{s}\cdot\mathbf{f}^{*}\mathbf{y})}{(\mathbf{n}-2\mathbf{m})!} \circ L_{\mathbf{m}}(\mathbf{T}\mathbf{M}) , \left[\mathbf{M}\right] \rangle_{\mathbf{H}(\mathbf{x},\mathbf{I}_{p})}$$

Bemerkung:

Für $n \not p$ gibt es eine analoge Formel für $p^{a+1} \cdot \gamma^{-s}(x) \mod p$, wo a durch $a \cdot (2p-2) < 2n-1 < (a+1) \cdot (2p-2)$ bestimmt ist und $L_m(TM)/(n-2m)!$ durch die Kohomologieklasse $p^a L_m(TM)/(n-2m)!$, die keinen Faktor p im Nenner hat, zu ersetzen ist.

§ 1 Atiyah-Singer-v-Invarianten

Für das Studium kohomologischer Invarianten von G-Mannigfaltigkeiten ist der Lokalisierungssatz von Segal nicht nur einer der grundlegendsten sondern auch der anwendungsreichsten Sätze. Der Lokalisierungssatz erlaubt es, Invarianten, die durch eine äquivariante Kohomologietheorie definiert sind, über eine gewöhnliche – d.h. nicht äquivariante Kohomologie zu berechnen. Die in (0.11) benutzte Darstellung der α -Invariante wird ebenfalls erst durch den Lokalisierungssatz ermöglicht. Da von der Methode des Lokalisierens in dieser Arbeit recht ausführlich Gebrauch gemacht werden wird, soll zunächst etwas näher darauf eingegangen werden. Diese Diskussion führt unmittelbar zu der Definition der Atiyah-Singer-v-Invarianten, zu denen auch die $\alpha_{\rm Z}$ -Invariante zu rechnen ist.

In der Terminologie werden wir uns weitgehend an [A-S 2,3,4] halten.

Wir können uns im folgenden auf eine zyklische Gruppe G mit Erzeugenden g beschränken; indem man alle Überlegungen zunächst auf die von einem Element erzeugte Untergruppe anwendet (siehe [A-S 2]), wird der allgemeine Fall hierauf über die Natürlichkeit der Indexfunktion zurückgeführt.

Die Konjugiertenklasse des Erzeugenden g definiert das Primideal γ aller Charaktere, die auf g verschwinden. Lokalisiert man den Darstellungsring R(G) nach diesem Ideal γ , so heißt das, die Elemente der multiplikativ abgeschlossenen Teilmenge $S_g = R(G) - \gamma$ als Nenner einzuführen. Da für jeden G-Raum X $K_G(X)$ ein R(G)-Modul ist, ist dessen Lokalisierung $S_g^{-1}K_G(X)$ definiert (in $\begin{bmatrix} A-S & 2 \end{bmatrix}$ $S_g^{-1}K_G(X) = K_G(X)_{\gamma}$). Daß die Inklusion der Fixpunktmenge $i: X^g \longrightarrow X$ in den lokalisierten K_G -Gruppen einen Isomorphismus $S_g^{-1}(i^*): S_g^{-1}K_G(X) \longrightarrow S_g^{-1}K_G(X^g)$ induziert, ist die Aussage des Lokalisierungssatzes.

Insbesondere gilt $S_g^{-1}K_G^-(X)=0$ für einen Raum X , auf dem g fixpunktfrei operiert, so daß man sich den Lokalisierungsprozeß als eine Konzentration auf die Fixpunktmenge vorstellen kann.

Ist X eine geschlossene G-Mannigfaltigkeit, dann ist die Eulerklasse $\lambda_{-1}(N^g)$ des Normalenbündels N^g von TX^g in TX in $S_g^{-1}K_G(X^g)$ invertierbar und da die Hintereinanderausführung von Inklusions- und Umkehrhomomorphismus i^*i^* die Multiplikation mit $\lambda_{-1}(N^g)$ ist, ist $S^{-1}(i^*)/\lambda_{-1}(N^g)$ die zu $S^{-1}(i^g)$ inverse Abbildung. Der G-Index ist natürlich bzgl. Umkehrhomomorphismen von Inklusionen, so daß man nach lokalisieren den G-Index eines Elementes $U \in K_G(TX)$ über die Fixpunktmenge berechnen kann:

$$S_{g}^{-1}K_{G}(TX^{g}) \xrightarrow{i^{?}} S_{g}^{-1}K_{G}(TX)$$

$$Ind_{G}^{X^{g}} Ind_{G}^{X} (1.1)$$

Da die Elemente von S_g auf g nicht verschwinden, kann man alle Elemente aus $S_g^{-1}R(G)$ auf g auswerten; man setzt $(X/S)(g):=X(g)/S(g)\in\mathbb{C}$ Insgesamt: $\operatorname{Ind}_G^X(U)(g)=\operatorname{Ind}_G^X(i^*U/\lambda_{-1}(N^g))(g)$ (1.2) Die $S_g^{-1}R(G)$ -Modulstruktur auf $S_g^{-1}K_G(TX^g)$ ist besonders übersichtlich: Da G auf TX^g trivial operiert, ist $S_g^{-1}K_G(TX^g)$ isomorph zu $K(TX^g)\otimes S_g^{-1}R(G)$, und man hat das Problem $\operatorname{Ind}_G^X(U)(g)$ zu berechnen auf das Ausrechnen eines "gewöhnlichen" Index und das Auswerten eines Charakters auf g zurückgeführt. Der G-Signatursatz liefert ein Element U in $K_G(TX)$ mit $\operatorname{Ind}_G^X(U)(g)=\operatorname{sign}(g,X)$ und die durch die rechte Seite von (1.2) gegebene Funktion von g ist gerade $g \longmapsto L(g,X)$.

Anders bei einer G-Mannigfaltigkeit Y mit Rand X:

Der Index ist dann nicht auf $K_{G}(TY) = K_{G}(B(TY),S(TY))$ sondern auf $K_{G}(B(TY),B(TY))$ $\partial_{Y} \circ S(TY))$ definiert. Das wird klar, wenn man sich die Index-

funktion als das Auswerten eines Elementes auf dem K_G -Fundamentalzyklus der Mannigfaltigkeit vorstellt, der bei der berandeten Mannigfaltigkeit B(TY) natürlich in K_G (B(TY), ∂ B(TY)) = K_G (B(TY), B(TY), B(TY), B(TY), D(TY)) liegt. Operiert g auf X = ∂ Y frei, so ist Y^g geschlossen und Ind_G: K_G (TY) \longrightarrow R(G) wohldefiniert. Für U \in K_G(TY) kann man dann den folgenden Abbildungsweg gehen:

$$\psi_g \colon {}^{K_{\overline{G}}(TY)} \xrightarrow{\beta} {}^{S_{\overline{G}}^{-1}K_{\overline{G}}(TY)} \xleftarrow{i!} {}^{S_{\overline{G}}^{-1}K_{\overline{G}}(TY^g)} \xrightarrow{Ind} {}^{S_{\overline{G}}^{-1}R(G)}$$

$$(1.3)$$

Da es hier keine Indexfunktion von K_G (TY) nach R(G) gibt, die in $S_g^{-1}R(G)$ das Gleiche wie ψ_g liefert, gilt jetzt kein Ganzzahligkeitssatz für das Ergebnis, d.h. ψ_g (U) braucht nicht unter den durch R(G) in $S_g^{-1}R(G)$ definierten "ganzzahligen" Elementen zu sein, Gerade die Abweichung von der Ganzzahligkeit, d.h. die Restklasse von ψ_g (U) in $S_g^{-1}R(G)/R(G)$ liefert interessante Invarianten des Randes X .

Damit diese Restklassen nur vom Rand abhängen, muß man natürlich voraussetzen, daß die Klasse U für alle Mannigfaltigkeiten, die X als Rand haben, zur Verfügung steht. Solche Elemente sind z.B. die in [A-S4] Symbolklassen genannten, zu einer bestimmten Struktur assoziierten Elemente aus K_G (TY).

Zunächst zu Symbolklassen, die zu einer SO(2n), d.h. Riemannschen Struktur assoziiert sind.

Eine SO(2n)-Struktur auf der orientierten G-Mannigfaltigkeit y^{2n} ist die Angabe eines zu TY assoziierten SO(2n)-Prinzipalbündels P mit verträglicher G-Operation, d.h. $P^{\times}_{SO(2n)}R^{2n}$ ist G-äquivariant orientierungserhaltend isomorph zu TY . Zu R^{2n} mit der Standart SO(2n)-Aktion ist die äquivariante K-Gruppe $K_{SO(2n)}(R^{2n})$ definiert. Ist v aus $K_{SO(2n)}(R^{2n})$ - v heißt dann universelle Symbolklasse – so erhält man über

$$K_{SO(2n)} \stackrel{\mathbb{R}^{2n}}{\longrightarrow} K_{G \times SO(2n)} \stackrel{\mathbb{P}^{r^*}}{\longrightarrow} (1.4)$$

$$K_{G} \stackrel{\mathbb{Q}^{2n}}{\longrightarrow} K_{G} \stackrel{\mathbb{P}^{r^*}}{\longrightarrow} K_{G \times SO(2n)} \stackrel{\mathbb{R}^{2n}}{\longrightarrow} (1.4)$$

Symbolklassen $a_Y(v)$ in $K_G(TY)$. Die Bezeichnung dieser Klassen rührt daher, daß Symbole elliptischer Differentialoperatoren zu diesen Elementen gehören. Zur U(n)-Struktur gehörende Symbolklassen werden durch $K_{U(n)}(\mathbb{C}^n) \cong K_{U(n)}(*) = R(U(n))$ definiert.

Die Atiyah-Singer-v-Invariante zur universellen Symbolklasse v wird nach [A-S4] folgendermaßen definiert:

Zu $h \in G$ betrachtet man die von h erzeugte Untergruppe H mit Inklusion $\phi\colon H \longrightarrow G$. Unter der Abbildungsfolge

$$K_{G}(TY) \xrightarrow{\phi^{*}} K_{H}(TY) \xrightarrow{\rho} S_{h}^{-1} K_{H}(TY) \xrightarrow{\widetilde{\Xi}} S_{h}^{-1} K_{H}(TY^{n}) \xrightarrow{Ind} S_{h}^{-1} R(H) \xrightarrow{\alpha \mapsto \gamma_{c}(\alpha)} \mathbb{C}$$

$$(1.5)$$

erhält man aus $a_Y(v)$ eine komplexe Zahl v(h,Y) und insgesamt eine Funktion $v(-,Y):G-\{1\}\longrightarrow \mathbb{C}$. Ist Y' eine andere orientierte G-Mannigfaltigkeit mit Rand X, so ist $Z=Y\cup_X(-Y^1)$ eine geschlossene G-Mannigfaltigkeit mit Fixpunktmenge $Z^g=Y^g+(-Y^1)^g$. Es folgt $v(g,Z)=v(g,Y)-v(g,Y^1)$ und wegen der Geschlossenheit von Z ist v(g,Z) der Wert eines Charakters. Die Restklasse von v(-,Y) modulo den Werten von Charakteren ist damit nur vom Rand X abhängig. Sie wird mit v(-,X) bezeichnet und heißt v-Invariante zur Symbolklasse v.

Unmittelbar klar ist, daß v(-,X) eine Invariante der freien G-Bordismus-klasse von X ist.

Bemerkung:

Die universelle Symbolklasse 1 des Signaturoperators liefert die Funktion $g \longmapsto L(g,Y)$. In diesem Fall läßt sich das Bilden der Restklasse vermeiden und die Abhängigkeit der Zahl L(g,Y) von der Mannigfaltigkeit Y dadurch beseitigen, daß man von L(g,Y) die äquivariante Signatur abzieht. Wegen der Novikov-Additivität von sign(g,Y), ist sign(g,Y) - L(g,Y) nur von X abhängig und wie man leicht nachrechnet gleich $\alpha(g,X)$ Modulo den Werten von Charakteren wird α - da sign(-,Y) ein Charakter ist - zu $(-1) \cdot L(-,X)$.

Wir können also festhalten, daß die zum Symbol des Signaturoperators gehörende v-Invariante bis auf das Vorzeichen gerade α_{z} ist.

Für $h \in G - \{1\}$ liegt v(h,Y) in der von h abhängenden Gruppe $S_h^{-1}R(H)$. Durch Wahl einer kleineren von h unabhängigen Nennermenge S, läßt sich ein Element $v(G;Y) \in S^{-1}R(G)$ definieren, das bei Einschränkung auf $S_h^{-1}R(H)$ v(h,Y) liefert und damit die Elemente v(h,Y) sinnvoll zusammenfaßt. Dabei muß man allerdings verzichten, den Index von $a_Y(v)$ über die Fixpunktmenge zu berechnen.

Die Methode für ein Problem eine passende Menge von Nennern zu wählen wurde in Arbeiten von tom Dieck und Segal (siehe [tD2] und [P]) eingeführt und in [W] ausführlich dargestellt. Wie man S geeignet wählt, beschreibt der folgende Satz, den wir aus [W] zitieren:

Es sei F eine Familie von Untergruppen von G, die abgeschlossen gegenüber Konjugation und Bildung von Untergruppen ist.

Ein G-Raum heißt F-frei, wenn alle Standgruppen der G-Aktion in F liegen.

Satz 1.6 ([w]) Ist \overline{F} : = $\bigcup_{H \in F} H \subset G$, dann gilt $S^{-1}K_{\overline{G}}(P) = 0$ für alle F-freien G-Räume P genau dann, wenn die folgende Bedingung erfüllt ist. Für jedes $g \in \overline{F}$ gibt es einen Charakter $\overline{S} \in S$ mit $\overline{S}(g) = 0$

Ist F = {1} , dann erhält man freie G-Mannigfaltigkeiten, und eine im gewissen Sinne minimale Nennermenge – zumindest für endliche Gruppen – ist die folgende Menge S_G , die in [P] eingeführt wurde:

$$s_{G} := \{ (reg - |G|)^{k} | k \in \mathbb{N} \}$$

Hierbei ist reg die reguläre Darstellung von G . Die Elemente von S_G verschwinden auf dem Einselement von G, sodaß nach dem obigen Satz $S_G^{-1}K_G(X)=0$ für alle freien G-Räume folgt.

Das Lokalisieren mit S_G bedeutet also nicht eine Einschränkung auf die Fixpunktmenge eines Elementes, sondern auf den ganzen nichtfreien Teil von X. Aus der Definition von S_G folgt $S_G \subset S_G$ für $g \not\equiv 1$. Ist $\varphi \colon H \longrightarrow G$ die

Inklusion einer Untergruppe und G zyklisch, dann gilt $\phi^*S_G = S_H$ und man erhält einen Homomorphismus $\phi^*: S_G^{-1}K_G(X) \longrightarrow S_H^{-1}K_H(X)$.

Das führt zu der schon angedeuteten modifizierten Definition der v-Invarianten. Es sei u = $\alpha_{\mathbf{v}}(\mathbf{v})$ die zu v gehörende Symbolklasse.

In der langen exakten Sequenz des Tripels $(B,\partial B,S)=(B(TY),B(TY)_{\partial Y}\cup S(TY),S(TY))$ kommt ein freier G-Raum vor und daher induziert j: $(B,S)\longrightarrow (B,\partial B)$ nach Lokalisieren mit S_G einen Isomorphismus. Auf $K_G(B,\partial B)$ ist der G-Index erklärt und man definiert durch

$$K_{G}^{(TY)} \xrightarrow{\beta} S_{G}^{-1} K_{G}^{(TY)} \xleftarrow{j^{*}} S_{G}^{-1} K_{G}^{(B(TY),B(TY),B(TY))} \xrightarrow{\partial_{Y} \cup S(TY)} \xrightarrow{J_{ndex}} S_{G}^{-1} R(G)$$
 (1.8)

einen Homomorphismus $\overline{\psi}_{\mathbf{Y}}\colon \mbox{K}_{\overline{G}}(\mbox{TY}) \ \longrightarrow \ \mbox{S}_{\overline{G}}^{-1} \ \mbox{R}(\mbox{G})$.

Die Gleichung $\overline{\psi}_{Y}(U)$ (h) = v(h,Y) folgt sofort aus dem kommutativen Diagramm:

$$K_{H}^{(TY)} \longrightarrow S_{h}^{-1} K_{H}^{(TY)} \stackrel{i^{\frac{1}{2}}}{\cong} S_{h}^{-1} K_{H}^{(TY^{g})} \longrightarrow S_{h}^{-1} R (H)$$

$$K_{G}^{(TY)} \qquad S_{H}^{-1} K_{H}^{(TY)} \qquad S_{h}^{-1} K_{H}^{(B,\partial B)} \qquad S_{H}^{-1} R (H) \longrightarrow \mathbb{C}$$

$$\downarrow^{*} \qquad \downarrow^{*} \qquad \uparrow^{*} \qquad \uparrow$$

Die Restklasse von $\overline{\Psi}_Y(U)$ in $S_G^{-1}R(G)/R(G)$ ist wieder unabhängig von der Auswahl von Y und ergibt nach Auswerten auf $h \in G$ die oben definierte Funktion $h \longleftrightarrow v(h,X)$. Damit können wir die v-Invarianten als Elemente von $S_G^{-1}R(G)/R(G)$ auffassen.

Bemerkungen:

- 1) Die α -Invariante einer freien G-Mannigfaltigkeit M läßt sich ganz analog als Element von $S_G^{-1}R(G)$ interpretieren.
- 2) Durch Anwenden des oben formulierten Prinzips eine geeignete Menge von R(G) als Nenner einzuführen, erhält man auch für F-freie - etwa fixpunktfreie - G-Mannigfaltigkeiten Bordismusinvarianten vom Typ der v-Invarianten.

3) Das Vorhergehende läßt sich auch auf S^1 -Aktionen anwenden:

Man hat nur eine passende multiplikativ abgeschlossene Menge $S \in R(S^1)$ zu wählen.

Ist V^n ein komplexer G-Modul, dann definiert man die Eulerklasse von V durch $\lambda_{-1}(V):=\sum\limits_{i=0}^{n} (-1)^i \Lambda^i(V)$ und setzt (allgemein für eine kompakte zyklische Gruppe, siehe [tD3]):

 $S_{_{\mathbf{C}}} := \left\{ \begin{array}{l} \lambda_{_{-1}} \left(\mathsf{V} \right)^{k} \middle| k \in \mathbb{N}, \mathsf{V} \text{ Darstellung von G ohne triviale Summanden} \right\} (1.10) \\ \mathsf{Da} \quad S_{_{\mathbf{C}}}^{-1} \mathsf{K}_{_{\mathbf{G}}} \left(- \right) \quad \text{für fixpunktfreie G-Mannigfaltigkeiten verschwindet, hat man v-Invarianten in } S_{_{\mathbf{C}}}^{-1} \mathsf{R} \left(\mathsf{G} \right) / \mathsf{R} \left(\mathsf{G} \right) \quad \mathsf{Eine Formel} \left(\mathsf{für G} = \mathsf{S}^1 \right) \quad \mathsf{für die durch} \\ \mathsf{v} = 1 \quad \mathrm{definierte} \,\, \mathsf{v-Invariante} \quad \mathsf{L} \left(\mathsf{t}, \mathsf{M} \right) \quad \mathsf{findet sich in} \left[\mathsf{A-S4} \right] \quad \mathsf{Analog zum} \\ \mathsf{Fall einer endlichen Gruppe ist dann die } \forall \mathsf{-Invariante einer fixpunktfreien} \\ \mathsf{S}^1 \mathsf{-Aktion} - \mathsf{die ""aquivariant berandet} - \mathsf{durch} \left(\mathsf{O.11} \right) \quad \mathsf{definiert. Für eine einergehende Diskussion von fixpunktfreien $\mathbf{S}^1 \mathsf{-Aktionen siehe} \left[\mathsf{O} \right] \quad \mathsf{Die zur} \\ \mathsf{\alpha-Invarianten einer fixpunktfreien } \mathbf{S}^1 \mathsf{-Aktion gehörende v-Invariante in} \\ \mathsf{S}^{-1} \mathsf{R} \left(\mathsf{G} \right) / \mathsf{R} \left(\mathsf{G} \right) \,\, \mathsf{werde} \,\,\, \mathsf{ebenfalls mit} \,\,\, \alpha_{_{\mathbf{Z}}} \,\,\, \mathsf{bezeichnen. Sie unterscheidet sich} \\ \mathsf{von} \,\,\, \alpha \,\,\, \mathsf{i.a. um eine ganzzahlige Konstante.} \end{array}$

4) S_c ist nur für zyklische Gruppen sinnvoll, denn für nicht zyklisches G ist bekannt, daß $S_c^{-1}K_G^-(X)$ für alle G-Räume X verschwindet. Ist G zyklisch, aber nicht unbedingt endlich, so läßt sich S_c^- noch etwas verkleinern; man erhält Invarianten für freie G-Mannigfaltigkeiten:

$$S_a := \{ \lambda_{-1}(V)^k | k \in \mathbb{N}, G \text{ operiort frei auf der Einheitssphäre } S(V) \text{ des } komplexen G Moduls V \}$$
 (1.11)

Den Orbitraum einer solchen freien Aktion auf der Einheitssphäre S(V) nennt man - für endliches G - einen Linsenraum L(V) .

Auf die Beziehungen zwischen den verschiedenen Lokalisierungen soll später eingegangen werden.

Für eine endliche abelsche Gruppe G lassen sich $S_G^{-1}R(G)$ und $S_G^{-1}R(G)/R(G)$ recht einfach überblicken. Ist reg wieder die reguläre Darstellung, so bezeichnen

wir R(G)/(reg) mit $\overline{R(G)}$

$$\underline{\text{Lemma 1.12}} \qquad S_{G}^{-1}R(G) \cong \overline{R(G)} \otimes_{Z} Z[1/|G|]$$

Beweis: Der Kern der kanonischen Abbildung $\rho: R(G) \longrightarrow S_G^{-1}R(G)$ besteht aus den Vielfachen der regulären Darstellung, so daß man einen Monomorphismus $\bar{\rho}: \overline{R(G)} \longrightarrow S_G^{-1}R(G)$ erhält. Da (reg-|G|) unter ρ auf -|G| abgebildet wird, ist |G| in $S_G^{-1}R(G)$ invertierbar und $\bar{\rho}$ läßt sich kanonisch zu einem Homomorphismus $\bar{\rho}: \overline{R(G)} \otimes Z[1/|G|] \longrightarrow S_G^{-1}R(G)$ erweitern. Z[1/|G|] bezeichnet die Lokalisierung von Z bei den Primzahlen, die |G| nicht teilen. Aus der universellen Eigenschaft der Lokalisation folgt, daß die kanonische Abbildung $R(G) \longrightarrow \overline{R(G)} \otimes Z[1/|G|]$ über $S_G^{-1}R(G)$ faktorisiert und ein Inverses zu $\bar{\rho}$ liefert.

Als unmittelbare Folgerung erhält man

$$S_{G}^{-1}R(G)/R(G) \cong \frac{\overline{R(G)} \otimes Z[1/|G|]}{\overline{R(G)}} \cong \overline{R(G)} \otimes \frac{Z[1/|G|]}{Z}$$
(1.13)

Die irreduziblen Darstellungen $S_1,\dots,S_{|G|-1}$ bilden eine Basis des freien Z-Moduls $\overline{R(G)}$, so daß man den Elementen in $S_G^{-1}R(G)$ und $S_G^{-1}R(G)/R(G)$ auf sinnvolle Weise ihre Koeffizienten vor S_j zuordnen kann. Für die Invarianten α und α_Z wurden diese Koeffizienten in \S O als getwistete Signaturdefekte interpretiert. In Analogie dazu nennen wir bei anderen v-Invarianten diese Koeffizienten in \mathbb{Q}/\mathbb{Z} v-Defekte γ_v^i . Für den "ungetwisteten" Defekt γ_v , der der Summe der γ_v^i entspricht, läßt sich die Definition, die in [A-S-5] für den Signaturdefekt mod Z durch Integrale in den Pontrjaginformen gegeben wurde, direkt übertragen.

Als nächstes beschäftigen wir uns mit dem Definitionsbereich der v-Invarianten. Für Paare F,F $^{'}$ von Familien von Untergruppen von G wird in [C-F2] eine Bordismusgruppe $\mathcal{O}_{n}(G;F,F^{'})$ von $(F,F^{'})$ freien G-Mannigfaltigkeit definiert.

Auf den hier vorliegenden Fall spezialisiert erhält man die Gruppe $\mathcal{O}_n(G)$ aller geschlossenen orientierten G-Mannigfaltigkeiten (ohne Einschränkung an die Standgruppen der G-Aktion), die Gruppe $\mathcal{O}_n(G;F,\{1\})$ der orientierten G-Mannigfaltigkeit mit Rand, wo G frei auf dem Rand operiert (F = Familie aller Untergruppen von G) und die Gruppe $\mathcal{O}_n(G;\{1\}) = \Omega_n(G) \cong \Omega_n(BG)$ der freien G-Mannigfaltigkeiten. Dazu gibt es eine lange exakte Sequenz

$$\longrightarrow \mathcal{O}_{\mathbf{n}}(G;\{1\}) \xrightarrow{\mathbf{j}_{*}} \mathcal{O}_{\mathbf{n}}(G) \xrightarrow{\mathbf{i}_{*}} \mathcal{O}_{\mathbf{n}}(G;F,\{1\}) \xrightarrow{\partial} \mathcal{O}_{\mathbf{n}-1}(G;\{1\}) \longrightarrow (1.14)$$

wobei i_* und j_* die Vergiß-Abbildungen sind und ϑ durch Einschränken auf den Rand gegeben ist.

In [R] wird Kern und Bild des Homomorphismus j_* für endliche abelsche Gruppen berechnet:

Allgemein gilt, daß j_* auf der reduzierten Bordismusgruppe $\widetilde{\Omega}$ (BG) verschwindet. Hat G ungerade Ordnung, so ist j_* auf den Koeffizienten Ω_* injektiv, so daß der Definitionsbereich der v-Invarianten genau aus $\widetilde{\Omega}$ (BG) besteht. Hat G gerade Ordnung, so liegt im Kern von j_* auch die 2-Torsion von Ω_* . Wir werden später sehen, daß auf diesen Elementen die α -Invariante – so fern definiert – ganzzahlig ist und α_* damit verschwindet.

Ist G eine endliche zyklische Gruppe, so lassen sich diese Aussagen auch leicht direkt, etwa mit Methoden aus [C-F1] und der Gysinsequenz des Bündels ${\tt H}^n \ \longrightarrow \ {\tt BZ}_n \ \longrightarrow \ {\tt BS}^1 \ \ {\tt für} \ \ \Omega_{\star} \ {\tt beweisen}.$

Im zyklischen Fall besteht G aus Primkomponenten Z_{p^i} und da $\widetilde{\Omega}(BG)$ in $\bigoplus_{p \neq i \in I} \widetilde{\Omega}(BZ_{p^i})$ zerfällt (es sei $BG = \prod_{p} BZ_{p^i}$; aus der Bordismusspektralsequenz folgt, daß $\widetilde{\Omega}(BZ_{p^i} \wedge BZ_{q^i}) = 0$ für (p,q) = 1, da schon der E_2 -Term verschwindet; mit der langen exakten Sequenz zu $BZ_{p^i} \vee BZ_{q^i} \longrightarrow BZ_{p^i} \times Z_{q^i} \longrightarrow BZ_{p^i} \wedge BZ_{q^i}$ und Induktion folgt dann diese Behauptung), hat man einen vollständigen Überblick über $\widetilde{\Omega}(BG)$:

Für p ungerade wird $\widetilde{\Omega}_*(BZ_{p^i})$ als Ω_* -Modul durch die in § O definierten Z_{p^i} -Operationen auf den Sphären S^{2n-1} erzeugt. $\widetilde{\Omega}_{2n}(BZ_{p^i})$ verschwindet[C-F1].

 $\Omega_*(\mathrm{BZ}_2)$ wurde von Burdick $[\mathrm{B}]$, und $\Omega_*(\mathrm{BZ}_{2^k})$ von Katsube $[\mathrm{Kat}]$ untersucht. Da $\mathrm{H}_*(\mathrm{BZ}_{2^k})$ keine ungerade Torsion hat, folgt aus Satz 15.2 in $[\mathrm{C-F},1]$ sofort $\Omega_{\mathbf{r}}(\mathrm{BZ}_{2^k}) \stackrel{\cong}{=} \sum_{\mathbf{p}+\mathbf{q}=\mathbf{r}} \mathrm{H}_{\mathbf{p}}(\mathrm{BZ}_{2^k},\Omega_{\mathbf{q}})$, so daß ein Element in $\widetilde{\Omega}_*(\mathrm{BZ}_{2^k})$ höchstens die Ordnung 2^k haben kann - im Gegensatz zu $\widetilde{\Omega}_*(\mathrm{BG})$ mit $|\mathrm{G}|$ ungerade wo die Ordnung mit wachsender Dimension zunimmt. Ebensowenig verschwindet $\widetilde{\Omega}_{2\mathbf{n}}(\mathrm{BZ}_{2^k})$; außer dem von den freien Z_{2^k} -Aktionen auf den Sphären erzeugten Ω_* -Untermodul enthält $\widetilde{\Omega}_{2\mathbf{n}-1}^{(\mathrm{BZ}_{2^k})}$ noch einen Untermodul H_{K} von Elementen der Ordnung 2. Die Elemente aus H_{K} liegen alle im Bild der Inklusion $\widetilde{\Omega}_{2\mathbf{n}-1}^{(\mathrm{BZ}_2)} \longrightarrow \widetilde{\Omega}_{2\mathbf{n}-1}^{(\mathrm{BZ}_{2^k})}$.

Bemerkungen:

- Für freie G-Operationen auf stabil-fastkomplexen Mannigfaltigkeiten hat man ganz analoge Aussagen - nur fällt hier die Sonderrolle der Gruppen gerader Ordnung völlig weg.
- 2) Eine freie S^1 -Mannigfaltigkeit M berandet natürlich immer; das zur S^1 -Prinzipalfaserung M \rightarrow M/S 1 assoziierte Scheibenbündel liefert eine berandende S^1 -Mannigfaltigkeit.

Für fixpunktfreie S^1 -Aktionen siehe [O] .

Wir fassen zusammen:

Die v-Invarianten definieren einen Homomorphismus

$$\beta_1: \widehat{\Omega}_{2n-1}(BG) \otimes K_{SO(2n)}(\mathbb{R}^{2n}) \longrightarrow S_G^{-1}R(G)/R(G)$$
 (1.15)

Für eine zyklische Gruppe ungerader Ordnung spaltet die lange exakte Sequenz (1.14) auf. Man erhält zu $\mathbf{v} \in K_{SO(2n)}$ (\mathbb{R}^{2n}) ein Diagramm, dessen Kommutativität sofort aus den Definitionen folgt, und das die v-Invarianten zu anderen,ebenfalls durch den Index definierten G-Bordismusinvarianten in Beziehung setzt:

§ 2 K-Theorie charakteristische Zahlen für freie G-Mannigfaltigkeiten

Für orientierte G-Mannigfaltigkeiten definieren wir mittels universeller Symbolklassen verallgemeinerte charakteristische Zahlen.

Die bekannte Definition, mit der man einer Mannigfaltigkeit charakteristische Zahlen zuordnet, läßt sich leicht auf singuläre Mannigfaltigkeiten (M,f) in einem topologischen Raum X erweitern:

Ist c eine charakteristische Klasse von M und [M] ein Fundamentalzyklus von M, dann ist die Homologieklasse f_* (c \cap [M]) von X nur von der Bordismusklasse der singulären Mannigfaltigkeit (M,f) abhängig und geht für X = \times in eine gewöhnliche charakteristische Zahl über.

In § O wurde deutlich, daß charakteristische Zahlen, die mit der Homologietheorie H(-;R) gebildet werden, nicht ausreichen, um die Elemente von $\widehat{\Omega}_*(BG)$ in allen Dimensionen zu beschreiben. Für den komplexen Bordismus ist bekannt, daß K-Theorie charakteristische Zahlen die Elemente aus $\Omega_*^U(BG)$ bestimmen, solange die Gruppe G periodische Kohomologie hat.

Wir greifen deshalb auch auf K-Theorie charakteristische Zahlen zurück. Die Homologietheorie zur komplexen K-Theorie K_{\star} wird mittels des Spektrums $\{ \ Z \times BU, U \ \}$ definiert; eine ausführliche Definition findet man in [Ha]. Orientierbarkeit für die K-Theorie ist äquivalent mit dem Verschwinden der dritten Stiefel-Whitneyklasse, so daß eine SO-orientierte Mannigfaltigkeit M i.A. nicht für die K-Theorie orientierbar ist. Die obige Definition ist also nicht direkt anwendbar.

Das Ballbündel B(TM) des Tangentialbündels einer Mannigfaltigkeit M hat eine kanonische fast-komplexe Struktur und ist daher K-orientierbar.

Man wählt eine Einbettung von M^n in \mathbb{R}^{n+m} , $m \geqslant n$ und erhält eine Einbettung des Tangentialbündels $TM \to TR^{n+m}$ mit Normalenbündel TN. TN ist isomorph zur gelifteten Whitneysumme $\pi^*(N \oplus N)$ des Normalenbündels von M in \mathbb{R}^{n+m}

mit sich selbst. Wie in [A-S4] wird verabredet, daß der zweite Summand dem Tangentialbündel entlang der Fasern von N entsprechen soll. Damit ist die Identifikation $TN \cong \pi^* (N \circledast N) = \pi^* N \oplus i \cdot \pi^* N \cong \pi^* (N \circledast_R^{\mathbb{C}})$ eindeutig festgelegt. Die K-Theorie Thomklasse eines komplexen Vektorbündels E - wie sie etwa in [A1] definiert ist - soll im folgenden mit $U_T(E)$ oder einfach U_T bezeichnet werden. Will man die für die singuläre Kohomologietheorie bekannten Beziehungen zwischen Umkehrhomomorphismus, Thomisomorphismus und Fundamentalklassen erhalten, so wird man im Falle einer allgemeinen Kohomologietheorie zur folgenden Fundamentalklassendefinition geführt: Zu einer Einbettung $M^N \xrightarrow{i} S^{N+m}$ mit Normalenbündel N - orientierbar für die Theorie - hat man eine kanonische Abbildung $j:S^{N+m} \to B(N)/S(N)$ und mit dem Thomisomorphismus des Bündels N das Diagramm

$$\widetilde{K}_{n+m}(S^{n+m}) \xrightarrow{j_*} K_{n+m}(B(N), S(N))$$

$$\downarrow \wedge U_T(N)$$

$$\downarrow K_n(M)$$
(2.1)

Als Fundamentalklasse der Sphäre wählt man das Element $[S^{n+m}]_T$ das unter dem Suspensionsisomorphismus auf $1 \in \widetilde{K}_O(S^O)$ abgebildet wird (Suspensionsisomorphismus passend zur Thomklasse!)

Definition (2.2):
$$[M]_T$$
: = $j_*[s^{n+m}]_T \cap U_T(N)$

Diese Fundamentalklasse hat die von ihr erwarteten Eigenschaften, sie liefert insbesondere ein Poincaréisomorphismus $^{\sim}[M]_T\colon K^*(M)\longrightarrow K_*(M)$. Die Übertragung auf Mannigfaltigkeiten mit Rand liegt auf der Hand. Beim relativen Poincaréisomorphismus

$$K^*(TM) = K^*(B(TM),S(TM)) \xrightarrow{[B,S]_{\land}} K_*(B(TM)) \xrightarrow{pr_*} K_*(M)$$
 (2.3)

werden wir oft in der Notation den Homomorphismus pr_* unterdrücken. Aus der Definition des topologischen Index in [A-S3] folgt sofort, daß für $U \in K^O$ (TM) der Homomorphismus $U \longmapsto Ind_M(U)$ durch $U \mapsto \pi_*(U \cap [BTM,STM]_T)$ gegeben wird. π ist hier die Projektion $M \to *$; deshalb kann man nach Definition

des Kroneckerproduktes den Index von U auch durch < U, [BTM,STM] $_{\rm T}$ $>_{\rm K}$ beschreiben.

Anstelle von charakteristischen Klassen, die sich wegen des Fehlens eines Thomisomorphismus des Bündels TM i.A. nicht von $K^*(M)$ nach $K^*(TM)$ anheben lassen, benutzen wir Symbolklassen.

Da unter den Symbolklassen auch eine Eulerklasse vorkommt, sind nicht alle Symbolklassen "stabil". Stabile Klassen erhält man, wenn man sich für gerades n auf universelle Symbolklassen beschränkt, die im Bild der Einschränkung $K_{SO\,(n+2)}(\mathbb{R}^{n+2}) \longrightarrow K_{SO\,(n)} \left(\mathbb{R}^{n} \oplus \mathbb{R}^{2}\right) \cong K_{SO\,(n)} \left(\mathbb{R}^{n}\right) \ \ \text{liegen, und für ungerades n auf Klassen in } K^{O}\,(\text{TM} \oplus \mathbb{R}) = K^{1}\,(\text{TM}), \ \text{die durch Elemente aus } K_{SO\,(n+1)} \left(\mathbb{R}^{n+1}\right) \ \text{definiert sind.}$

Lemma 2.4 Die mit den oben ausgewählten Symbolklassen gebildeten K-Homologieklassen

$$f_*(a_M(v) \land [TM]) \in K_0(X)$$
 $(n \equiv O(2))$
 $f(a_M(v) \land [TM \oplus R]) \in K_1(X)$ $(n \equiv 1(2))$

sind Bordimusinvarianten der singulären Mannigfaltigkeit (M,f) aus $\Omega_{\rm n}({\rm X})$.

Beweis: Es sei $(M,f) \in \Omega_{2n-1}(X)$ nullbordant mit Nullbordismus (W,F) Aus dem kommutativen Diagramm

mit den Abkürzungen B:= B(TW) , S:= S(TW) , \bar{B} := B(TW) $_{\partial W}$ = B(TM $\oplus R$) , \bar{B} $_{\cup}$ S = $_{\partial}$ B S:= S(TW) $_{\partial W}$ folgt, daß pr $_{*}$ (a $_{W}$ (v) $_{\cap}$ [BTW, $_{\partial}$ BTW]) unter dem Randoperator $_{\partial}$ auf pr $_{*}$ (a $_{M}$ (v) $_{\cap}$ [B(TM $\oplus R$),S(TM $\oplus R$)]) $_{\in}$ K $_{1}$ ($_{\partial}$ W) abgebildet wird. Ist i die

Inklusion des Randes, dann ist wegen $F \circ i = f$ und $i \mathring{*} \partial = O$ $f_* (a_M(v) \cap \big[B(TM \oplus \mathbb{R}), S(TM \oplus \mathbb{R}) \big]) \text{ die Nullklasse. Der Beweis für gerades n verläuft ähnlich.}$

Damit haben wir einen Homomorphismus

$$\beta_{2} : \widetilde{\Omega}_{2n-1}(BG) \otimes K_{SO(2n)}(\mathbb{R}^{2n}) \longrightarrow K_{1}(BG)$$

$$(M,f) \otimes V \longmapsto f_{*}(a_{M}(V) \wedge [TM \oplus \mathbb{R}]_{T})$$

$$(2.5)$$

definiert.

Bei der jetzt folgenden Berechnung von $K_{SO(n)}(\mathbb{R}^n)$ wird die fundamentale Rolle der Symbolklasse 1 deutlich werden. Zu $K_{SO(2n)}^*(\mathbb{R}^{2n}) = K_{SO(2n)}^*(\mathbb{D}^{2n}, \mathbb{S}^{2n-1})$ gibt es eine lange exakte Sequenz

$$\rightarrow \quad \mathsf{K}^{\mathsf{o}}_{\mathsf{SO}(2n)} \; (\mathbb{R}^{2n}) \quad \longrightarrow \quad \mathsf{K}^{\mathsf{o}}_{\mathsf{SO}(2n)} \; (\mathbb{D}^{2n}) \quad \longrightarrow \quad \mathsf{K}^{\mathsf{o}}_{\mathsf{SO}(2n)} \; (\mathbb{S}^{2n-1}) \; \longrightarrow \qquad \qquad (2.6)$$

Es gilt natürlich $K_{SO(2n)}^{O}(D^{2n}) = R(SO(2n))$.

Die SO(2n)-Operation auf S²ⁿ⁻¹ ist mit der Identifizierung $SO(2n)/SO(2n-1) \longrightarrow S^{2n-1} \quad \text{verträglich und da man allgemein für eine Untergruppe} \quad \text{H }^{\text{G}} \quad \text{K}_{G}^{\text{G}}(\text{G/H}) \quad \text{mit} \quad \text{R}(\text{H}) \quad \text{identifizieren kann, folgt} \\ \text{K}_{SO(2n)}^{\times} \left(\text{S}^{2n-1} \right) = \text{R}\left(\text{SO}(2n-1) \right) \quad \text{Daher ist} \quad \text{K}_{SO(2n)}^{1} \left(\text{S}^{2n-1} \right) = 0 \quad \text{und} \quad (2.6) \\ \text{wird zu einer kurzen exakten Sequenz}$

$$0 \longrightarrow K_{SO(2n)} (\mathbb{R}^{2n}) \xrightarrow{j^*} RSO(2n) \xrightarrow{i} RSO(2n-1) \longrightarrow 0 \qquad (2.7)$$

Die Isomorphie $K_G^-(G/H)\cong K_H^-(*)$ wird durch Einschränken eines G-Vektorbündels $E\xrightarrow{\pi}G/H$ auf das H-Vektorbündel $\pi^{-1}(H/H)\longrightarrow H/H$ definiert. Es ist dann unmittelbar klar, daß der Homomorphismus i in (2.7) durch die Inklusion $SO(2n-1)\subset SO(2n)$ induziert wird. Die Bestimmung des Kernes von i ist jetzt mehr oder weniger elementare Darstellungstheorie und findet sich sogar in der Literatur(siehe [c])

Die äußeren Potenzen der Standartdarstellung ρ_n von SO(n) auf \mathbb{R}^n definieren nach Tensorieren mit \mathbb{C} Elemente $\lambda_1 \ldots \lambda_n$ in RSO(n). Für i < n/2 ist

 $\begin{array}{lll} \lambda_{\stackrel{.}{i}} \cong \lambda_{n-i} & \text{und für gerades} & n & \text{spaltet } \lambda_{\frac{n}{2}} \text{ auf in zwei Darstellungen} \\ \lambda_{\frac{n}{2}}^+, \lambda_{\frac{n}{2}}^- & . & \text{Dann gilt ([Ad1]) :} \end{array}$

 $\text{RSO}(2n+1) = \mathbf{Z} \begin{bmatrix} \lambda_1, \dots, \lambda_n \end{bmatrix} \quad \text{und} \quad \text{RSO}(2n) \quad \text{ist ein freier} \quad \text{RSO}(2n+1) - \text{Modul,}$ der von 1 und λ_n^+ erzeugt wird.

Das Element $\mu:=\sum_{i=0}^{n-1} (-1)^i \lambda_i + (-1)^n \lambda_n^+ \in RSO(2n)$, das in [A-H2] zum Studium von Einbettungsfragen herangezogen wurde, läßt sich – wie man leicht sieht – zusammen mit 1 ebenfalls als Basis des RSO(2n+1) – Moduls RSO(2n) verwenden. Der Vorteil von μ besteht darin, im Kern von i zu liegen, so daß man zur Beschreibung von Kern i nur noch den Kern von i auf RSO(2n+1) kennen muß. Ein anderes Element in Kern i ist die Eulerklasse $e=\sum_{i=0}^{2n} (-1)^i \lambda_i$. Für die Beziehungen zwischen e,μ und der Symbolklasse l_n gilt:

Lemma (2.8)
$$2\mu = e + 1$$

Beweis: Zuerst sei an die Definition von l_n erinnert:

Über das kanonische innere Produkt und die Orientierung von \mathbb{R}^{2n} definiert man den * Operator $*: \Lambda^k(\mathbb{R}^{2n}) \to \Lambda^{2n-k}(\mathbb{R}^{2n})$. Nach Tensorieren mit \mathbb{C} spaltet $\Lambda^*(\mathbb{R}^{2n}) \otimes \mathbb{C}$ in die ! Eigenräume $\Lambda_+(\mathbb{R}^{2n}), \Lambda_-(\mathbb{R}^{2n})$ des Operators $i^k(k-1)+n \times \mathbb{C}$ und zwar SO(2n) - äquivariant auf $: \Lambda^*(\mathbb{R}^{2n}) \otimes \mathbb{C} = \Lambda_+(\mathbb{R}^{2n}) \oplus \Lambda_-(\mathbb{R}^{2n})$. Die $\Lambda_\pm(\mathbb{R}^{2n})$ sind komplexe SO(2n) - Moduln. Ist $\pi: \mathbb{R}^{2n} \to \mathbb{C}$ die Projektion, dann hat man über \mathbb{D}^{2n} die Vektorbündelsequenz

$$\pi^* (\Lambda_+ (\mathbb{R}^{2n})) \xrightarrow{\alpha} \pi^* (\Lambda_- (\mathbb{R}^{2n}))$$

mit $\alpha(\mathbf{v},\mathbf{w}) = \mathbf{v}_{\wedge}\mathbf{w} - \mathbf{v}_{\vee}\mathbf{w}$, wo \wedge das äußere und \mathbf{v} das adjungierte innere Produkt ist.

Die Sequenz ist über der Sphäre $s^{2n-1}c$ D^{2n} exakt und definiert durch die Differenzkonstruktion das Element $1 \in K_{SO(2n)}(\mathbb{R}^{2n})$.

Aus den Eigenschaften der Differenzkonstruktion folgt dann, daß l_n unter $j^*: K_{SO(2n)} \stackrel{(\mathbb{R}^{2n})}{\longrightarrow} RSO(2n)$ auf $\Lambda_+ \stackrel{(\mathbb{R}^{2n})}{\longrightarrow} -\Lambda_- \stackrel{(\mathbb{R}^{2n})}{\longrightarrow} abgebildet wird. Wir müssen dieses Element mit der Differenz <math>\lambda_n^+ - \lambda_n^-$, die man durch Aufspalten von $\lambda_n \stackrel{(\mathbb{R}^{2n})}{\longrightarrow} erhält$, vergleichen. Dazu faßt man RSO(2n) als Unterring

$$2\mu = \sum_{i=0}^{2n} (-1)^{i} \lambda_{i} - (-1)^{n} \lambda_{n} + 2 \cdot (-1)^{n} \lambda_{n}^{+} = e + (-1)^{n} (\lambda_{n}^{+} - \lambda_{n}^{-}) = e + 1_{n}$$

Bemerkung:

Die Symbolklasse $a_M^{}(e)$ hat auf einer gerade dimensionalen geschlossenen Mannigfaltigkeit M als Index gerade die Eulerzahl von M $(a_M^{}(e)$ ist das Symbol des Differentialoperators d auf dem de-Rahm-Komplex , siehe [Pa]). Die Beziehung $2\mu = e + 1_n$ kann daher als eine Ursache für die bekannte und leicht direkt nachzuweisende Kongruenz zwischen Eulerzahl und Signatur $e(M) \equiv sign(M)$ mod 2 angesehen werden.

Um den Kern von i auf RSO(2n+1) zu berechnen, führen wir einen Basiswechsel durch. Es seien $\sigma_1, \dots, \sigma_n$ die elementarsymmetrischen Funktionen in n Variablen. Setzt man $p\tilde{k}_i := \sigma_i (x_1 + x_1^{-1} - 2, \dots, x_n + x_n^{-1} - 2)$ in $R(T^n)$, dann liegen die $p\tilde{k}_i$ schon in RSO(2n+1) $\subset R(T^n)$ und mit einem einfachen Basiswechselargument (siehe [Hu], Cap 13, 5.4) folgt RSO(2n+1) $= \mathbb{Z}\left[\tilde{pk}_1, \dots, \tilde{pk}_n\right]$. Bei Einschränkung auf RSO(2n-1) geht natürlich \tilde{pk}_i auf \tilde{pk}_i und \tilde{pk}_n auf 0. Da e als Bild in $R(T^n)$ gerade $\mathbb{F}(2-(x_1+x_1^{-1}))$ hat, folgt $e=(-1)^n \tilde{pk}_n$ und der Kern von i auf RSO(2n+1) wird von e erzeugt.

Zusammengefaßt:

$$K_{SO(2n)}(\mathbb{R}^{2n}) \cong RSO(2n+1) \cdot e + RSO(2n+1)\mu_n \subset RSO(2n)$$
 (2.9)

 $K_{SO(2n-1)}^{1}$ (\mathbb{R}^{2n-1}) ist leichter zu bestimmen:

Wie oben erhält man aus der langen exakten Sequenz des Paares (D^{2n-1},S^{2n-2}) die exakte Folge:

$$0 \longrightarrow RSO(2n-1) \longrightarrow RSO(2n-2) \longrightarrow K^{1}_{SO(2n-1)}(\mathbb{R}^{2n-1}) \longrightarrow 0$$
 (2.10)

und damit

$$K_{SO(2n-1)}^{1} (\mathbb{R}^{2n-1}) \stackrel{\sim}{=} RSO(2n-1) \mu_{n-1} \subset RSO(2n-2)$$
 (2.11)

Bemerkung:

Für fast-komplexe universelle Symbolklassen gilt wegen der Existenz des Thomisomorphismus $K_{U(n)}(\mathbb{C}^n)\cong R(U(n))$.

Eulerklassen verschwinden auf ungeradedimensionalen Mannigfaltigkeiten, deshalb erwartet man, daß dies auch für e gilt.

Lemma 2.12
$$a_{M}(e) = 0 \text{ in } K^{O}(TM^{2n-1} \oplus \mathbb{R})$$

Beweis: Zunächst ist es klar, daß a_{M} sich über $K_{SO(2n-1)}^{1}$ (\mathbb{R}^{2n-1}) faktorisieren läßt:

$$K_{SO(2n)}(\mathbb{R}^{2n}) \longrightarrow K(TM \oplus \mathbb{R})$$

$$\downarrow^{i^{*}} K_{SO(2n-1)}(\mathbb{R}^{2n-1} \oplus \mathbb{R}) \qquad \downarrow^{\mathbb{R}}$$

$$K_{SO(2n-1)}^{1}(\mathbb{R}^{2n-1}) \longrightarrow K^{1}(TM)$$

Es genügt i^{*}(e) = O nachzuweisen.

Die Konjugation mit einem Element An der Determinante -1 aus O(2n) definiert einen Automorphismus θ_n von SO(2n) . Man kann An so wählen, daß man ein kommutatives Diagramm $SO(2n) \xrightarrow{\quad \theta n \quad} SO(2n)$

$$\begin{array}{c}
\downarrow \\
SO(2n-2) \xrightarrow{\theta n-1} SO(2n-2)
\end{array}$$

erhält.

(Etwa $A_n: \mathbb{R}^n \longrightarrow \mathbb{R}^n$ mit $A_n(e_1) = -e_1$, $A_n(e_1) = e_1$ i > 1)

Faßt man RSO(2n) als Unterring von $R(T^n) = Z[x_1, x^{-1}, \dots, x_n, x_n^{-1}]$ auf, so folgt sofort, daß θ_n durch Vertauschen von x_1 und x_1^{-1} auf RSO(2n) operiert (siehe [Ad1]).

Daher ist e (und ganz RSO(2n ± 1)) invariant unter θ_n^* während μ_{n-1} unter θ_{n-1}^* auf $-\mu_{n-1}$ abgebildet wird. Aus (2.11) folgt, daß in $\kappa^1_{SO(2n-1)}(\mathbb{R}^{2n-1})$ kein von O verschiedenes Element unter θ_n fest bleibt. Das Bild von e unter dem mit θ_n vertauschbaren Homomorphismus i: $\kappa_{SO(2n)}(\mathbb{R}^{2n}) \longrightarrow \kappa^1_{SO(2n-1)}(\mathbb{R}^{2n-1})$ ist daher das Nullelement.

Als Hauptergebnis können wir festhalten, daß nur universelle Symbolklassen aus $K_{SO(2n)}^{(2n)}$ der Form $\tilde{p}\cdot \mu_n$, wo \tilde{p} ein Polynom in den Elementen $\lambda_1,\ldots,\lambda_n$ ist, auf ungerade dimensionalen Mannigfaltigkeiten überhaupt von O verschiedene charakteristische Zahlen liefern können.

Hat G ungerade Ordnung, können wir μ_n durch 1 ersetzen, denn $2\mu_n \equiv 1$ mod e Ist P das zu TM \oplus R assoziierte SO(2n)-Prinzipalbündel, dann definiert man zu einer Darstellung $\phi \in \text{RSO}(2n)$ ϕ (TM) \in K $^{\text{O}}$ (M) durch P \times SO(2n) ϕ $\phi \longmapsto \phi$ (TM) definiert gerade den bekannten, zu jedem SO(2n)-Prinzipalbündel definierten kanonischen Homomorphismus von λ -Ringen RSO(2n) \to K $^{\text{O}}$ (M). Kennt man die Symbolklasse $a_{\text{M}}(\mu_n)$ oder $a_{\text{M}}(1_n)$ in K $^{\text{I}}$ (TM), dann erhält man alle anderen auf eine einfache Weise:

$$\underline{\text{Lemma 2.12}} \qquad \qquad \underline{\mathbf{a}_{\mathbf{M}}(\hat{\mathbf{p}} \cdot \boldsymbol{\mu}_{\mathbf{n}}) = \tilde{\mathbf{p}}(\mathbf{TM}) \cdot \underline{\mathbf{a}_{\mathbf{M}}(\boldsymbol{\mu}_{\mathbf{n}})}$$

Beweis: Ein Beweis folgt sofort aus der Kommutativität des Diagramms:

$$K_{SO(2n)} (\mathbb{R}^{2n}) \otimes K_{SO(2n)} (*) \longrightarrow K_{SO(2n)} (\mathbb{R}^{2n})$$

$$\downarrow^{pr^{*}} \qquad \qquad \downarrow^{pr^{*}} \qquad \qquad \downarrow^{pr^{*}}$$

$$K_{SO(2n)} (P \times \mathbb{R}^{2n}) \otimes K_{SO(2n)} (P) \longrightarrow K_{SO(2n)} (P \times \mathbb{R}^{2n})$$

$$\downarrow^{\mathbb{R}} \qquad \qquad \downarrow^{\mathbb{R}}$$

$$\downarrow^{\mathbb{R}} \qquad \qquad \downarrow^{\mathbb{R}}$$

$$\downarrow^{\mathbb{R}} \qquad \qquad \downarrow^{\mathbb{R}}$$

$$K(P \times_{SO(2n)} \mathbb{R}^{2n}) \otimes K(P/SO(2n)) \xrightarrow{\cup} K(P \times_{SO(2n)} \mathbb{R}^{2n})$$

Da die Isomorphie $K_{SO(2n)}(X)\cong K(X/SO(2n))$ von der Projektion $q\colon X\longrightarrow X/SO(2n)$ induziert wird, ist diese mit Tensorprodukten verträglich. Die Symbolklasse $a_M^{}(1_n)$ hat gegenüber der Klasse $a_M^{}(\mu)$ einen gewissen Vorzug: Sie ist multiplikativ.

 $a_M^{}(1_n^{})$ läßt sich – ebenso wie das für $1_n^{}$ schon ausgeführt wurde – durch Aufspalten von Λ^* (TM \oplus \mathbb{R}) \otimes \mathbb{C} (bzw. Λ^* (TM) für dim $M \equiv O(2)$) mittels Differenzkonstruktion definieren. Wir fassen die wichtigsten Eigenschaften der Klasse $U_L^{}$ (TM) = $a_M^{}(1_n^{})$ zusammen:

Satz 2.14 1) Für orientierte Vektorbündel E und F gilt

$$U_{T_{\bullet}}(E) \cdot U_{T_{\bullet}}(F) = U_{T_{\bullet}}(E \oplus F)$$

2) Ist E ein komplexes Vektorbündel und \mathbf{U}_{T} die übliche Thomklasse, dann gilt

$$U_{T_{\cdot}}(E) = \Lambda^{*}(\overline{E}) \otimes U_{T_{\cdot}}(E)$$

3) Schränkt man $\mathbf{U}_{\mathbf{L}}(\mathbf{E}^{2n})$ auf die Faser ein, so erhält man das $\mathbf{2}^n$ -fache des kanonischen Erzeugenden.

Beweis: 1) ergibt sich aus der erwähnten Multiplikativität von l_n .

2) braucht man nur für Linienbündel nachzuweisen, da sowohl U_L (E) als auch Λ^* (\overline{E}) und U_T (E) multiplikativ sind. j: BSO(2) \longrightarrow MU(1) = MSO(2) ist jedoch eine Homotopieäquivalenz und es genügt die Eulerklassen zu vergleichen: Aus $j^*U_L(\xi) = \overline{\xi} - \xi$ und $j^*U_T(\xi) = 1 - \xi$ folgt dann die Behauptung $\overline{\xi} - \xi = (1 + \overline{\xi})(1 - \xi)$.

3) ist eine unmittelbare Folge von 2) .

Führt man Koeffizienten ein, in denen 2 invertierbar ist, dann wird U $_{
m L}$ zu einer Thomklasse.

Wir werden als Koeffizienten fast nur R: = Z[1/2] benutzen. $K^*(-;R)$ und $K_*(-;R)$ lassen sich für endliche CW-Komplexe einfach durch Tensorieren definieren: K(X;R):=K(X) & R . Für unendliche CW-Komplexe muß man für

 $K^*(-;R)$ ein Spektrum BUZ[1/2] konstruieren: Auf dem H-Raum $Z \times BU$ ist durch Addition der Identität zu sich selbst eine "Multiplikation mit 2" f: $Z \times BU \longrightarrow Z \times BU$ definiert. Mit der Abbildungsfolge

$$Z \times BU \xrightarrow{f} Z \times BU \xrightarrow{f} Z \times BU \xrightarrow{f} \dots$$

konstruiert man als iterierten Abbildungszylinder BUZ[1/2]. Auf endlichen CW-Komplexen erhält man dann $K^*(X;R) = K^*(X) \otimes R$. Wegen der Verträglich-keit einer Homologietheorie mit \varinjlim gilt $K_*(X,R) = K_*(X) \otimes R$ auch für unendliche CW-Komplexe.

Für die Theorie K(-;Z[1/2]) sind wegen der Existenz der Thomklasse U_L alle SO(n)-Vektorbündel orientierbar. Für KO(-;Z[1/2]) wurde dies von Sullivan [S] (mit einer anderen Thomklasse) bewiesen. Man hat jetzt insbesondere einen universellen Thomisomorphismus $\phi_L \colon K^*(BSO(n);R) \longrightarrow \tilde{K}^*(MSO(n);R)$ und kann über das Diagramm

$$K_{SO(2n)}(\mathbb{R}^{2n}) \xrightarrow{\mathbf{a}_{BSO(2n)}} \widetilde{K}(MSO(2n), \mathbb{R})$$

$$\uparrow \cdot \mathbf{1}_{n} \qquad \qquad \downarrow \uparrow \qquad \qquad \downarrow \downarrow \qquad \qquad \downarrow \qquad \qquad \downarrow \qquad \qquad \downarrow \qquad \qquad \downarrow \qquad$$

die universellen Symbolklassen direkt als universelle charakteristische Klassen interpretieren. Die Bilder der \widetilde{pk}_i in K (BSO(2n)) sind die K-Theorie Pontrjagin-klassen pk_i . Unter dem Cherncharakter geht pk_i in eine Kohomologieklasse über, die mit der gewöhnlichen Pontrjaginklasse beginnt.

Arbeitet man mit R = Z[1/2] als Koeffizientenbereich, kann man sich den Umweg über das Tangentialbündel ersparen:

Daß die Thomklasse eines orientierten Vektorbündels E mittels des Poicaréisomorphismus der Mannigfaltigkeit (B(E),S(E)) dual zur Fundamentalklasse des Nullschnittes ist, gilt auch in der K-Theorie – solange alle Fundamentalklassen durch "zusammengehörende" Thomklassen definiert werden. Da $[TM]_T$ mit der Thomklasse eines komplexen Bündels gebildet wurde, passen $[TM]_T$ und U_L i.A. nicht zusammen; man erwartet daher eine modifizierte Thomklasse U_S zur Definition derjenigen Fundamentalklasse $[M]_S \in K_*(M;R)$, die das folgende Diagramm kommutativ

macht.

E sei ein orientiertes R-Vektorbündel der Dimension \underline{E} . In $K^*(E;R)$ ist $\Lambda^*(E\otimes\mathbb{C}-\underline{E})$ invertierbar und somit ist

$$\widetilde{U}_{S}(E) := \Lambda^{*}(E \otimes \mathbb{C} - \underline{E})^{-1}\widetilde{U}_{L}(E) \qquad \text{wohldefiniert.}$$

$$(\widetilde{U}_{L}(E^{2n}) := 2^{-n}U_{L}(E))$$

Die Thomklasse $\tilde{U}_S(v)$ des Normalenbündels einer Einbettung von M in \mathbb{R}^k definiert nach (2.2) eine Fundamentalklasse $\left[\stackrel{\sim}{M}\right]_S$.

Zunächst fassen wir noch einmal die Beziehungen zwischen den verschiedenen Thom- und Fundamentalklassen zusammen

$$\widetilde{\mathbf{U}}_{\mathbf{L}}(\mathbf{E}^{2n}) = 2^{-n}\mathbf{U}_{\mathbf{L}}(\mathbf{E})$$
 $\widetilde{\mathbf{U}}_{\mathbf{L}}(\mathbf{E}) = \Lambda^* (\mathbf{E} \otimes \mathbf{C} - \mathbf{E})\widetilde{\mathbf{U}}_{\mathbf{S}}(\mathbf{E})$

Ist E^n ein komplexes Bündel und M^{2n-1} eine stabil fastkomplexe Mannigfaltigkeit, dann gilt:

$$\begin{split} \widetilde{\mathbf{U}}_{\mathbf{L}}(\mathbf{E}) &= \Lambda^* (\widetilde{\mathbf{E}} - \mathbf{n}) \mathbf{U}_{\mathbf{T}}(\mathbf{E}) \\ \widetilde{\mathbf{U}}_{\mathbf{S}}(\mathbf{E}) &= \Lambda^* (\mathbf{E} - \mathbf{n})^{-1} \mathbf{U}_{\mathbf{T}}(\mathbf{E}) \\ \\ \left[\mathbf{M}^{2n-1} \right]_{\mathbf{S}} &:= (-2)^n \widetilde{\mathbf{M}} \right]_{\mathbf{S}} \\ \left[\mathbf{M}^{2n-1} \right]_{\mathbf{S}} &= (-1)^n \Lambda^* (\mathbf{T} \mathbf{M} \oplus \mathbb{R}) \wedge \left[\mathbf{M} \right]_{\mathbf{T}} \\ \\ \left[\widetilde{\mathbf{M}}^{2n-1} \right]_{\mathbf{S}} &= \Lambda^* (\mathbf{T} \mathbf{M} \oplus \mathbb{R} - \mathbf{n}) \wedge \left[\mathbf{M} \right]_{\mathbf{T}} \end{split}$$

Bemerkung:

Die mit \sim gekennzeichneten Klassen sind mit der gewöhnlichen d.h. durch U $_{\rm T}$ definierten Suspension in K * verträglich, während die unreduzierten Thomklassen Multiplikationen mit 2-er Potenzen hervorrufen.

Mit diesen Wahlen gilt: $\widetilde{\mathbb{U}}_{S}(TM \oplus \mathbb{R}) \wedge \left[TM \oplus \mathbb{R}\right]_{S} = \left[M\right]_{S}$. Auf dem Normalenbündel von TM haben wir, um $\left[TM \oplus \mathbb{R}\right]_{S}$ mit $\left[TM \oplus \mathbb{R}\right]_{T}$ zu ver-

gleichen, nicht die kanonische Orientierung, sondern die von der komplexen Struktur herrührende Orientierung zu nehmen.

Die obige Gleichung wird zu

$$\widetilde{U_{S}(TM \oplus R)} \wedge [TM \oplus R]_{S} = [M]_{S}$$

$$\begin{split} &(\overline{a} = \text{konjugierte Klasse zu a), wobei jetzt TN die "komplexe" Orientierung hat.} \\ &\text{Einsetzen der Beziehungen } \left[\overrightarrow{\text{TM}} \oplus \mathbb{R} \right]_{S} = \Lambda^{*} \left(\text{TN - } \dim_{\mathbb{C}} \text{TN} \right) \stackrel{-1}{\wedge} \left[\text{TM } \oplus \mathbb{R} \right]_{T}, \\ &\widetilde{\mathbb{U}}_{S} \left(\text{TM } \oplus \mathbb{R} \right) = \left(-1 \right)^{n} \widetilde{\mathbb{U}}_{S} \left(\text{TM } \oplus \mathbb{R} \right), \quad \widetilde{\mathbb{U}}_{L} \left(\text{TM } \oplus \mathbb{R} \right) = \Lambda^{*} \left(\text{TM } \otimes \mathbb{C} - \dim_{\mathbb{R}} \text{TM} \right) \widetilde{\mathbb{U}}_{S} \left(\text{TM } \oplus \mathbb{R} \right) \\ &\text{und } \Lambda^{*} \left(\text{TM } \otimes \mathbb{C} - \dim \text{TM} \right) = \Lambda^{*} \left(\text{TN - } \dim \text{TN} \right)^{-1} \quad \text{liefert} \end{split}$$

$$U_L(TM \oplus \mathbb{R}) \cap [TM \oplus \mathbb{R}]_T = (-2)^n [\widetilde{M}]_S = [M]_S$$

und damit die Kommutativität des Diagramms (2.16).

Die Diagramme (2.15) und (2.16) erlauben es nun die zu Beginn dieses Paragraphen mittels Symbolklassen definierten Bordismusinvarianten mit K^* (;R)-Theorie-Pontrjaginzahlen zu identifizieren.

Satz 2.17
$$f_*(a_M(v) \cap [TM \oplus \mathbb{R}]_T) = f_*(pk_{(i)}(TM) \cap [M]_S)$$

Hierbei gilt $v \equiv \widetilde{pk}_{\omega} \cdot l_n \mod e$ in $K_{SO(2n)}(\mathbb{R}^{2n})$ mit \widetilde{pk}_{ω} aus RSO(2n) und pk_{ω} die zu \widetilde{pk}_{ω} gehörende Pontrjaginklasse in $K^{O}(BSO(2n);\mathbb{R})$.

Für Gruppen ungerader Ordnung bedeutet das Einführen von Z[1/2]-Koeffizienten keine Einschränkung.

Die zu 1_n gehörende charakteristische Zahl ist das Bild der Fundamentalklasse: $f_*(a_M^{}(1_n^{}) \wedge \left[TM \oplus \mathbb{R}\right]_T^{}) = f_*(\left[M\right]_S^{}) \quad \text{und der durch } 1_n^{} \text{ definierte Homomorphismus}$ $\beta_2^{}(-,1_n^{}) \quad \text{wird zum Thomhomomorphismus:}$

$$\mu : \widehat{\Omega}_{2n-1}(BG) \otimes R \longrightarrow K_1(BG;R)$$
 (2.18)

Bemerkung: Für eine geradedimensionale orientierte Mannigfaltigkeit x^{2n} läßt sich das K-Theorie Kroneckerprodukt $\langle v, [x]_S \rangle = Index (v \cdot U_L) \in \mathbb{Z}[1/2]$ in ein gewöhnliches Kroneckerprodukt umrechnen. Dabei zeigen sich die engen Beziehungen der Fundamentalklasse $[x]_S$ zur Signatur:

Mit der Definition von $\left[\widetilde{x}\right]_{S}$ gilt (Abbildungen wie in (2.2)):

< x ,
$$[\tilde{X}]_S >_K = < pr^* x \cup \tilde{U}_S(N) , j_x [\widetilde{s^k}]_S >_K = < j^* (pr^* x \cup \tilde{U}_S(N) , [s^k]_T >_K$$

$$= < ch (j^* pr^*(x) \cup \tilde{U}_S(N)) , [s^k]_H >_{H(-;0)}$$

$$< x , [\tilde{x}]_{S} >_{K} = < pr^{*}ch(x) \cup pr^{*}y \cup U_{H} , j_{x}[s^{k}]_{H} >_{H} = < ch(x) \cup y , pr_{x}(j_{x}[s^{k}] \cap U_{H}) >$$

$$= < ch(x) \cup y , [x]_{H} >_{H}$$

Es bleibt die Klasse y(N) = y zu bestimmen. Mit Natürlichkeit und Spaltungsprinzip führt man dies auf den Fall des universellen Linienbündels γ über $P_{\infty}\mathbb{C}$ zurück. Wegen $B(\gamma)/S(\gamma) \stackrel{j}{\Longrightarrow} P_{\infty}\mathbb{C}$ gilt :

Somit $y(N) = \Pi$ (-(tanh $x_1/2$) / ($x_1/2$)) . y(-) ist eine stabile charakteristische Klasse und es gilt $y(N) = y(TX)^{-1}$. Vergleich mit der zur Reihe x/tanh x gehörenden L-Klasse zeigt, daß sich die einzelnen homogenen Terme um Vorzeichen und Potenzen von 2 unterscheiden :(-1) $y(TX)_{4k}^{-1} = 2^{2k} L_k(TX) \in H^{4k}(X; \mathbb{Q})$. ch $x \circ y(TX)^{-1}$ und $(-2)^{-n}$ ch $\psi^2(x) \cup L(TX)$ haben damit den gleichen 2n-ten homogenen Term. Insgesammt

$$< x , [X]_{S} >_{K(;R)} = < ch \psi^{2}(x) \cup L(TX) , [X] >_{H(;O)}$$
 (2.17)

Als Korollar erhält man <1, $[X]_S>_K=$ sign X und für eine komplexe Mannigfaltigkeit X^n $(-1)^n<\Lambda^*(TX)$, $[X]_T>_K=$ sign X Das Auswerten eines Vektorbündels L auf der zu $[X]_T$ konjugierten Klasse ergibt immer die Eulerzahl $\chi(X;L)=\sum_{i=0}^n (-1)^i \cdot \dim H^i(X;\Omega(L))$. Damit geht das letzte Kroneckerprodukt in eine alte Formel von Hodge $\chi(X,\Lambda^*TX^*)=$ sign X über (siehe [H4]).

§ 3 Die Beziehungen zwischen charakteristischen Zahlen und v-Invarianten

Wir konstruieren einen Homomorphismus $\psi: K_1(BG) \to S_G^{-1}R(G)/R(G)$, über den wir die v-Invarianten mit den charakteristischen Zahlen aus §2 in Beziehung setzen. Es sei G eine endliche zyklische Gruppe,Y eine orientierte G-Mannigfaltigkeit mit freiem Rand ∂Y und $\partial Y/G = M$. Ein Element $v \in K_{SO(2n)}(\mathbb{R}^{2n})$ definiert die Symbolklassen $a_Y(v) \in K_G(TY)$ und $a_M(v) \in K^O(TM \oplus \mathbb{R})$. Nach Konstruktion dieser Elemente ist es klar, daß $a_Y(v)$ unter der Einschränkung und dem Herausdividieren der G-Aktion auf $a_M(v)$ abgebildet wird. Betrachtet man die lange exakte Sequenz des Tripels $(B(TY), \partial B(TY), S(TY))$ und die auf den Gruppen definierten Indexhomomorphismen, erhält man das kommutative Diagramm mit exakten Zeilen

Das Bild des ersten Indexhomomorphismus liegt in $(reg) \subset R(G)$, da G frei auf

Der klassifizierende Raum BG wird approximiert durch die Folge der Linsenräume $L^n(q) = s^{2n-1}/G$ (Drehzahlen alle gleich 1, q := |G|). Der freie G-Raum s^{2n-1} wird von der Scheibe D^{2n} äquivariant berandet. Wegen $K_G^1(B(TD^{2n}), \partial B(TD^{2n})) = 0$ ist $\psi_{L^n(q)} =: \psi_n$ auf ganz $K_G^0(TD^{2n}|_{\partial D})$ definiert. Die Inklusion $i_{n,m} : D^{2n} \to D^{2m}$ ist G-äquivariant und induziert einen Umkehrhomomorphismus

Die Definition von $\psi(x)$ läßt sich in dem folgenden Diagramm zusammenfassen : Zu $x \in K_1$ (BG) gibt es ein n, so daß x im Bild von K_1 (Lⁿ(q)) \rightarrow K_1 (BG) liegt.

$$K_{1} (BG) \xrightarrow{\psi} S_{G}^{-1} R(G) / R(G)$$

$$\uparrow i_{n,\infty} * \qquad \qquad \uparrow \psi_{D^{2n}}$$

$$K_{1} (L^{n}(q)) \stackrel{\wedge [TL^{n} \oplus \mathbb{R}]_{T}}{\approx} K^{0} (TL^{n}(q) \oplus \mathbb{R}) \stackrel{\varphi}{\leftarrow} K^{0}_{G} (TD^{2n}_{|\partial D}) \stackrel{i^{*}}{\leftarrow} K^{0}_{G} (TD^{2n}_{|\partial D})$$

$$(3.2)$$

Satz 3.3 a) Ist $|G|\equiv 1$ (2) , dann gilt $\psi\circ\beta_2=\beta_1$ auf $\widetilde{\Omega}_{2n-1}$ (BG) b) Ist $|G|\equiv 0$ (2) , dann stimmen $\psi\circ\beta_2$ und β_1 auf dem Ω_* -Untermodul von Ω_* (BG) überein, der von den freien G-Aktionen auf den Sphären erzeugt wird. Auf den restlichen Elementen, die einen direkten Summanden bilden, ist die α -Invariante ganzzahlig, d.h. $\alpha_z=0$.

Beweis:

- 1. Aus dem Diagramm (3.2) folgt sofort die Gleichung $\psi\beta_2=\beta_1$ für die freien G-Mannigfaltigkeiten (S²ⁿ⁻¹,G): Unter $\varphi \circ i^*$ geht $a_{D^{2n}}$ (v) auf $a_{L^n(q)}$ (v) und weiter auf $(i_{n,\infty})_*$ $(q_{L^n(q)}(v)_n[TL^n(q)\oplus \mathbb{R}])=\beta_2(L^n(q);i_{n,\infty}),v)$ in K_1 (BG). Die rechte Hälfte von (3.2) ist die Definition β_1 ((S²ⁿ⁻¹,G),v), so daß aus der Definition von ψ die Behauptung folgt.
- 2. Wir zeigen jetzt die Behauptung für ein Produkt $X \times (L^n(q),i)$ mit $X \in \Omega_*$ Zunächst benötigen wir eine geeignete Z-Basis von $RSO(2n+1) = Z\left[\widetilde{pk}_1,\ldots,\widetilde{pk}_n\right]$. Sind σ_i die elementarsymmetrischen Funktionen in den n-Variablen t_1,\ldots,t_n ,

dann gibt es nach einem bekannten Verfahren (siehe [Mi]) zu jeder Partition ω von k ein eindeutig bestimmtes Polynom S_{ti} , so daß

$$s_{\omega}(\sigma_1, \ldots, \sigma_k) = \sum_{k=1}^{\infty} t_1^{\omega_1} \ldots t_r^{\omega_r}$$

wobei über alle Monome in t_1,\ldots,t_n zu summieren ist, die durch eine Permutation der Variablen ineinander übergehen. Die S_{ω} bilden eine Z-Basis von $Z\left[\sigma_1,\ldots,\sigma_n\right]$. Insbesondere sind die Polynome $S_{\omega}\left(\hat{p}k_1,\ldots\hat{p}k_n\right)$ eine Z-Basis von RSO(2n+1). Wie in [Mi] folgt dann für orientierte Bündel E,F über M die Whitney-Summenformel

$$S_{\omega}(pk_{1}(E \oplus F),...,pk_{r}(E \oplus F)) = \sum_{\varepsilon} S_{\varepsilon}(pk_{1}(E),...) \cdot S_{\tau}(pk_{1}(F),...)$$

$$\varepsilon+\tau=\omega$$
(3.4)

Es sei jetzt $v \in K_{SO(2n)}(\mathbb{R}^{2n})$ von der Form $S_{\omega}(\widetilde{pk}_{1'},\widetilde{pk}_{r}) \cdot 1_{n+m}$. Wir berechnen $\beta_{2}(X \times S^{2n-1},v)$: Das Tangentialbündel $T(X^{2m} \times L^{n}(q)) \oplus \mathbb{R}$ spaltet als Whitneysumme $\operatorname{pr}_{1}^{*}TX \oplus \operatorname{pr}_{2}^{*}TL^{n} \oplus \mathbb{R}$ und wegen der Multiplikativität von 1_{n} gilt $a_{X \times L}(1_{n+m}) = \operatorname{pr}_{1}^{*}U_{L}(TX) \cup \operatorname{pr}_{2}^{*}U_{L}(TL^{n} \oplus \mathbb{R})$. Zusammen mit (3.4) folgt

$$\mathbf{a}_{\mathbf{X}\times\mathbf{L}}(\mathbf{v}) = \sum_{\mathbf{\epsilon}+\mathbf{T}=\omega} \mathbf{pr}_{1}^{*} (\mathbf{s}_{\mathbf{\epsilon}}(\mathbf{pk}_{1}(\mathbf{TX}), \dots) \cdot \mathbf{U}_{\mathbf{L}}(\mathbf{TX})) \circ \mathbf{pr}_{2}^{*} (\mathbf{s}_{\tau}(\mathbf{pk}_{1}(\mathbf{TL}), \dots) \cdot \mathbf{U}_{\mathbf{L}}(\mathbf{TL} + \mathbf{R}))$$

Die Fundamentalklasse $[T(X\times L^n(q))\oplus R]$ ist das Produkt der Klassen [TX] und $[TL\oplus R]$, deshalb

$$\mathbf{a}_{\mathbf{X} \times \mathbf{L}} (\mathbf{v}) \wedge \left[\mathbf{T} (\mathbf{X} \times \mathbf{L}) \oplus \mathbf{R} \right] = \left[(\mathbf{s}_{\varepsilon} (\dots) \cdot \mathbf{U}_{\mathbf{L}} (\mathbf{T} \mathbf{X}) \wedge \left[\mathbf{T} \mathbf{X} \right]_{\mathbf{T}}) \times (\mathbf{s}_{\tau} (\dots) \cdot \mathbf{U}_{\mathbf{L}} (\mathbf{T} \mathbf{L} \oplus \mathbf{R}) \wedge \left[\mathbf{T} \mathbf{L} \oplus \mathbf{R} \right]_{\mathbf{T}}) \right]$$

 $\texttt{Mit} \quad \pi \; : \; X \; \longrightarrow \; \star \; \longrightarrow \; \texttt{BG} \qquad \texttt{berechnet man}$

$$\begin{split} \beta_2 \left(\mathbf{X}^{\times} \mathbf{L}, \mathbf{v} \right) &= \left(\mathbf{\pi}^{\times} \mathbf{i}_n \right)_{\times} \left(\mathbf{a}_{\mathbf{X}^{\times} \mathbf{L}} \left(\mathbf{v} \right) \wedge \left[\mathbf{T} \mathbf{X}^{\times} \mathbf{L} \oplus \mathbb{R} \right]_{\mathbf{T}} \right) \\ &= \sum_{\varepsilon \in \mathbb{C}} \left(\mathbf{pk}_1 \left(\mathbf{T} \mathbf{X} \right), \ldots \right) \circ \mathbf{U}_{\mathbf{L}} \left(\mathbf{T} \mathbf{X} \right) , \quad \left[\mathbf{T} \mathbf{X} \right]_{\mathbf{T}} >_{\mathbf{K}^{\bullet}} \beta_2 \left(\mathbf{L}^n \left(\mathbf{q} \right) , \quad \mathbf{s}_{\mathbf{T}} \left(\widetilde{\mathbf{pk}}_1, \ldots \right) \wedge \mathbf{1}_n \right) \\ &= \sum_{\varepsilon + \mathbf{T} = \omega} \operatorname{ind}_{\mathbf{X}} \left(\mathbf{s}_{\varepsilon} \left(\mathbf{pk}_1 \left(\mathbf{T} \mathbf{X} \right), \ldots \right) \circ \mathbf{U}_{\mathbf{L}} \left(\mathbf{T} \mathbf{X} \right) \right) \\ & \cdot \beta_1 \left(\mathbf{L}^n \left(\mathbf{q} \right) , \quad \mathbf{s}_{\mathbf{T}} \left(\widetilde{\mathbf{pk}}_1, \ldots \right) \wedge \mathbf{1}_n \right) \end{split}$$

Die Gleichung $\beta_1(X\times L,v) = \beta_2(X\times L,v)$ folgt dann sofort aus dem Multiplikativitätsaxiom für den Index, wie es in [A-S3] angegeben ist.

3. Ist |G| ungerade, dann spielt es keine Rolle, ob wir 1_n oder μ_n verwenden (siehe § 2), daher nehmen $\psi \circ \beta_2$ und β_1 für alle $v \in K_{SO(2n+2m)}(\mathbb{R}^{2n+2m})$ auf dem Produkt $X^{2n} \times L^n(|G|)$ den gleichen Wert an. Weiterhin bilden für $|G| \equiv 1$ (2) die Elemente $(L^n(|G|), i_n)$ ein System von Ω_* -Modul-Erzeugenden für $\widetilde{\Omega}_*(BG)$ (siehe § 1) und damit gilt $\psi \circ \beta_2 = \beta_1$ auf ganz $\widetilde{\Omega}_*(BG)$.

Sei jetzt |G| gerade. Wir berechnen zuerst, wie sich $a_{X\times L}(\mu_{n+m})$ in ein Produkt von Symbolklassen zerlegen läßt: Nach (2.8) gilt

$$\begin{split} 2\mu_{m} \cdot 2\mu_{n} &= (e_{m} + l_{m}) \cdot (e_{n} + l_{n}) = e_{n} \cdot e_{m} + l_{n} \cdot l_{m} + l_{m} \cdot e_{n} + e_{m} \cdot l_{n} \\ &= e_{n+m} + l_{n+m} + e_{m} \cdot l_{n} + l_{m} \cdot e_{n} = 2\mu_{n+m} + e_{m} \cdot l_{n} + l_{m} \cdot e_{n} \\ &\text{in } K_{SO(2m) \times SO(2n)} \left(\mathbb{R}^{2n+2m}\right) \ . \end{split}$$

Da l_{m} e im Kern von $a_{X \times L}$ liegt, folgt

$$a_{X \times L}(2\mu_{n+m}) = a_{X}(1_{m} + e_{m}) \cdot a_{L}(2\mu_{n}) - a_{X}(e_{m}) \cdot a_{L}(1_{n})$$

$$= a_{X}(1_{m}) \cdot a_{L}(2\mu_{n}) + a_{X}(e_{m}) \cdot a_{L}(2\mu_{n} - 1_{n})$$

$$= a_{X}(1_{m}) \cdot a_{L}(2\mu_{n}) \quad \text{und daher}$$

$$a_{X \times L}(\mu_{n+m}) = a_{X}(1_{m}) \cdot a_{L}(\mu_{n}) \quad (3.4)$$

Für die Gleichheit von $\psi \circ \beta_2$ und β_1 kann man daher wie unter 2. schließen. Auf dem von den freien G-Aktionen auf den Sphären s^{2n-1} erzeugten Ω_* -Untermodul von $\widetilde{\Omega}_*$ (BG) gilt damit $\psi \circ \beta_2 = \beta_1$.

Die restlichen Elemente haben alle die Ordnung 2, bilden einen direkten Summanden und kommen von $\widetilde{\Omega}_*(BZ_2)$ (siehe [Kat]). Die zu μ gehörende v-Invariante hat auf diesen Elementen höchstens die Ordnung 2 und deshalb verschwindet auf ihnen die α_Z -Invariante. Da wir hauptsächlich an α_Z interessiert sind, und zudem die zu μ gehörende v-Invariante durch Stiefel-Whitney Zahlen (im Sinne von § 0) bestimmbar ist, verzichten wir auf den Vergleich der charakteristischen Zahlen und v-Invarianten auf diesen Elementen.

Wir setzen $[M]_S$: = U_L (TM \oplus \mathbb{R}) \wedge [TM + R] $_T$ für eine ungerad-dimensionale orientierte Mannigfaltigkeit M . Nach Einführen von $\mathbb{Z}[1/2]$ Koeffizienten ist $[M]_S$, wie wir in \S 2 gesehen haben, wirklich eine Fundamentalklasse.

Korollar 3.5 Es sei G endliche zyklische Gruppe. Der Thomhomomorphismus $\mu\colon \widetilde{\Omega}_{2n-1}(BG) \longrightarrow \mathsf{K}_1(BG) \quad \mu((M,f)) = \mathsf{f}_{\mathsf{x}}\left[\mathtt{M}\right]_{S} \quad \text{läßt sich über}$ $\psi\colon \mathsf{K}_1(BG) \longrightarrow \mathsf{S}_G^{-1}\mathsf{R}(G)/\mathsf{R}(G) \quad \text{mit dem durch} \quad \alpha_Z\text{-gegebenen Homomorphismus} \quad (-1)\cdot\alpha_Z\colon \widetilde{\Omega}_{2n-1}(BG) \longrightarrow \mathsf{S}^{-1}\mathsf{R}(G)/\mathsf{R}(G) \quad \text{identifizieren.}$

Als nächstes untersuchen wir Kern und Kokern von ψ . Für eine zyklische Gruppe G hat man die Lokalisation mit $S_a = \left\{ \begin{array}{c|c} \lambda_{-1}(V) & \text{G operiert frei auf der Einheitssphäre des komplexen G Moduls V} \right\}$ zur Verfügung.

- Lemma 3.6 a) Für eine zyklische Gruppe G ist $S_a^{-1}R(G)/R(G)$ eine Untergruppe von $S_G^{-1}R(G)/R(G)$
 - b) Ist G eine zyklische P-Gruppe, dann gilt $S_{a}^{-1}R(G)/R(G) = S_{G}^{-1}R(G)/R(G)$

Beweis: Es sei R(G) = $Z[\lambda]/(\lambda^{|G|}-1)$. Operiert G frei auf S(V) dann ist V eine Summe von Darstellungen $\lambda^{\hat{1}}$ mit (|G|, i) = 1 und da $\operatorname{reg}_{G}-|G|$ durch solche $\lambda^{\hat{1}}-1$ teilbar ist, ist $\lambda^{\hat{1}}-1$ in $S_{G}^{-1}R(G)$ eine Einheit. Da λ_{-1} Summen in Produkte überführt, besteht das Bild von S_{a} unter $\rho:R(G)\longrightarrow S_{G}^{-1}R(G)$ aus Einheiten und ρ faktorisiert zu $\tilde{\rho}\colon S_{a}^{-1}R(G)\longrightarrow S_{G}^{-1}R(G)$. Da (reg) c:R(G) im Kern von $R(G)\longrightarrow S_{a}^{-1}R(G)$ liegt, ist $\bar{\rho}$ injektiv und a) bewiesen. Für $G=Z_{p^{Y}}$ ist $p:n:S_{a}^{-1}R(G)$ invertierbar: $(1-\lambda)^{p^{Y}}=\sum_{i=0}^{p^{Y}}(-1)^{i}\binom{p^{Y}}{i}\cdot\lambda^{i}=\sum_{i=1}^{p^{Y}-1}(-1)^{i}\binom{p^{Y}}{i}\cdot\lambda^{i}$ ist durch p:n:R(G) to p:n:R(G) folgt die von p:n:R(G) aus diesem Grund faktorisiert $p:R(G)\longrightarrow S_{a}^{-1}R(G)$ über $S_{G}^{-1}R(G)\longrightarrow S_{a}^{-1}R(G)$.

Zur Definition der v-Invarianten kann man nach (1.6) auch mit S lokalisieren. Man erhält einen Homomorphismus $\psi\colon K_1$ (BG) \longrightarrow $S_a^{-1}R(G)/R(G)$.

Satz 3.7 Für eine endliche zyklische Gruppe G ist $\psi: K_1$ (BG) $\longrightarrow S_a^{-1}R$ (G)/R (G) ein Isomorphismus .

Beweis: Man bildet mit $Y = D^{2n}$ und den Umkehrhomomorphismen der Inklusionen $i_{n,m} : D^{2n} \longrightarrow D^{2m}$ den direkten Limes des Diagramms (3.1) und erhält das folgende Diagramm mit exakten Zeilen:

Wir zeigen, daß die ersten drei vertikalen Homomorphismen Isomorphismen sind.

a)
$$K_G^O(TS^{2n-1}) \longrightarrow Z \cdot reg$$

Eine bekannte Eigenschaft der Indexfunktion ist es, mit dem Ausdividieren einer freien G-Aktion verträglich zu sein. Unter der Identifikation

 $K_G^{(TS^{2n-1})} \stackrel{\sim}{=} K^O(TL^n) \xrightarrow{\stackrel{\cap}{\cong}} K_O^{(L^n)}$ erhält man aus der Indexfunktion den von der Projektion auf einen Punkt induzierten Homomorphismus, der hier ein Isomorphismus ist $(K_O^n(L^n) \stackrel{\sim}{=} K^1(L^n) \cong Z)$.

b)
$$\lim_{n \to \infty} K_G^O(BTD^n, \partial BTD^n) \longrightarrow R(G)$$

Mit dem Thomisomorphismus der Inklusion des Fixpunktes erhält man ein kommutatives Diagramm, aus dem mit der Definition von ind_G sofort die Behauptung folgt.

$$K_{G}^{O}(BTD^{2n}, \partial BTD^{2n}) \leftarrow \mathbb{F}^{V} \qquad K_{G}^{O}(\star)$$

$$\downarrow^{(\hat{l}_{O,m})^{V}} \qquad \qquad \parallel$$

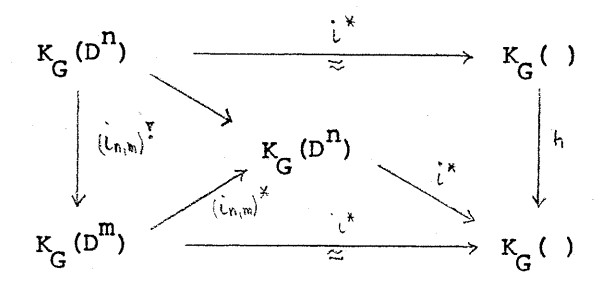
$$K_{G}^{O}(BTD^{2m}, \partial BTD^{2m}) \leftarrow \mathbb{F}^{V} \qquad K_{G}^{O}(\star)$$

c)
$$\underset{a}{\underline{\text{lim}}} L_{G}(TD^{2n}) \longrightarrow s_{a}^{-1}R(G)$$

 ${\rm BTD}^{2n}/{\rm STD}^{2n} \quad \text{ist der Thomraum des Bündels} \quad {\rm TD}^{2n} \longrightarrow {\rm D}^{2n} \subset \mathbb{C}^n \quad \text{und da D}({\rm E}^n) \quad \text{einer fast-komplexe Mannigfaltigkeit mit Rand ist, hat man einen Thomisomorphismus} \\ {\rm K}_G^{}({\rm TD}^{2n}) \quad \longleftrightarrow \quad {\rm K}_G^{}({\rm D}^{2n}) \quad . \quad \text{Wegen der verschiedenen komplexen Strukturen auf den}$

Normalenbündeln hat man statt ϕ $\overline{\phi}$ - d.h. den Thomisomorphismus mit der konjugierten Thomklasse zu wählen, damit das folgende Diagramm kommutiert:

Das Diagramm läßt sich fortsetzen, wobei i: \star \longrightarrow D die Inklusion des Fixpunktes ist



Da $i_{n,m}^* \circ i_{n,m}^{\gamma}$ die Multiplikation mit der Eulerklasse des Normalenbündels ν von p^n in p^m ist, hat man für h die Multiplikation mit $(1-\lambda)^{m-n} = \lambda_{-1}(\nu)$ einzusetzen um Kommutativität zu erreichen.

Damit gilt $\varinjlim_{n} (K_{G}(TD^{2n}), i^{?}) = \varinjlim_{n} (R(G); \text{Multiplikation mit } (1-\lambda))$. Das direkte System $R(G)_{n} \xrightarrow{(x-\lambda)^{n-n}} R(G)_{m} = R(G)$ läßt sich durch $R(G)_{n} \longrightarrow S_{a}^{-1}R(G) = x \longmapsto_{n} x / (1-\lambda)^{n}$ in das konstante System $S_{a}^{-1}R(G)$ abbilden. Man erhält einen Isomorphismus $\varinjlim_{n} K_{G}(TD^{2n}) = S_{a}^{-1}R(G)$. Indem man wieder die Definition von \inf_{G} heranzieht, stellt man fest, daß dieser Isomorphismus von $\varinjlim_{n} \overline{\psi}_{D}^{n}$ induziert wird.

Bemerkungen:

- 1) Ohne Mühe überträgt man das Gesagte auf den Fall $G = S^1$. Man erhält ebenfalls einen Isomorphismus $\psi \colon K_O(BS^1) \longrightarrow S_a^{-1}R(S^1)/R(S^1)$ und das Übereinstimmen von charakteristischen Zahlen und v-Invarianten.
- 2) In [W] wird gezeigt, daß man ganz allgemein für eine endliche Gruppe G $K_1 \text{ (BG) in } S_G^{-1} R \text{ (G) } / R \text{ (G) } \text{ einbetten kann.}$

3) Beschreibungen der Homologie von BG durch einen Quotienten einer lokalisierten äquivarianten Kohomologiegruppe $S^{-1}t_G$ und einer Kohomologiegruppe t_G , in die die Isomorphie t_G (BG) $= t_G^{-1} t_G$ und einer Kohomologiegruppe t_G , in die die Isomorphie t_G (BG) $= t_G^{-1} t_G$ einzuordnen ist, wurden von tom Dieck gefunden. In $[tD \ 1]$ wird z.B. eine exakte Sequenz

$$\circ \ \longrightarrow \ \mathtt{U}^* \ \longrightarrow \ \mathtt{U}_{\mathsf{G}}^* \ \longrightarrow \ \mathtt{S}^{-1}\mathtt{U}_{\mathsf{G}}^* \ \longrightarrow \ \mathtt{U}_{\mathsf{\chi}} \ (\mathtt{BG}) \ \longrightarrow \ \mathsf{O}$$

hergeleitet.

4) Für zyklisches G läßt sich $K_*(BG)$ leicht durch die Gysin-Sequenz des Bündels $H^D \longrightarrow BS^1$ berechnen. (Für $G = Z_{p^r}$ siehe [V1]) .

§ 4 Der Hurewicz-Homomorphismus für MSO

Das Ziel dieses Paragraphen ist es, zu bestimmen inwieweit die in § 2 definierten charakteristischen Zahlen und damit die v-Invarianten, die Bordismusklassen in $\widetilde{\Omega}(BG)$ festlegen. Unser Vorgehen orientiert sich am stabil-fast-komplexen Fall.

Für ein Spektrum $\{E_n^{}\}$ und eine Homologietheorie h wird die h-Homologie des Spektrums durch $h_n^{}(E):=\varinjlim_{n}h_{n+r}^{}(E_r^{})$ definiert. Mit S soll das Sphären-Spektrum, das die stabile Homotopietheorie π^S definiert, bezeichnet werden. Ist die Homologietheorie h - etwa durch ein Spektrum $\{F_n^{}\}$ gegeben - multiplikativ, so erhält man durch das Einselement $1\in \tilde{h}_o^{}(S^o)$ eine Abbildung von Spektren $S \to F$ und damit eine natürliche Transformation $H: \pi^S(-) \longrightarrow \tilde{h}(-)$ - den stabilen Hurewicz-Homomorphismus. In dieser Sprache ist der Satz von Hattori - Stong dann folgendermaßen formulierbar: "Der Hurewicz-Homomorphismus $H: \pi_*^S(MU) \longrightarrow \tilde{K}_*(MU)$ ist ein spaltender Monomorphismus" .

Die Gruppe $\pi_n^S(\underline{\text{MU}})$ ist nach Definition gerade $\Omega_n^U(*)$ und das Bild einer Bordismusklasse unter H besteht aus einer "Ansammlung" von charakteristischen Zahlen – dies liefert den Zusammenhang zwischen dem Satz von Hattori – Stong und charakteristischen Zahlen. Wir benötigen ein analoges Resultat für das Thomspektrum MSO . Durch direktes Übertragen der Methoden aus [Ha] werden wir den folgenden Satz herleiten:

Satz 4.1 Der stabile Hurewicz-Homomorphismus

$$H : \pi_{\star}^{S}(\underline{MSO}) \otimes Z[1/2] \longrightarrow \widetilde{\kappa}_{\star}(\underline{MSO}; Z[1/2])$$

ist eine Bijektion auf einen direkten Summanden.

Mit $\underline{\underline{U}}$ soll das die K-Theorie definierende Spektrum bezeichnet werden. Damit ist auch $\Omega_{*}^{SO}(\underline{\underline{U}})$ definiert und man hat die bekannte Beziehung $\Omega_{*}^{SO}(\underline{\underline{U}}) = K_{*}(\underline{\underline{MSO}})$, die beim Beweis des Satzes von Hattori – Stong entscheidend eingeht.

Beweis von 4.1: Es sei wieder R = Z[1/2]In dem Diagramm,

$$\pi_{4n+4m} \text{(MSO (4m))} \otimes \mathbb{R} \stackrel{\cong}{\longrightarrow} \pi_{4n}^{S} \text{(MSO)} \otimes \mathbb{R} \stackrel{\cong}{=} \Omega_{4n}^{SO} (*) \otimes \mathbb{R} \stackrel{\cong}{\longleftarrow} \tilde{\Omega}_{4n+4k}^{SO} (s^{4k}; \mathbb{R})$$

$$\downarrow H_{m} \qquad \qquad \downarrow H \qquad \qquad \downarrow_{\kappa} H \qquad (4.2)$$

$$\tilde{K}_{4n+4m} \text{(MSO (4m); \mathbb{R})} \longrightarrow \tilde{K}_{4n} \text{(MSO; \mathbb{R})} \stackrel{\cong}{=} \Omega_{4n}^{SO} (\mathbb{U}; \mathbb{R}) \longleftarrow \tilde{\Omega}_{4n+4k}^{SO} (\mathbb{Z} \times \mathbb{B} \mathbb{U}; \mathbb{R})$$

in dem die horizontalen Abbildungen die kanonischen Homomorphismen in den direkten Limes sind, ist die die linke Seite nach Definition von H_m und H_m kommutativ. H wird induziert durch $\left[s^{4n+4m}, MSO\left(4m\right)\right] \longrightarrow \left[s^{4n+4m} s^k, MSO\left(4m\right) \land U_k\right]$

$$\mathbf{f} \qquad \longmapsto \quad \mathbf{f} \wedge \mathbf{i}_k$$

wobei $i_k \colon \overset{\circ}{S}^k \longrightarrow \overset{\circ}{U}_k$ die k-te Komponente der Spektrenabbildung $\overset{\circ}{S} \longrightarrow \overset{\circ}{U}$ ist. $i_{2k} \colon S^{2k} \longrightarrow \overset{\circ}{U}_{2k} = Z^{\times}BU$ entspricht unter $\widetilde{K}(S^{2k}) \overset{\circ}{=} \widetilde{K}(S^{0}) = K(*)$ der 2k-fachen Einhängung des Einselementes, ist also – das Vorzeichen je nach Konvention – das Bottelement in $\widetilde{K}(S^{2k})$. i_{4k} induziert $_k$ H. Damit stellt man sofort die Kommutativität des rechten Diagrammteils fest. Insbesondere ist $_k$ H ein $\Omega^{SO} \otimes R$ -Modul-Homomorphismus.

Der Beweis verläuft in zwei Schritten:

- a) Für n = o benutzt man die linke Seite des Diagramms (4.2) um zu zeigen: H ist ein Isomorphismus auf einen direkten Summanden.
- b) Für n > o folgt die Behauptung aus der Tatsache, daß $_{\bf k}^{\rm H}$ ein Ω \otimes R-Homomorphismus ist unter Verwendung von a), der rechten Diagrammseite und der Kenntnis der Ω_* -Struktur von Ω_* (Z×BU).

Da $\Omega_{4n} \otimes R$ ein endlich erzeugter freier R-Modul ist, genügt es zu zeigen, daß wenn $x \in \Omega_{4n} \otimes R$ nur durch $\pm 2^i$ teilbar ist, dies auch für H(x) gilt: $H(\Omega_{4n} \otimes R)$ liegt in einem endlich erzeugten direkten Summanden F von $\widetilde{K}_*(\underline{MSO})$ und die Teilbarkeitsbedingung impliziert die Torsionsfreiheit des Kokerns von H in F, aus der – wie für den Ring Z – die Freiheit von $F/H(\Omega_{4n} \otimes R)$ über R folgt.

Es sei $x \in \Omega_{4n}^{SO} \otimes R$ nur durch $\pm 2^i$ teilbar. Klar ist, daß, wenn $k^{H(x)} \in \widetilde{\Omega}_{4n+2k}(Z \times BU;R)$ für jedes k nur durch $\pm 2^i$ teilbar ist, dies auch für den Limes der $k^{H(x)}$, also für $k^{H(x)}$ gilt. Aus (4.2) folgt dann natürlich auch, daß die Homomorphismen

Zu a) $\Omega^{SO}_{o} \otimes R$ wird von 1 erzeugt. Wir zeigen $H_{k}(1)$ ist nur durch eine Potenz von \pm 2 teilbar.

 $1\in\Omega_{0}\otimes\mathbb{R}$ entspricht unter der Thom-Pontrjagin-Konstruktion $\Omega_{0}\otimes\mathbb{R}\stackrel{\cong}{=}\pi_{4n}(\text{MSO}(4n))\otimes\mathbb{R} \text{ der durch die Inklusion s: S}^{4n}\longrightarrow\text{MSO}(4n)$ gegebenen Abbildung. In $\widetilde{K}^{0}(\text{MSO}(4n);\mathbb{R})$ liegt die Thomklasse U_{L} des universellen 4n-Bündels über BSO(2n). Es folgt, wegen

$$< U_{L}, H_{n}(s) >_{K} = < U_{L}, s_{*}[s^{4n}]_{T} >_{K} = < s^{*}U_{L}, [s^{4n}]_{T} >_{K} = \pm 2^{2n}$$

daß $H_n(1)$, H(1) und auch $_kH(1)$ nur durch $\pm 2^i$ teilbar sind. b) Es sei k fest und $x \in \Omega_{4n} \otimes R(n>0)$ ein Element, das nur durch $\pm 2^i$ teilbar ist. Bekanntlich ist $\Omega_{\times} \otimes R$ eine Polynomalgebra über R und $\widetilde{\Omega}_{\times}(Z\times BU;R)$ ein freier graduierter $\Omega_{\times} \otimes R$ -Modul. Ist $\{q_i\}$ eine homogene $\Omega \otimes R$ -Modul-Basis von $\widetilde{\Omega}_{\times}(Z\times BU;R)$, dann läßt sich $_kH(1)\in \widetilde{\Omega}_{4k}(Z\times BU;R)$ als Linearkombination der q_i schreiben:

$$_{k}^{H(1)} = \sum_{i=1}^{s} q_{i}^{x} \text{ mit } x_{i} \in \Omega_{*} \otimes R$$

Die Elemente x_1,\ldots,x_s lassen sich gemeinsam nur durch Potenzen von ± 2 teilen, denn dies gilt für $_k$ H(1) nach a). $_k$ H ist ein Ω_* \otimes R Modulhomomorphismus, und das inpliziert

$$_{k}H(x) = _{k}H(1) \cdot x = \sum q_{i} \cdot x_{i} \cdot x$$

Teilt jetzt die Zahl d das Produkt x_{i_0} x, dann muß wegen der Voraussetzungen

an x und da $\Omega_* \otimes R$ eine Polynomalgebra ist, d das Element x_i teilen. Wird $_k^H(x)$ durch d geteilt, dann auch jedes der x_i x, somit alle x_i , und das impliziert, daß d eine Potenz von ± 2 ist.

Bemerkungen:

1) Wie in [Ha] folgt dann als Korollar von (4.1), daß jeder Homomorphismus $f \colon \Omega^{SO}_{4n} \otimes \mathbb{R} \longrightarrow \mathbb{R}$ durch ein Element x aus $K^*(BSO;\mathbb{R})$ als Auswertungsabbildung auf x gegeben wird:

$$f(M) = \langle g^* x, [M] \rangle_{\kappa}$$

(g = klassifizierende Abbildung des Normalenbündels von M).

2) Ebenso erhält man aus (4.1) einen Beweis für den in [St2] bewiesenen Satz, daß alle Relationen zwischen Pontrjaginzahlen einer orientierten n-dimensionalen Mannigfaltigkeit aus der Bedingung $< \operatorname{pk}_{\mathfrak{W}}(\mathtt{M}), \left[\mathtt{M}\right]_{S} >_{K} = < \operatorname{ch}\left(\operatorname{pk}_{\mathfrak{W}}(\mathtt{M})\right) \cup \widetilde{\mathtt{L}}\left(\mathtt{M}\right), \left[\mathtt{M}\right] >_{H} \quad \text{(und der Ganzzahligkeit der Pontrjaginzahlen) folgen.}$

Unser nächstes Ziel ist die Anwendung von (4.1) auf $\widetilde{\Omega}_*(BG)$.

Lemma 4.3 Es sei X ein CW-Komplex für den die Bordismusspektralsequenz mit Koeffizienten in R zusammenbricht. Dann brechen die Atiyah-Hirzebruch-Spektralsequenzen $H_*(X;K_*(*;R)) \implies K_*(X;R) \quad \text{und} \quad \tilde{H}_*(X,\tilde{K}_*(MSO;R)) \implies \tilde{K}_*(X_*MSO;R)$ ebenfalls zusammen.

Beweis: Der Thomhomomorphismus $\mu\colon\Omega_*(*)\otimes\mathbb{R}\longrightarrow K_*(*,\mathbb{R})$ wird auf den Koeffizienten durch die Signatur gegeben und ist daher surjektiv und spaltend. Mit der Natürlichkeit der Spektralsequenzen folgt die erste Behauptung aus der Surjektivität des durch μ auf den E^2 -Termen induzierten Homomorphismus $H_*(X;\Omega(*)\otimes\mathbb{R})\longrightarrow H_*(X;K_*(*;\mathbb{R}))$. Das \times -Produkt liefert einen Homomorphismus zwischen den Spektralsequenzen

 $\widetilde{H}_{\star}(X;K_{\star}(\star;R)) \otimes \widetilde{K}_{\star}(\underline{MSO};R) \implies \widetilde{K}_{\star}(X;R) \otimes \widetilde{K}_{\star} (\underline{MSO};R)$ und $\widetilde{H}_{\star}(X;K_{\star}(\underline{MSO};R)) \implies \widetilde{K}_{\star}(X_{\star}\underline{MSO};R)$. Da $K_{\star}(\underline{MSO};R)$ frei über R ist, induziert

dieses Produkt einen Isomorphismus und aus dem Zusammenbrechen der ersten Spektralsequenz folgt die zweite Behauptung.

Satz 4.4 Bricht für X die Bordismusspektralsequenz zusammen, dann ist der Hurewicz-Homomorphismus

$$H: \Omega_*(X;R) \longrightarrow \tilde{K}_*(X^{+} MSO;R)$$
 injektiv.

Beweis: H definiert einen Homomorphismus zwischen den jeweiligen Spektralsequenzen, der auf den E $_2$ -Termen vom Koeffizientenhomomorphismus $\Omega_* \otimes \mathbb{R} \longrightarrow K_*(MSO,\mathbb{R})$ induziert wird und wegen (4.1) dort spaltend injektiv ist. Mit (4.3) folgt $E^2 = E^\infty$ für beide Spektralsequenzen und damit die Injektivität von H.

Als nächstes soll H mit charakteristischen Zahlen in Verbindung gebracht werden.

Mit BSO^k werde eine Folge endlicher Skelette, die BSO approximieren, bezeichnet. Das Slantprodukt $K^*(BSO^k;R) \times K_*(BSO^k \times X;R) \xrightarrow{\searrow} K_*(X;R)$ definiert einen Homomorphismus

$$\omega: K_*(BSO \times X;R) \longrightarrow \underset{k}{\underline{lim}} Hom(K^*(BSO^k;R),K_*(X;R))$$

der in der Variablen X natürlich ist. Da $K_*(BSO^k;R)$ frei über R ist, folgt ω ist ein Isomorphismus. Zusammen mit dem universellen Thomisomorphismus erhält man einen Homomorphismus

$$T: \Omega_{\star}(X;R) \xrightarrow{H} \widetilde{K}_{\star}(X^{+}_{\wedge} \underset{\sim}{MSO};R) \stackrel{\cong}{=} K(X \times BSO;R) \xrightarrow{\omega} \underset{k}{\lim} Hom(K^{\star}(BSO^{k};R), K_{\star}(X;R))$$
(4.5)

der für X mit trivialer Bordismusspektralsequenz injektiv ist.

Die zu T adjungierte Abbildung (k genügend groß)

$$\widetilde{T}: \Omega_n(X;R) \times K^{\circ}(BSO^k;R) \longrightarrow K_n(X;R)$$

liefert normale-charakteristische Zahlen und läßt sich daher im wesentlichen

mit β_2 (§2) identifizieren.

Es sei $(M,f)\in\Omega_n(X)$ gegeben und $(\nu,\bar{\nu})$ die klassifizierende Abbildung des Normalenbündels N^k einer Einbettung von M^n in S^{n+k}

$$\begin{array}{ccc}
N & \xrightarrow{V} & E_{k} \\
\downarrow^{\pi_{N}} & & \downarrow^{\pi_{E_{k}}} \\
M^{n} & \xrightarrow{\overline{V}} & BSO(k)
\end{array}$$

Durch $(f \cdot \pi_N) \times V$ erhält man eine Abbildung

$$(\widetilde{f \circ \pi_N}) \times v : B(N)/S(N) \longrightarrow X^+ \wedge (B(E_k)/S(E_k))$$

und mit der kanonischen Abbildung $S^{n+k} \xrightarrow{j} B(N)/S(N)$ ein repräsentierendes Element g in $\pi_{n+k}^{+}(X_{\wedge}^{+}MSO(k))$. Betrachtet man das kommutative Diagramm

$$\widetilde{K}_{*}(S^{n+k};R) \xrightarrow{j_{*}} K_{*}(B(N),S(N);R) \xrightarrow{(f\circ\pi)\times\mathcal{P}^{*}} \widetilde{K}_{*}(X^{+}_{\wedge}MSO(k);R)$$

$$\downarrow \qquad \qquad \qquad \downarrow \qquad \qquad \downarrow$$

so folgt, daß $g_{_{\chi}}[s^{n+k}] \in \tilde{K}_{_{\chi}}(x_{_{\wedge}}^{+}MSO(k);R)$ durch $\phi_{E}^{-1}((f\times \bar{\nu})\circ \triangle)_{_{\chi}}[M]$ gegeben wird, denn $\phi_{N}j_{_{\chi}}[s^{n+k}]$ definiert gerade [M].

Andererseits ist $g_*[s^{n+k}]$ nichts anderes als das Bild von (M,f) unter dem Hurewicz-Homomorphismus. Daher gilt: $\phi_E^\circ H(M,f) = (f \times \bar{\nu})_{\star^\circ \triangle_\star}[M]$ und unter der Identifikation ω geht – wie das folgende kommutative Diagramm zeigt – dieses Element in den Homomorphismus $\mathbf{x} \longmapsto f_*(\bar{\nu}^*(\mathbf{x}) \wedge [M])$ über .

$$K^{*} (BSO) \otimes K_{*} (X \times BSO) \longrightarrow K_{*} (X)$$

$$\downarrow \overline{y}^{*} \qquad \qquad \uparrow f_{*}$$

$$K^{*} (M) \otimes K_{*} (M \times M) \longrightarrow K (M)$$

$$\parallel \qquad \qquad \uparrow f_{*}$$

$$K^{*} (M) \otimes K_{*} (M) \longrightarrow K (M)$$

Auf BSO gibt es eine Involution i die Normalen- in Tangentialbündel überführt, so daß der Übergang von normalen- zu tangentialen charakteristischen Zahlen keine Schwierigkeiten bereitet. Wählt man die Thomisomorphismen mit der Thomklasse U_S (§2), so zeigt (2.17), daß Hom(i,id) \circ T zu β_2 adjungiert ist. Ist G eine zyklische Gruppe ungerader Ordnung, so ist die Bordismusspektralsequenz für BG trivial und es folgt:

- Korollar 4.8 Die Atiyah-Singer-v-Invarianten bestimmen für eine zyklische Gruppe ungerader Ordnung die Bordimusklassen freier G-Mannig-faltigkeiten in $\widehat{\Omega}$ (G) .

Bemerkungen:

- 1) $\Omega_* \otimes R \longrightarrow H_*(\underline{MSO};R)$ ist ebenfalls injektiv, jedoch nicht spaltend. Nur in dem Dimensionsbereich 2n-1 < 2p-2 erhält man einen spaltenden Monomorphismus $H_*(BZ_p;\Omega_*) \longrightarrow H_*(BZ_p;H_*(MSO))$.
- 2) Der Moore-Raum $M(p) = e^2 v_p s^1$ ist das 2-Skelett von BZ_p und daher ist der Hurewicz-Homomorphismus

$$\Omega_{\star}(\star; \mathbf{Z_p}) \ = \ \widehat{\Omega}_{\star}(\mathtt{M}(\mathbf{p})) \ \longrightarrow \ \widetilde{\mathtt{K}} \ (\ \underline{\mathtt{MSO}} \wedge \mathtt{M}(\mathbf{p})) \ = \ \widetilde{\mathtt{K}}_{\star}(\ \underline{\mathtt{MSO}}; \mathbf{Z_p})$$

injektiv. Im Gegensatz zu gewöhnlichen – mod p-Pontrjaginzahlen bestimmen daher K(; Z_p)-Pontrjaginzahlen die Bordismusklassen mit Z_p -Koeffizienten. Insbesondere kann man für die Elemente aus $\Omega(*,Z_p)$, die durch Mannigfaltigkeiten mit Singularitäten repräsentiert werden und denen man eine Signatur in Z_p zuordnen kann (siehe [M-S]) eine Signaturformel mit diesen Pontrjaginzahlen herleiten.

§ 5 Die Isomorphie $\psi: K_1 \xrightarrow{(BG)} S_a^{-1} R(G)/R(G)$

In diesem Paragraphen sollen die Natürlichkeitseigenschaften der Bijektion ψ untersucht werden. Entscheidend ausnutzen werden wir den Umstand, daß für die v-Invariante α_Z die Interpretation durch die äquivariante Signatur, d.h. das Anheben zu einer C-wertigen Invarianten, möglich ist.

Durch ψ lassen sich die von Gruppenhomomorphismen $\varphi\colon G\to H$ induzierten Homomorphismen $(B\varphi)_*: K_1(BG) \to K_1(BH)$ im Rahmen der Darstellungstheorie beschreiben. Solange φ eine Inklusion ist, ist $B\varphi$ eine Überlagerung und man kann diese Beschreibung auch direkt herleiten. Das scheint für eine Projektion $\varphi\colon G\to G/H$ wegen der Kompliziertheit der Abbildung $B\varphi$ nicht möglich zu sein (siehe [v-1], wo ein erster Versuch unternommen wurde $B\pi_*\colon K_*(BZ_p)\to K_*(BZ_{p'})$ zu berechnen).

Es seien G und H endliche abelsche Gruppen. Ein Gruppenhomomorphismus $\phi: H \to G$ definiert nicht nur den Ringhomomorphismus $\phi^*: R(G) \to R(H)$, sondern auch einen Gruppenhomomorphismus $\phi^{\overline{i}}: R(H) \to R(G)$, der im folgenden der zu ϕ gehörende Umkehrhomomorphismus genannt werden soll. Ist $\phi: H \to G$ die Inklusion einer Untergruppe, so ist $\phi^{\overline{i}}(x)$ für $x \in R(H)$ die bekannte induzierte Darstellung von x. Für eine Projektion $p: H \to G$ ist Ker(p)=U ein Normalteiler, $G \cong H/U$ und $p^{\overline{i}}$ wird durch Einschränkung auf die Fixpunktmenge unter $U \to W \to W^U$ (W^U mit der kanonischen G-Operation) definiert (siehe [H3]) . Die Definition der induzierten Darstellung ist auch auf den Fall eines Isomorphismus $\phi: H \to G$ anwendbar; man erhält $\phi^{\overline{i}} = \phi^{*-1}$. Damit ist ϕ für alle Gruppenhomomorphismen definiert; es gibt natürlich $(\phi \circ \psi)^{\overline{i}} = \phi^{\overline{i}} \circ \psi^{\overline{i}}$. Der Darstellungsring R(G) ist ein Unterring der zentralen Funktionen Z(G) auf G, und Homomorphismen wie ϕ^* und $\phi^{\overline{i}}$ lassen sich kanonisch zu Homomorphis-

Lokalisiert man R(G) nach $S_G = \{ (reg_G - |G|)^i | i \ge 1 \}$, so kann man die Elemente

men zwischen Z(G) und Z(H) erweitern.

von $S_G^{-1}R(G)$ auf allen Gruppenelementen außer der 1 auswerten, und so $S_G^{-1}R(G)$ in $\overline{Z(G)}:=Z(G)\setminus (G-\{1\})$ – die zentralen Funktionen von G auf G-{1} eingeschränkt – abbilden. Die Einschränkung $Z(G)\longrightarrow \overline{Z(G)}$ hat als Kern das von der regulären Darstellung erzeugte Ideal, so daß nach (1.12) der Homomorphismus $S_G^{-1}R(G)\longrightarrow \overline{Z(G)}$ injektiv ist.

Ein Homomorphismus $\phi\colon R(G) \longrightarrow R(H)$, der die Bedingung

$$\phi((reg_G)) \subset (reg_H) \tag{5.1}$$

erfüllt, läßt sich kanonisch zu einem Homomorphismus $\overline{\varphi}\colon \overline{Z(G)} \longrightarrow \overline{Z(H)}$ erweitern. Teilt |G| die Ordnung von H - wie bei der induzierten Darstellung einer Untergruppe - so bildet $\overline{\varphi} : S_G^{-1}R(G)$ in $S_H^{-1}R(H)$ ab, und man hat einen Homomorphismus $S(\varphi)\colon S_G^{-1}R(G)/R(G) \longrightarrow S_H^{-1}R(H)/R(H)$ definiert. Anderenfalls liegt das Bild von $S_G^{-1}R(G)$ in $S_H^{-1}R(H) \otimes Z[1/s]$ - wo s der zu |H| relativ prime Teil von |G| ist. Über

$$\frac{S_{H}^{-1}R(H) \otimes Z[1/s]}{R(H) \otimes Z[1/s]} \longrightarrow S_{H}^{-1}R(H)/R(H)$$

erhält man auch in diesem Fall einen Homomorphismus $S\left(\varphi\right):\ S_{G}^{-1}R\left(G\right)/R\left(G\right)\ \longrightarrow\ S_{H}^{-1}R\left(H\right)/R\left(H\right)\ .$

Es seien jetzt G und H zyklisch.

Umkehrhomomorphismen ϕ^{5} und die von Gruppeninklusionen induzierten Homomorphismen i* erfüllen die Bedinung (5.1) . Für diese Homomorphismen zeigen wir noch, daß $S(\phi)$ die Untergruppen $S_{a}^{-1}R(G)/R(G)$ in $S_{a}^{-1}R(H)/R(H)$ überführt.

Zunächst zu einer Inklusion $i: G \to H$ $(R(G) = Z[\rho_G]/(\rho_G^{|G|} - 1))$ a) wegen $i^*\rho_H = \rho_G^r$ - wo ρ_G^r R(G) erzeugt - und der Gleichung $s \cdot i^{\intercal}(x) = i^{\intercal}(x \cdot i^*(s))$ führt i^{\r} die Untergruppe $\{ x \in S_G^{-1}R(G) | \bigvee_{s \in S_\alpha} s \cdot x \in \overline{R(G)} \}$ in $\{ x \in S_H^{-1}R(H) | \bigvee_{s \in S_\alpha} s \cdot x \in \overline{R(H)} \}$ über. Die Menge $\{ x \in S_H^{-1}R(H) | \bigvee_{s \in S_\alpha} s \cdot x \in \overline{R(H)} \}$ besteht aber gerade aus der Untergruppe $S_\alpha^{-1}R(H)$ von $S_H^{-1}R(H)$.

b) Für $S(i^*)$ ist diese Behauptung trivial.

c) Es sei jetzt $\pi\colon G\longrightarrow H$ eine Projektion. π induziert einen Homomorphismus $\prod\limits_{P}(\pi_p)\colon \prod\limits_{P \text{ prim}} G_p \longrightarrow \prod\limits_{P \text{ prim}} H_p$ zwischen den Primkomponenten. Wegen $S_a^{-1}R(G_p)=S_{G_p}^{-1}R(G_p)$ (nach (3.6)) führt $S(\pi_p^{\underline{v}})$ $S_a^{-1}R(G_p)$ in $S_a^{-1}R(H_p)$ über.

Für eine zyklische Gruppe H ist $\sum_p S(i_p^{\frac{q}{2}}): \sum_p S_a^{-1}R(H_p)/R(H_p) \longrightarrow S_a^{-1}R(H)/R(H)$ ein Isomorphismus, wie man entweder direkt nachrechnet, oder durch Vergleich beider Seiten mit $K_1(BH) \cong \sum_p K_1(BH_p)$ einsieht (unter Verwendung der weiter unten bewiesenen Natürlichkeit von Ψ bezgl. Inklusionen). Die Isomorphie $K_1(BH) \cong \sum_p K_1(BH_p) \cong K_1(V_pBH_p)$ folgt sofort durch Vergleich der beiden Atiyah-Hirzebruch-Spektralsequenzen. Aus dem kommutativen Diagramm

$$\sum_{p} s_{\mathbf{a}}^{-1} R(H_{\mathbf{p}}) / R(H_{\mathbf{p}}) \xrightarrow{\Xi} S(\iota_{p}^{\xi}) \longrightarrow s_{\mathbf{a}}^{-1} R(H) / R(H)$$

$$\downarrow \qquad \qquad \qquad \downarrow \qquad \qquad \downarrow \qquad \qquad \downarrow$$

$$\sum_{p} s_{H_{p}}^{-1} R(H_{p}) / R(H_{p}) \xrightarrow{\Xi} S(\iota_{p}^{\xi}) \longrightarrow s_{H}^{-1} R(H) / R(H)$$

folgt, daß die Untergruppe $S_a^{-1}R(H)/R(H)$ von $S_H^{-1}R(H)/R(H)$ aus Bild $\sum_p S(i_p^r)$ besteht und daher aus Natürlichkeitsgründen die Behauptung. Zusammengefaßt ist damit gezeigt:

Lemma 5.2 a) Ein Gruppenhomomorphismus $\phi\colon G\longrightarrow H$ endlicher zyklischer Gruppen induziert auf kanonische Weise einen Homomorphismus

$$S(\phi^{\Upsilon}): S_a^{-1}R(G)/R(G) \longrightarrow S_a^{-1}R(H)/R(H)$$

b) Die Inklusion einer Untergruppe $i: G \longrightarrow H$ induziert einen Homomorphismus

$$S(i^*): S_a^{-1}R(H)/R(H) \longrightarrow S_a^{-1}R(G)/R(G)$$

Als nächstes stellen wir fest, wie sich die $\alpha\text{-Invariante}$ unter diesen Transformationen verhält.

a) Es sei i: H \longrightarrow G die Inklusion einer Untergruppe und X eine freie

H-Mannigfaltigkeit. Dann ist $G \times_H^X$ mit der üblichen Diagonaloperation eine freie G Mannigfaltigkeit.

Lemma 5.3
$$\alpha(-,G\times_{H}^{\times}X) = \overline{i^{?}}\alpha(-,X) \quad (\alpha(-,X) \in \overline{Z(H)})$$

Beweis: Es sei Y eine freie H-Mannigfaltigkeit mit $\partial Y = n \cdot X$ und dim Y = O(4). G_H^X zerfällt in G/H Komponenten Y_{\xi} (\xi \in G/H), so daß $H^*(G_{H}^X;\mathbb{R}) = \sum_{\xi} H^*(Y_{\xi};\mathbb{R})$. Zur Definition der äquivarianten Signatur von G_{H}^X wählt man auf $H^*(G_{H}^X;\mathbb{R})$ ein G-invariantes inneres Produkt <,> und definiert den linearen Operator A durch die Gleichung <a,Ab> = B(a,b) (B = Schnittform). Es gilt $B = \sum_{\xi} B | H^*(Y_{\xi};\mathbb{R})$, A führt die $H^*(Y_{\xi};\mathbb{R})$ in sich über und <,> $| H^*(Y_{\xi};\mathbb{R})$ ist ein inneres Produkt. Bezeichnet $H^*(G_{H}^X;\mathbb{R})^+$ die Summe der zu positiven Eigenwerten von A gehörenden Eigenräume, dann gilt $H^*(G_{H}^X;\mathbb{R})^+$ $H^*(Y_{\xi};\mathbb{R}) = H^*(Y_{\xi};\mathbb{R})^+$ und damit $H^*(G_{H}^X;\mathbb{R})^+ = \sum_{\xi} H^*(Y_{\xi};\mathbb{R})^+$. G permutiert die $H^*(Y_{\xi};\mathbb{R})^+$ transitiv und daher folgt nach [Se] (Aussage 12), daß $H^*(G_{H}^X,\mathbb{R})^+$ die von $H^*(Y_{H};\mathbb{R})^+ = H^*(Y_{\xi};\mathbb{R})^+$ induzierte Darstellung ist. Es folgt sign(-, G_{H}^X) = i^{\dagger} sign(-,Y) und damit die Behauptung. Analog ist der Fall dem $Y \equiv 2$ (4) zu behandeln.

b) Es sei i: $H \longrightarrow G$ wie oben. Ist X eine freie G-Mannigfaltigkeit, dann ist X mit eingeschränkter Operation eine freie H-Mannigfaltigkeit, die mit $i^{\times}X$ bezeichnet werden soll. Aus den Definitionen folgt dann sofort

$$\alpha \left(-, i^* X \right) = \overline{i}^* \alpha \left(-, X \right) \tag{5.4}$$

c) Für eine Projektion $\pi\colon G\longrightarrow G/U=H$ ist der Quotient X/U einer freien G-Mannigfaltigkeit X eine freie H-Mannigfaltigkeit.

In [H 3] wird bewiesen (dort $\pi^9 = p$)

$$\alpha \left(-, X/U \right) = \overline{\pi}^{y} \alpha \left(-, X \right) \tag{5.5}$$

Insbesondere gelten somit die Gleichungen

$$\alpha_{Z}(Gx_{H}X) = S(i^{?})\alpha_{Z}(X)$$
 (5.6)

$$\alpha_Z(i^*X) = S(i^*)\alpha_Z(X)$$

$$\alpha_{Z}(X/U) = S(\pi^{\frac{q}{2}})\alpha_{Z}(X)$$

Jeder Gruppenhomomorphismus $\phi \colon H \longrightarrow G$ definiert eine stetige Abbildung $B\phi \colon BH \longrightarrow BG$ und damit Homomorphismen $\Omega_{\star}(B\phi) \colon \Omega_{\star}(BH) \longrightarrow \Omega_{\star}(BG)$, $K_{\star}(B\phi) \colon K_{\star}(BH) \longrightarrow K_{\star}(BG)$

a) Ist $\phi: H \longrightarrow G$ eine Inklusion, so wird $\Omega_{\bullet}(\phi)$ in [C-f-1] explizit beschrieben: $\Omega_{*}(B\phi) (H,X) = (G,G^{\times}_{H}X)$

Wie bei der induzierten Darstellung läßt sich diese Konstruktion auf injektive Gruppenhomomorphismen erweitern.

- b) Die Inklusion $\phi \colon H \longrightarrow G$ induziert nach $[C-F \ 1]$ den Transferhomomorphismus $t_{\Omega} \colon \Omega(BG) \longrightarrow \Omega(BH)$, der durch $t_{\Omega}(G,X) = (H,X) = \phi^*(G,X)$ beschrieben wird.
- c) Für eine Projektion $\pi\colon G\longrightarrow G/U$ erhält man

Lemma 5.7 $\Omega_*(B\pi)(G,X) = (G/U,X/U)$

Beweis: Es sei f: $X/G \longrightarrow BG$ die klassifizierende Abbildung von (G,X).

B π induziert über BG aus dem universellen G/U-Bündel das G/U-Prinzipalbündel

B $U \longrightarrow BG$, daher ist $(B\pi)_*(G,X)$ das G/U-Prinzipalbündel $f^*(BU \to BG) = X/U \to X/G$.

Aus den Formeln (5.6) folgt damit

Satz 5.8 1) Für einen Gruppenhomomorphismus $\phi: G \longrightarrow H$ endlicher zyklischer Gruppen und $(G,X) \in \widetilde{\Omega}(BG)$ gilt

$$\alpha_{Z}(\Omega_{*}(B\phi)(G,X)) = S(\phi^{?})\alpha_{Z}(X)$$

2) Für eine Inklusion $\phi \colon G \longrightarrow H$ mit Transfer $t \colon \Omega(BH) \longrightarrow \Omega(BG)$ und $(H,X) \in \widetilde{\Omega}(BH)$ gilt

$$\alpha_{Z}(t(H,X)) = S(\phi^*)\alpha_{Z}(X)$$

Damit sind wir in der Lage, $K_*(B\phi): K_1(BG) \longrightarrow K_1(BH)$ zu beschreiben

Satz 5.9 Für einen Homomorphismus $\phi \colon G \longrightarrow H$ zyklischer Gruppen ungerader Ordnung gilt $\psi_H^K{}_*(B\phi) = S(\phi^{7})\psi_G^{}$

Beweis:

Im Diagramm:

$$\widetilde{\Omega}_{\times}(BG) \xrightarrow{\mu_{G}} K_{1}(BG) \xrightarrow{\widetilde{\gamma}_{G}} S_{a}^{-1}R(G)/R(G)$$

$$\downarrow \Omega_{\times}(B\Phi) \qquad \qquad \downarrow K_{1}(B\Phi) \qquad \qquad \downarrow S(\Phi^{!})$$

$$\widetilde{\Omega}_{\times}(BH) \xrightarrow{\mu_{H}} K_{1}(BH) \xrightarrow{\widetilde{\gamma}_{H}} S_{a}^{-1}R(H)/R(H)$$
(5.10)

ist das erste Quadrat nach Definition von μ und das äußere Rechteck nach (5.8) und (3.3) kommutativ $(\psi_G\mu_G(X,G)=-\alpha_Z(X,G))$. Deshalb ist auf Bild (μ_G) der Homomorphismus $K_{\times}(\phi)$ durch $S(\phi^{\S})$ gegeben und die Behauptung folgt aus der Aussage:

Für zyklische Gruppen ungerader Ordnung ist μ surjektiv.

Es gilt $\widetilde{\Omega}_*(BG;Z[1/2]) = \widetilde{\Omega}_*(BG)$, analog für K_1 . Der Thomhomomorphismus $\mu\colon\Omega_*(X;Z[1/2])\longrightarrow K_*(X,Z[1/2])$ ist jedoch immer surjektiv (Beweis wie für U_* in [C-F 3]). Direkt kann man die Surjektivität von μ für X=BG auch mit Hilfe der Atiyah-Hirzebruch-Spektralsequenzen für Ω_* und K_* nachweisen: solange diese trivial sind, ist μ surjektiv, denn μ ist auf den Koeffizienten spaltend surjektiv.

Eine analoge Aussage erhält man für den Transfer (dazu gehört auch der Smith-Homomorphismus). Ist $\phi\colon H\longrightarrow G$ eine Inklusion, dann wird der zu ϕ gehörende Transfer $\phi_{\overline{i}}\colon K_1(BG)\longrightarrow K_1(BH)$ von den Umkehrhomomorphismen $\phi_{\overline{i}}\colon K_1(L^n(|G|))\longrightarrow K_1(L^n(|H|))$ induziert. Der Smithhomomorphismus wird von den zu der Inklusion $i\colon L^n(|G|) \hookrightarrow L^{n+1}(|G|)$ gehörenden Umkehrhomomorphismen – die mit den i_* vertauschbar sind und daher einen Homomorphismus im direkten Limes definieren – induziert. Es ist unmittelbar klar, wie $\phi_{\overline{i}}$ durch $S(\phi^*)$ beschreibbar ist.

Für G = \mathbb{Z}_2^i ist die angegebene Schlußweise nicht anwendbar, da μ nicht surjektiv ist.

Für Inklusionen kann man jedoch die Behauptung aus (5.9) direkt nachweisen – man siehe etwa [Kn] und [A-2] – so daß man von einer zyklischen Gruppe immer den 2-Torsionsanteil abspalten kann, ohne die Natürlichkeit von ψ zu verlieren.

§ 6 K-Theorie mit Koeffizienten

In diesem Paragraphen sollen einige später benötigte Tatsachen für die K-Theorie mit Koeffizienten zusammengestellt werden.

Mit { U_n } bezeichnen wir wieder das Spektrum der K-Theorie $U_{2n} = Z \times BU$, $U_{2n+1} = U$.

Zu einer abelschen Gruppe G gibt es einen Moore-Raum M(G,n) vom Typ $n \ge 1$, d.h. M(G,n) ist ein einfachzusammenhängender CW-Komplex mit

$$\widetilde{H}_{n}(M(G,n);Z) = G \text{ und } \widetilde{H}_{k}(M(G,n);Z) = O \text{ für } k \neq n$$
.

Das Spektrum $(U_G)_m:=U_{m-n}\wedge M(G,n)$ definiert dann die K-Theorie mit Koeffizienten in G

$$K_{i}(X,A;G) = \underset{m}{\underline{\lim}} \left[S^{m+i}, \underbrace{U_{m-n}} M(G,n) \wedge (X/A) \right]_{*} \cong \widetilde{K}_{i+n}((X/A) \wedge M(G,n))$$
 (6.1)

$$K^{i}(X,A;G) = \underset{m}{\underline{\lim}} \left[S^{m-i}(X/A), U_{m-n} \wedge M(G,n) \right]_{*}$$
(6.2)

In den hier vorkommenden Fällen $G = \mathbb{Q}$, \mathbb{Q}/\mathbb{Z} , $\mathbb{Z}\begin{bmatrix}1/P\end{bmatrix}/\mathbb{Z}$, \mathbb{Z}_p hat man Kofasersequenzen zwischen den Moore-Räumen; etwa für $M(\mathbb{Z}_p,1) = S^1 \cup_p e^2$

$$s^1 \xrightarrow{xp} s^1 \xrightarrow{r} M(Z_{p}, 1) \xrightarrow{pr} s^2 \xrightarrow{xp} s^2 \longrightarrow M(Z_{p}, 2) \longrightarrow (6.3)$$

Diese Sequenzen liefern die zugehörigen Bocksteinsequenzen

$$\longrightarrow K^{i}(X) \xrightarrow{xp} K^{i}(X) \longrightarrow K^{i}(X;Z_{p}) \longrightarrow K^{i+1}(X) \longrightarrow$$

aus denen man die universellen Koeffizientensätze ablesen kann

$$0 \longrightarrow K^{n}(X) \otimes Z_{p} \longrightarrow K^{n}(X;Z_{p}) \longrightarrow Tor(K^{n+1}(X),Z_{p}) \longrightarrow 0$$

Das Spektrum Ü ist multiplikativ und in bestimmten Fällen läßt sich mittels Abbildungen zwischen den Moore-Räumen, eine multiplikative Struktur für die K-Theorie mit Koeffizienten einführen.

a) Immer hat man die sogenannten Modulmultiplikationen: z.B.

$$K^*(X;G) \otimes K^*(X) \xrightarrow{U} K^*(X;G)$$
 (6.4)

$$K^*(X;G) \otimes K_*(X) \xrightarrow{\cap} K_*(X;G)$$
 (6.5)

Als Beispiel soll (6.5) definiert werden:

 $x \in K^{i}$ (X;G) werde durch eine Abbildung f: $S^{m-i} \times X^{+} \longrightarrow U_{m-n} \wedge M(G,n)$ und $y \in K_{j}(X)$ durch g: $S^{k+j} \longrightarrow U_{k} \wedge X^{+}$ repräsentiert.

Aus g erhält man durch Einhängen, Vertauschen von Faktoren und Diagonalabbildung die Abbildung

$$s^{m-i} s^{k+j} \longrightarrow \underline{\underline{u}_{k}} s^{m-i} x^{+} x^{+} \qquad \text{die mit } 1_{\underline{u}} f_{\lambda} 1_{\underline{x}}$$

komponiert wird. Daraus erhält man mittels der Multiplikationsabbildung für $\underline{\underline{U}}_{k}$, $\underline{\underline{U}}_{l}$ einen Repräsentanten

$$s^{m+k+j-i} \longrightarrow U_{m+k-\hat{n}} M(G,n) \wedge X^{+} \text{ für } x \wedge y \in K_{j-i}(X;G)$$

Durch $\langle x,y \rangle_{K} = pr_{*}(x \wedge y)$ erhält man ein Kroneckerprodukt

$$\langle , \rangle_{K} : K^{i}(X;G) \times K_{j}(X) \longrightarrow K_{i-j}(*;G)$$

Für weitere Eigenschaften und Beweise sei auf [A - T] verwiesen.

b) Produkte zwischen den K-Gruppen mit Koeffizienten erhält man durch Abbildungen $M(G,n) \wedge M(G,n) \longrightarrow M(G,n+m)$ - von denen es i.A. jedoch mehrere verschiedene Homotopieklassen geben kann. Die resultierenden Produkte sind nicht immer assoziativ und kommutativ, insbesondere bei Anwesenheit von 2-Torsion in G. Beschränkt man sich, wie wir das im folgenden tun werden, auf zyklische Koeffizientengruppen ungerader Ordnung q, dann gibt es immer eine Abbildung $\alpha \colon M(Z_q,2) \wedge M(Z_q,2) \longrightarrow M(Z_q,4) = M(Z_q,2) \wedge S^2$, so daß das folgende Diagramm stabil bis auf Homotopie kommutiert:

$$M_{q} \wedge M_{q}$$

$$M_{q} \wedge S^{2} = M_{q} \wedge S^{2}$$

$$(M_q: = M(Z_q, 2), r \text{ aus } (6.3))$$

Die Zusammensetzung

$$\mu_q\colon \ (\c U_{n-2}\ ^{\wedge}\ M_q)\ ^{\wedge}\ (\c U_{m-2}\ ^{\wedge}\ M_q)\ \longrightarrow\ (\c U_{m-2}\ ^{\wedge}\ U_{m-2})\ ^{\wedge}\ (\c M_q\ ^{\wedge}\ M_q)\ \stackrel{\mu_{\wedge}\ ^{\wedge}}{\longrightarrow}\ U_{n+m-4}\ ^{\wedge}\ S^2\ ^{\wedge}\ M_q\ \longrightarrow\ U_{n+m-2}\ ^{\wedge}\ M_q$$

liefert eine Paarung von Spektren und damit Produkte für $K(-;Z_q)$. Bei geeigneter Wahl von α ist die Multiplikation auf $K(-;Z_q)$ assoziativ, kommutativ und mit der Reduktion $r:K(-;Z)\longrightarrow K(-;Z_q)$ verträglich, insbesondere ist r(1) ein Einselement für $K^*(-;Z_q)$.

Für eine Primzahl $p \neq 2$ ist $K(-;Z_p)$ ein Z_p -Vektorraum und das Kroneckerprodukt <, >: $K^*(-;Z_p) \times K_*(-;Z_p) \longrightarrow Z_p$ ist eine nichtentartete Paarung.

Da der Moore-Raum $M_q = e^3 v_p S^2$ dual zum Komoore-Raum $W(q,2) = e^2 v_p S^1$ ist, - es gibt eine Dualitätsabbildung $u: M_q \wedge W(q,2) \longrightarrow S^4$ - kann mann die Koeffizienten Z_q für K^* auch durch die Definition

$$\kappa^{n}(x,A;Z_{q}) := \tilde{\kappa}^{n+2}((x/A) \wedge W(q,2))$$

einführen. Eine Abbildung $\alpha': S^2W(q,2) \longrightarrow W(q,2) \wedge W(q,2)$ induziert dann die Produkte. Die Dualitätsabbildung u liefert eine Bijektion

 $\{ \ X \ \land \ W(q,2) \ , \ Y \ \} \longrightarrow \{ \ X \ , \ Y \ \land \ M_q \} \ \text{und damit eine natürliche Äquivalenz}$ zwischen den mit Moore- und Komoore-Räumen definierten K-Gruppen mit Koeffizienten. Wird α' dual zu α gewählt, ist diese Äquivalenz mit den Produkten verträglich (siehe [J]).

Es sei p eine ungerade Primzahl.

Ist X ein CW-Komplex mit $H^{\mathbf{r}}(X;\mathbb{Z})=0$ für $r\geqslant 2p$, so benötigt man zur Definition des Cherncharakters statt Q- nur $\mathbb{Z}_{(P)}$ -Koeffizienten ($\mathbb{Z}_{(P)}=\mathbb{Z}$ lokalisiert bei p).

$$\widetilde{\operatorname{ch}}_{r}^{\operatorname{ev}}: K^{\circ}(X) \longrightarrow H^{2r}(X; \mathbb{Z}_{(p)})$$
 $0 \le r \le p-1$

Für die ungeraden Dimensionen wird

$$\widetilde{\operatorname{ch}}_{r}^{\operatorname{od}}: K^{1}(X) \longrightarrow H^{2r-1}(X;Z_{(p)})$$
 $1 \leq r \leq p$

über den Suspensionsisomorphismus durch $\widehat{\operatorname{ch}}_{r+1}^{\operatorname{ev}}$ definiert. Bei $\widehat{\operatorname{ch}}_{p}^{\operatorname{od}}$ ist ein Extra-Argument nötig: Aus dem Verschwinden aller cup-Produkte auf $\operatorname{H}^*(X_{\wedge}S^1;Z_{(p)})$ und der bekannten Newton-Identität für symmetrische Polynome folgt, daß man ohne Nenner p auskommt.

Es ist klar, daß \widetilde{ch} ein Ringhomomorphismus ist. Für das folgende sei X ein CW-Komplex mit $H^{r}(X;Z)=0$ für $r\geqslant 2p-2$. X
ightharpoonup P erfüllt dann die obige Dimensionsvoraussetzung, so daß

$$\widetilde{\operatorname{ch}} : \widetilde{K}^* (X_{\wedge}^+ M_p) \longrightarrow \widetilde{H}^* (X_{\wedge}^+ M_p; Z_{(p)}) \cong \widetilde{H}^* (X_{\wedge}^+ M_p)$$

erklärt ist. Der damit definierte mod-p-Cherncharakter $\overline{\operatorname{ch}}: K(X; Z_p) \longrightarrow \operatorname{H}^*(X; Z_p)$ ist ein Ringisomorphismus. Dies läßt sich etwa durch Induktion über den Zellenaufbau von X leicht nachprüfen.

 $\overline{\text{ch}}$ läßt sich verwenden, um auf einer orientierten Mannigfaltigkeit B mit dim B \leq 2p-3 das Kroneckerprodukt

$$<,> : K^*(B;Z_p) \otimes K_*(B) \longrightarrow K_*(*,Z_p)$$

durch $H^*(B;Z_p)$ -Kroneckerprodukte zu berechnen.

Satz 6.6 Es sei p eine ungerade Primzahl und B eine orientierte Mannigfaltigkeit mit dim B \leqslant 2p-3 . Dann gilt

$$< x, [B]_S >_{K(;Z_p)} = < \overline{ch} \psi^2(x) \cup L(TB), [B] >_{H(;Z_p)}$$

Beweis: Wir führen den Beweis nur für dim B = 2n aus, der Beweis für ungerade Dimension verläuft ähnlich.

 $\begin{array}{lll} & \text{sei in } s^{2n+2q} \text{ mit orientiertem Normalenbündel } \nu \text{ ungebettet und} \\ & \text{j: } s^{2n+2q} \longrightarrow \text{M(ν)} & \text{die kanonische Abbildung. Das Kroneckerprodukt} \\ & < \text{x,} \left[\text{B}\right]_{\text{S}} \ >_{\text{K}} = < \text{x,} \text{U(ν)} \land \ \text{j}_{\star} \left[\text{s}^{2n+2q}\right] >_{\text{K}} = < \text{j}^{\times} \left(\text{x$$\tilde{\nu}$U($\nu$)}\right), \left[\text{s}^{2n+2q}\right] >_{\text{K}} \text{ ist durch} \\ & \text{das Element } \ \text{j}^{\times} \left(\text{x$\tilde{\nu}$U(ν)}\right) \in \widetilde{\text{K}} \left(\text{s}^{2n+2q}\right) \text{ festgelegt.} \end{array}$

Für ein Bündel ξ über einem (2q-1) zusammenhängenden Raum X hat Adams in [Ad 5] charakteristische Klassen $\operatorname{ch}_{q,r}(\xi)\in\operatorname{H}^{2q+2r}(X;Z)$ definiert, die unter dem Koeffizientenhomomorphismus auf $\operatorname{m}(r)\cdot\operatorname{ch}_{q+r}(\xi)$ abgebildet werden $(\operatorname{m}(r)=\operatorname{\Pi}_{p_{prim}}p^{\lceil r/(p-1)\rceil}) .$

 $\text{Auf S}^{2n+2q} \underset{\wedge}{\text{M}}_{p} \text{ ist daher } \text{ch}_{n+q,0} \text{ definiert. Aus den in [Ad 5] aufgeführten }$

Eigenschaften der Klassen ch folgt (Koeffizienten in $Z_{(p)}$, $\overline{U} = Modulprodukt$):

$$\operatorname{ch}_{n+q,0}(j^{*}(x \circ U(v))) = \frac{1}{m(n)} j^{*} \operatorname{ch}_{q,n}(x \circ U(v))$$

U(V) und x lassen sich aus Klassen in $\widetilde{K}(MU(q))$ bzw. K(BU) induzieren. Da $H^*(BU)$ und $H^*(MU(q))$ torsionsfrei sind, ist auf $BU \wedge MU(q)$ ch $_{q,r}/m(r)$ durch ch $_{q+r}$ eindeutig bestimmt. Daher gilt in $\widetilde{H}^{2q+2n}(BU \wedge MU(q); \mathbb{Z}_{(p)})$ die Produktformel

$$\frac{\operatorname{ch}_{q,n}(a \times b)}{m(n)} = \sum_{i+j=n} \frac{\operatorname{ch}_{0,i}(a)}{m(i)} \times \frac{\operatorname{ch}_{q,j}(b)}{m(j)}$$
 (n < p-1)

Insgesamt:

$$\mathrm{ch}_{\mathrm{n+q,0}}(\mathrm{j}^*(\mathrm{x}\,\bar{\mathrm{u}}\,\mathrm{U}(\mathrm{v})) = \mathrm{j}^*(\sum_{\mathrm{i+j=n}} \frac{1}{\mathrm{m}(\mathrm{i})} \cdot \mathrm{ch}_{\mathrm{q,i}}(\mathrm{U}(\mathrm{v}))\,\bar{\mathrm{u}}\,\widetilde{\mathrm{ch}}_{\mathrm{j}}(\mathrm{x}))$$

Je nach Wahl der Thomklasse U(V) erhält man verschiedene charakteristische Klassen ϕ^{-1} ch $_{q,i}(U(V)) \in H^*(B;Z_{(p)})$.

Für U = U_S folgt wie in § 2: (ϕ = Thomisomorphismus)

$$\frac{\phi^{-1} ch_{q,i}(U_S)}{m(i)} = y(TB)_{(i)}^{-1} = (-1)^n 2^{2i} L_i(TB) \in H^{4i}(B; Z_{(p)})$$

Man schließt wie dort weiter und erhält die behauptete Formel.

Die gemachten Dimensionseinschränkungen sind, wie als Beispiel der 2p-1 dimensionale Linsenraum $L^p(p)$ zeigt, sowohl für ch wie auch für die Kroneckerproduktformel nicht zu umgehen.

§ 7 Die Verschlingungsform auf K(BG)

Ziel dieses Abschnittes ist es, für $G = Z_{p^k}$, p eine ungerade Primzahl, das Kroneckerprodukt

< , > :
$$\kappa^1$$
 (BG; Q/Z) \otimes κ_1 (BG) \longrightarrow Q/Z

zu bestimmen. Statt Q/Z - Koeffizienten läßt sich auch $Z_p^{\infty} = Z[1/p]/Z$ als Koeffizientenbereich wählen.

Für den Darstellungsring von G gilt bekanntlich $R(G) = Z[\lambda]/(\lambda^q-1)$ mit $q := p^k$. A sei so normiert, daß der Charakter von λ auf dem Erzeugenden von G gerade $e^{\frac{2\pi i}{P^k}}$ ist. Mittels eines G-Prinzipalbündels $EG \longrightarrow BG$ erhält man eine (für zyklische p-Gruppen injektive) Abbildung $R(G) \xrightarrow{\alpha} K^O(BG)$, die nach Vervollständigung einen Isomorphismus $\widehat{R(G)} \xrightarrow{\widehat{\alpha}} K^O(BG)$ liefert. Wir wählen als EG die Einschränkung desjenigen S^1 - Prinzipalbündels über BS^1 , dessen assoziiertes Linienbündel zum universellen Linienbündel dual ist, und bezeichnen $\widehat{\alpha}(\lambda)$ mit ξ ($\xi_{|L^n(q)}$ ist dann das Normalenbündel von $L^n(q)$ in $L^{n+1}(q)$). Die Koeffizientensequenz zu $Z \to Q \to Q/Z$ zeigt, daß der Bocksteinoperator $\beta: K^1(BG;Q/Z) \longrightarrow \widetilde{K}^O(BG) \cong \widehat{I(G)} \subset \widehat{R(G)}$ ein Isomorphismus ist. Das durch $\beta^{-1}(\xi-1)$ definierte Element werde mit γ bezeichnet. Alle anderen Elemente in $K^1(BG;Q/Z)$ lassen sich dann durch Produkte von γ mit Elementen aus $K^O(BG)$ erhalten.

Für jedes $x \in S_G^{-1}(R(G)/R(G)) = S_A^{-1}(R(G)/R(G))$ gibt es eine Zahl n, so daß $I^n \times I^n \times I^$

Beweis: Auf den Gruppen des Diagramms (3.2) operiert R(G) über das Tensorprodukt. Unter der Identifikation $K_G^0(TD_{|\partial b^n}^{2n}) \cong K^0(TL^n(q) \oplus R) \cong K_1(L^n(q))$ geht das Tensorprodukt mit λ in das cap-Produkt mit $i^*\xi$ über. Damit folgt dann die Behauptung : ψ ($i_*(i^*\xi \land x)$) = $\psi(\xi \land i_*x)$ = $\lambda \otimes \psi(i_*x)$ Direkt mit der Definition kann man ψ $i_*[L^n(q)]_S = \psi\mu(S^{2n-1},G) = -\alpha_Z(-,S^{2n-1})$ berechnen und erhält

$$\psi i_{\star} \left[L^{n}(q) \right]_{S} = \left(\frac{\lambda+1}{\lambda-1} \right)^{n}$$
 (7.2)

Analog folgt

$$\psi i_{\star} \left[L^{n}(q) \right]_{T} = \left(\frac{1}{1-\lambda} \right)^{n} \tag{7.3}$$

(direkt oder mit (7.2) und §2)

Damit läßt sich ebenfalls das cap-Produkt berechnen : Die Eulerklasse des Normalenbündels von $\mathbf{L}^{n}(\mathbf{q})$ in $\mathbf{L}^{n+1}(\mathbf{q})$ ist $1-\xi_{\mathbf{L}}\mathbf{n}_{(\mathbf{q})}$, daher gilt $e\left(\xi_{\mathbf{L}}\mathbf{n}+\mathbf{1}_{(\mathbf{q})}\right) \wedge \left[\mathbf{L}^{n+1}(\mathbf{q})\right]_{\mathbf{T}} = \mathbf{i}_{\mathbf{n},\mathbf{n}+1} \times \left[\mathbf{L}^{n}(\mathbf{q})\right]_{\mathbf{T}} \quad \text{und somit}$ $\psi\mathbf{i}_{\star}(\left[\mathbf{L}^{n+1}(\mathbf{q})\right]_{\mathbf{T}} \wedge (\mathbf{1}-\xi)) = \psi((\mathbf{1}-\xi) \wedge \mathbf{i}_{\star}\left[\mathbf{L}^{n+1}(\mathbf{q})\right]_{\mathbf{T}}) = \psi\mathbf{i}_{\star}\left[\mathbf{L}^{n}(\mathbf{q})\right]_{\mathbf{T}} = (\mathbf{1}-\lambda)^{-n} =$ $= (\mathbf{1}-\lambda) \otimes \psi(\mathbf{i}_{\star}\left[\mathbf{L}^{n+1}(\mathbf{q})\right]_{\mathbf{m}})$

Es genügt natürlich die Behaupzung auf den Fundamentalklassen der Linsenräume zu verifizieren, da diese K_1 (BG) erzeugen.

Bemerkung:

Für $G = Z_{2^T}$ hat $\left(\frac{\lambda+1}{\lambda-1}\right)^n$ in K_1 (BG) die Ordnung 2^{r-1} (unabhängig von n), während die Klassen $i_*\left[L^n(|G|)\right]_T = (1-\lambda)^{-n}$ eine mit n steigende Ordnung besitzen und K_1 (BG) erzeugen.

Die Multiplikation mit der Zahl n auf G induziert Homomorphismen $(Bn)^*: K^O(BG) \longrightarrow K^O(BG) \quad \text{und Adams-Operationen } \psi^n: R(G) \longrightarrow R(G) \quad \text{Bekannt ist, daß unter der Identifikation } R(G) \cong K^O(BG) \quad \hat{\psi}^n \quad \text{mit } (Bn)^* \quad \text{übereinstimmt.}$ Wir bezeichnen deshalb die auf $K^O(BG) \quad \text{und } K^1(BG; \mathbb{Q}/\mathbb{Z}) \quad \text{durch Bn induzierten}$ Homomorphismen ebenfalls mit ψ^n . Es folgt aus (5.9), daß $(Bn)_*: K_1(BG) \longrightarrow K_1(BG) \quad \text{durch } S((\psi^n)^{\frac{n}{2}}) \quad \text{beschrieben wird. Ist } n \neq 0 \quad (p) \quad \text{, dann ist n in G invertierbar und mit } n \cdot \underline{n} \equiv 1 \quad (p^k) \quad \text{folgt } (Bn)_* = S(\psi^n) \quad \text{. Wir bezeichnen } (Bn)_* \quad \text{mit } \psi^n \quad \text{.}$

In $K^1(BG;\mathbb{Q}/\mathbb{Z})$ definieren wir das Element reg durch reg = $\sum_{i=1}^{q-1} \psi^i(y)$. Es gilt $(\xi-1) \cup reg = -|G| \cdot y$, denn unter dem Bocksteinhomomorphismus geht reg auf das Element $\sum_{i=0}^{q-1} (\xi^i-1)$. Für alle $x \in K_1(BG)$ gilt deshalb die Gleichung :

$$< y , (\sum_{k=0}^{q-1} \Psi^{i} ((\xi-1) \wedge x/p^{k})) + x > 0$$
 (7.4)

Beweis: $(q = p^k, \bar{\xi} = \xi - 1)$ $< y, \Sigma \Psi^i(\bar{\xi} \cap x/q) > = < \Sigma \Psi^i(y), \bar{\xi} \cap x/q > = < reg_0\bar{\xi}, x/q > = -< |G|y, x/q > = -< y, x >$

Für bestimmte $j \leqslant q-1$ können wir jetzt < y , $\lambda^j/p^r >$ berechnen :

Lemma 7.5 Für $j \neq 0$ (p) und $j \neq -1$ (p) und alle r gilt $\langle y , \lambda^{j}/p^{r} \rangle_{k} = 0$

Beweis: Wir zeigen einfach $\sum_{k=1}^{N-1} \Psi^{i}((\lambda^{j}/p^{r+k}, \bar{\xi})) = 0$ Es ist (wir lassen den Nenner p^{r+k} weg) $\lambda^{j} \cap \bar{\xi} = \lambda^{j+1} - \lambda^{j}$ mit j und $j+1 \neq 0(p)$ j und j+1 können wir invertieren und daher $\lambda^{j} = \Psi^{j}(\lambda)$, $\lambda^{j+1} = \Psi^{j+1}(\lambda)$.

Ist $a \neq 0$ (p), dann läßt Ψ^{a} die Summe $\sum_{k=1}^{n-1} \Psi^{i}(z)$ invariant und da die Ψ^{i} miteinander vertauschbar sind, verschwindet die Differenz $\sum_{k=1}^{n-1} \Psi^{i}(\Psi^{j}(\lambda) - \Psi^{j+1}(\lambda))$.

Für k = 1 d.h. $G = Z_{p}$ sind wir damit fast fertig. Nur $(x, \lambda^{p-1}/p^{s-1}) = c_{s}$ kann nicht verschwinden. Die Zahlenfolge c_{p} beschreibt vollständig das Kroneckerprodukt für BZ_{p} , denn durch die Operationen ψ^{n} und ihre Adjungierten Ψ^{n} läßt sich (x, y) durch die (x, y)

$$<\psi^{i}(y)$$
 , $\lambda^{j}/p^{r}>=\begin{cases} 0 & \text{für } j \neq -i & (p) \\ c_{r} & \text{für } j \equiv -i & (p) \end{cases}$ (7.6)

Beweis:

 $<\psi^{a}(y) \ , \ \lambda^{b}/p^{r} \ > \ = \ <\psi^{a}(y) \ , \ \Psi^{\underline{b}} \ (\lambda/p^{r}) \ > \ = \ < \ y \ , \ \Psi^{a_{\circ}}\Psi^{\underline{b}}(\lambda/p^{r}) \ > \ = \ < \ y \ , \ \Psi^{a\underline{b}}(\lambda/p^{r}) \ > \$

Aus $p \cdot c_r = \langle py, \lambda^{p-1}/p^r \rangle = \langle y, \lambda^{p-1}/p^{r-1} \rangle = c_{r-1}$ folgt, daß c_r die Ordnung p^r hat, wenn nur c_1 die Ordnung p hat.

Unser nächstes Ziel ist die Berechnung von c_r . Es sei jetzt wieder $G = Z_{p^k}$, k fest und $q = p^k$. Das 2-Skelett von BG ist der Moore-Raum $m_q = S^1 \cup_q e^2$ und

die Inklusion i : S¹ \rightarrow BG faktorisiert über M $_q$ S¹ $\stackrel{i_h}{\rightarrow}$ M $_q$ $\stackrel{i}{\rightarrow}$ BG . i_M gehört zur Kofasersequenz S¹ $\stackrel{g}{\rightarrow}$ S¹ $\stackrel{i_h}{\rightarrow}$ M $_q$ \longrightarrow S² \longrightarrow . Die Q/Z Koeffizienten schränken wir auf Z $_q$ ein. Aus dem kommutativen Diagramm

 $\begin{array}{lll} \text{folgt} & i_M^*: \ \widetilde{K}^1(M_q; Z_q) & \longrightarrow & \widetilde{K}^1(S^1; Z_q) \cong Z_q & \text{ist ein Isomorphismus und daher hat} \\ c_1 & \text{die Ordnung } q \ ; \ \text{genauer} \ : \end{array}$

$$\begin{split} &\tilde{K}^1(s^1;Z_q) \text{ wird von dem Bild der } 1 \text{ unter dem Suspensionsisomorphismus} \quad \Sigma_q^* \text{ er-}\\ &z\text{eugt, somit} \quad i_M^*(y) = m \cdot \Sigma_q^*(1) \text{. Wegen} \quad \langle \; \Sigma_q^*(1) \; , \; \left[s^1\right]_T >_K = 1 \in Z_q \text{ gilt} \\ &\langle \; i_M^*(y) \; , \; \left[s^1\right]_T >_K = m \text{ und da } i_* \left[s^1\right]_T = 1/(1-\lambda) = \sum_{i=1}^{q-1} (-i)\lambda^i/q \text{ in } K_1(BG) \\ &\text{gilt, folgt mit} \quad m = \langle \; y \; , \; i_* \left[s^1\right]_T >_K \text{ für } G = Z_p \text{ schon hieraus } m = c_1 \neq 0 \end{split}$$
 &Um m zu bestimmen, braucht man nur die Definitionen einzusetzen (siehe \$[A-T]\$). $&\text{Man erhält das kommutative Diagramm} \end{split}$

$$\begin{split} \widetilde{K}^{1}\left(\mathbf{S}^{1}; \mathbf{Z}_{\mathbf{q}}\right) &:= \widetilde{K}^{3}\left(\mathbf{S}^{1} {}_{\wedge} \mathbf{M}_{\mathbf{q}}\right) \xrightarrow{\mathbf{T}^{\times}} \widetilde{K}^{3}\left(\mathbf{M}_{\mathbf{q}} {}_{\wedge} \mathbf{S}^{1}\right) \xleftarrow{\sum^{*}} \widetilde{K}^{2}\left(\mathbf{M}_{\mathbf{q}}\right) &=: \widetilde{K}^{0}\left(\mathbf{S}^{0}; \mathbf{Z}_{\mathbf{q}}\right) \\ & \uparrow \iota_{\mathbb{M}}^{*} & \uparrow \iota \left(\iota_{\mathbb{M}^{\wedge}} \mathbf{1}\right)^{*} & \parallel & \parallel \\ \widetilde{K}^{1}\left(\mathbf{M}_{\mathbf{q}}; \mathbf{Z}_{\mathbf{q}}\right) &:= \widetilde{K}^{3}\left(\mathbf{M}_{\mathbf{q}} {}_{\wedge} \mathbf{M}_{\mathbf{q}}\right) \xrightarrow{\left(\mathbf{M} {}_{\wedge} \iota_{\mathbb{N}}\right)^{\times}} \widetilde{K}^{3}\left(\mathbf{M}_{\mathbf{q}} {}_{\wedge} \mathbf{S}^{1}\right) \xleftarrow{\sum^{*}} \widetilde{K}^{2}\left(\mathbf{M}_{\mathbf{q}}\right) \end{split}$$

Die obere Zeile ist die Definition von $\Sigma_{\mathbf{q}}^*$ und die untere die des Bockstein-homomorphismus. Damit folgt $\Sigma_{\mathbf{q}}^{*-1}(\mathbf{i}_{\mathbf{M}}^*(\mathbf{y})) = \mathbf{m} = \beta(\mathbf{y}) = \xi - 1$. $(\xi - 1)$ aus $\widetilde{K}^2(\mathbf{M}_{\mathbf{q}}) = \widetilde{K}^0(S^0; \mathbf{Z}_{\mathbf{q}})$ definiert aber gerade wegen der Kommutativität des Diagramms

$$\begin{array}{ccc}
M_{\mathbf{q}} & \xrightarrow{\operatorname{pr}} & s^{2} \\
\downarrow & & \parallel \\
L^{2}(\mathbf{q}) & \longrightarrow P_{1}C
\end{array}$$

das Einselement für $K^*(-;Z_q)$. Somit $m=1\in Z_q$ (Ob m=+1 oder -1 ist, hängt von der Wahl des Bottisomorphismus ab).

Wir halten fest (G = Z_q , $q = p^k$, $R(Z_q) = Z[\mu]/(\mu^q-1)$):

$$< y , i_*[s^1]_T > = < y , \sum_{i=1}^{q-1} (-i) \cdot \mu^i/q > = 1/q$$
 (7.7)

Ist i: $Z_p \longrightarrow Z_q$ die Inklusion, dann gilt (Bi) $Y_{Z_q} = Y_{Z_p}$ da das Entsprechende für die Bündel ξ gilt. Daher

$$c_k = \langle y_{z_p}, \lambda^{p-1}/q \rangle = \langle (Bi)^* y_{z_q}, \lambda^{p-1}/q \rangle = \langle y_{z_q}, (Bi)_* (\lambda^{p-1}/q) \rangle$$

Wir vergleichen c_k mit dem Kroneckerprodukt $< y_{z_q}$, $i_*[s^1,z_q]_T >$, das den Wert 1/q hat (7.7) . $i^{\frac{\gamma}{2}}: R(Z_p) \longrightarrow R(Z_q)$ ist die Multiplikation mit

$$i^{\circ}(1) = reg(Z_q) / reg(Z_p) = \sum_{n=1}^{p^{\kappa-1}} \mu^{q-np}$$

Daher ist $(Bi)_* (\lambda^{p-1}/q) = (\mu^{q-1}/q) \sum_{n=1}^{\infty} \mu^{q-np}$ und auf der rechten Seite des Kroneckerproduktes

$$c_k - \frac{1}{q} = \langle y_{Z_q}, (Bi)_{*} (\lambda^{p-1}/q) + \sum_{i=1}^{q-1} i\mu^{i}/q \rangle$$

stehen nur Summanden der Gestalt

a)
$$j \cdot \mu^{j}/q$$
 mit $j \neq 0$ (p) und $\neq -1$ (p)

b)
$$np(\mu^{np} + \mu^{np-1})/q$$
 $n = 1, ..., p^{k-1}-1$

Der Koeffizient von μ^{q-1} ist q-1+1=q , daher liefert dieses Element keinen Beitrag zum Kroneckerprodukt.

Das Kroneckerprodukt von y und Termen der Gestalt a) und b) verschwindet. Für Summanden der Form a) folgt dies aus (7.5), und mit $(\mu^{np} + \mu^{np-1}) \land \bar{\xi} = \mu^{np+1} - \mu^{np-1}$ zeigt man genauso wie beim Beweis zu (7.5) , daß $\langle y , \mu^{np} + \mu^{np-1} \rangle = 0$ gilt. Daher $c_k = 1/q$ und das Kroneckerprodukt auf BZ_p ist vollständig bestimmt :

 $\underline{\mathtt{Satz}\ 7.8}$ Für das Kroneckerprodukt auf $\mathtt{K}(\mathtt{BZ}_{\mathtt{p}})$ gilt

$$<\psi^{i}(y)$$
 , $\lambda^{j}/p^{r}>=\begin{cases} 0 & \text{für } i+j \neq 0 \ (p) \\ 1/p^{r} & \text{für } i+j \equiv 0 \ (p) \end{cases}$

Das Kroneckerprodukt auf $K(BZ_{D_i}^K)$:

Der wesentliche fehlende Schritt ist die Berechnung von < y , μ^{ap}/p^{r} > .

Wir führen vollständige Induktion nach k durch. Der Induktionsanfang wurde bereits erledigt. Es sei für n < k gezeigt, daß für $r \neq -1$ $(p^n) < y$, $\mu^r/p^s > = 0$ gilt. Zuerst zeigen wir die Unabhängigkeit des Kroneckerproduktes < y, $\mu^{np}/p^s > (np \neq 0 \ (p^k)$) von n . Der Nenner p^s wird im folgenden wieder weggelassen.

 $<\ y\ ,\ \mu^{(n+1)\,p}-\mu^{np}>\ =\ <\ y\ ,\ (\xi^{p}-1)\, \cap \mu^{np}>\ =\ <\ \xi_{\upsilon}\psi^{p}y-\psi^{p}y\ ,\ \mu^{np}>\ =\ <\ \psi^{p}y\ ,\ \mu^{np+1}-\mu^{np}>\ =\ <\ (\text{Bi})^{*}\ y\ ,\ (\text{Bm})_{*}\ (\mu^{np+1}-\mu^{np})>\ =\ <\ \gamma_{Z_{p^{k_1}}},\ \mu^{n}_{Z_{p^{k_1}}}>\ =\ 0$ nach Induktionsvoraussetzung. $\psi^{p}=\ (\text{Bp})^{*}\ \text{wurde hier in}\ \ Z_{p^{k}}\xrightarrow{\pi}\ \ Z_{p^{k_1}}\xrightarrow{i}\ \ Z_{p^{k_2}}$ zerlegt und $(\text{Bm})_{*}\ \text{durch}\ \ S(\pi^{\frac{v}{i}})\ \text{berechnet}\ .$

Wegen der schon bewiesenen Gleichung < y , μ^{np} > = -< y , μ^{np-1} > (np \neq 0 (p k)) gilt :

$$2 < y , \mu^{p} > = < y , \mu^{p} - \mu^{p-1} > = < y , \xi^{p-1} , (\mu-1) > = < y \cdot \xi^{p-1} , \mu + \sum_{i=1}^{q-1} \mu^{i} >$$

$$= < \psi^{p} y - \psi^{p-1} y , \mu + \sum_{i=1}^{q-1} \mu^{i} >$$

$$= < y , \Psi^{p} (\mu + \sum_{i=1}^{q-1} \mu^{i}) > - < y , \Psi^{p-1} (\mu + \sum_{i=1}^{q-1} \mu^{i}) >$$

$$= 0 - 2$$

wo $(mp-1)\cdot (p-1) \equiv 1 \ (p^k)$ ist (es ist $m \not\equiv p^{k-1} \ (p^k)$, da sonst k=1). Man beachte, daß < y, $\sum_{i=1}^{q-1} \mu^i > = < y$, $\mu^{q-1} > da < y$, $\mu^i > = 0$ für $i \not\equiv 0$, -1 (p) und < y, $\mu^{np-1} + \mu^{np} > = 0$ für $np \not\equiv 0$ (p^k).

$$\begin{array}{l} \textcircled{1} & = < \ y \ , \ \Psi^{p}(\ \sum_{i=1}^{q-1} \ \mu^{i} \) \ > \ = < \ y \ , \ (Bi)_{*} \ (B\pi)_{*} \ (\ \sum_{i=1}^{q-1} \ \mu^{i} \) \ > \\ & = < \ y \ , \ (\ \sum_{i=1}^{r-1} \ \mu^{i} \) \ \cdot \ (\ \sum_{i=0}^{p-1} \ \mu^{ir} \) \ > \ (\ mit \ r := p^{k-1} \) \\ & = < \ y \ , \ \mu^{r-1} \ (\ \sum_{i=0}^{p-1} \ \mu^{ir} \) \ > \ + < \ y \ , \ (\ \sum_{i=1}^{r-2} \ \mu^{i} \) \ \cdot \ (\ \sum_{i=0}^{p-1} \ \mu^{ir} \) \ > \\ & = < \ y \ , \ \mu^{q-1} \ > \ + \ (p-1) \ \cdot < \ y \ , \ \mu^{p-1} \ > \end{array}$$

da < y , ($\sum_{i=1}^{r-2} \mu^i$) · ($\sum_{i=0}^{p-1} \mu^{ir}$) > = < y , (Bi) ($\sum_{i=1}^{r-2} \mu^i$) > = 0 nach Induktionsvoraussetzung.

Insgesammt folgt p < y, $\mu^p/p^s > = 0$ und damit < y, $\mu^{np}/p^s > = 0$ für alle s und $n \neq p^{k-1}$ (p^k) . Mit ähnlichen Rechnungen berechnet man $< \psi^a(y)$, $\mu^b/p^s >$ und es folgt

Satz 7.9 Das Kroneckerprodukt auf K(BZ_{pk}) ist gegeben durch

$$<\psi^{a}(y)$$
 , $\mu^{b}/p^{r}>=\begin{cases} 0 & \text{falls } a+b \neq 0 \ (p^{k}) \\ 1/p^{r} & \text{falls } a+b \equiv 0 \ (p^{k}) \end{cases}$

Wegen des Zerfallens von K_1 (BG) in $\sum_{p/|G|} K_1$ (BZ $_p^{i_p}$) für $G = \prod_{p} Z_{p^{i_p}}$ ist damit das Kroneckerprodukt für alle zyklischen Gruppen ungerader Ordnung berechnet. Wir bringen (7.9) noch in eine etwas andere Form : Es sei wieder $G = Z_{p^K}$.

Nach (1.13) kann man $S_G^{-1}R(G)/R(G)$ mit $\overline{R(G)} \otimes Z_p^{\infty}$ identifizieren. R(G) spaltet auf in $\overline{R(G)} \oplus Bild$ i $^{\frac{7}{8}}(R(\{1\}) \to R(G))$. Aus der Bocksteinsequenz folgt $K_O(BG;Z_p^{\infty}) \cong \beta^{-1}(K_1(BG)) \oplus K_O(*;Z_p^{\infty})$ und damit erhält man einen Isomorphismus zwischen $R(G) \otimes Z_p^{\infty}$ und $K_O(BG;Z_p^{\infty})$. Das Tensorprodukt induziert eine lineare Abbildung $\overline{\otimes}: \widehat{I(G)} \otimes (\overline{R(G)} \otimes Z_p^{\infty}) \to R(G) \otimes Z_p^{\infty}$, die man wie in (7.1) mit dem cap-Produkt $K^1(BG;Z_p^{\infty}) \otimes K_1(BG) \xrightarrow{\widehat{+}} K_O(BG;Z_p^{\infty})$ identifizieren kann. Zwischen R(G) und $R(\{1\})$ ist der Umkehrhomomorphismus der Projektion $\pi: G \to \{1\}$ definiert. Damit läßt sich auch das Kroneckerprodukt im Rahmen der Darstellungstheorie formulieren:

der durch $a \otimes b \rightarrow \pi^{\frac{n}{2}} (a \otimes b)$ gegeben wird, über die angegebenen Identifikationen mit dem Kroneckerprodukt <,> $K^{1}(BG; Z_{p}^{\infty}) \otimes K_{1}(BG) \rightarrow Z_{p}^{\infty}$ überein.

Erste Anwendungen:

Mit der Berechnung des Kroneckerproduktes <,> : $K^1(BG;\mathbb{Q}/\mathbb{Z})\otimes K_1(BG) \longrightarrow \mathbb{Q}/\mathbb{Z}$ hat man gleichzeitig das Kroneckerprodukt und damit die multiplikative Struktur auf den K-Gruppen der Linsenräume mit Koeffizienten in \mathbb{Z}_{p^γ} mit berechnet. Wählt man ganzzahlige Koeffizienten, so kann man dieses Kroneckerprodukt mit der üblichen Verschlingungsform auf den Torsionsklassen von $K(L^n(p^k);\mathbb{Z})$ identifizieren. Die zwischen $\widetilde{K}^0(L^n(p^k))$ und Tor $K_1(L^n(p^k))$ definierte Verschlingungsform induziert eine Verschlingsform

L:
$$\tilde{K}^{O}(BZ_{p^{k}}) \otimes K_{1}(BZ_{p^{k}}) \longrightarrow Q/Z$$

die natürlich über den Bocksteinhomomorphismus mit dem betrachteten Kroneckerprodukt übereinstimmt. L induziert einen Homomorphismus

$$\widetilde{L}: \ \widetilde{K}^{O}(BG) \longrightarrow Hom \ (K_{1}(BG), \mathbb{Q}/\mathbb{Z})$$

der die Pontrjagindualität zwischen $K^{O}(BG)$ und $K_{1}(BG)$ liefert. Die Injektivität von \widetilde{L} folgt aus (7.9), die Surjektivität mit einem Limes-Argument. Eine Isomorphie zwischen $\widetilde{K}^{O}(BG)$ und Hom $(K_{1}(BG), \mathbb{Q}/\mathbb{Z})$ wurde in \mathbb{Q} als Folgerung aus dem Universellen Koeffiziententheorem der K-Theorie hergeleitet.

Eine andere Anwendung betrifft das Pontrjaginprodukt auf $K_*(BG,Z_{p^m})$. Über das Kroneckerprodukt kann man es zu dem Koprodukt auf $K^O(BG,Z_{p^m})$ in Beziehung setzen und da dies bekannt ist (siehe [A-Ho]), auf explizit gegebenen Elementen – wie etwa Fundamentalklassen von Linsenräumen – berechnen.

$$\frac{\lambda^s_n \circ \lambda^k_r}{p} \circ \frac{\lambda^k_r}{p} = \begin{cases} O & \text{falls } s \neq k \\ \\ \lambda^s/p^{n+r} & \text{falls } s = k \end{cases}$$
 (n+r\(n+r\)

§ 8 Der Signaturdefekt mod Z als charakteristische Zahl

In diesem Abschnitt sei G eine zyklische Gruppe ungerader Ordnung. Die Berechnung des Kroneckerproduktes aus § 7 soll für die Beschreibung von Bordismusinvarianten wie γ_Z und γ_Z^i ausgenutzt werden.

Die α -Invariante einer freien G-Aktion auf \widetilde{X} haben wir als Element in $S_a^{-1}R(G)$ aufgefaßt. Elemente aus $S_a^{-1}R(G)$ kann man auf Gruppenelementen, die von dem Einselement verschieden sind, auswerten. Unter dem Auswertungshomomorphismus $X_h\colon S_a^{-1}R(G)\longrightarrow \mathfrak{Q}(\xi)$ wird $\alpha(-,\widetilde{X})$ auf $\mathfrak{Q}(h,\widetilde{X})\in \mathfrak{Q}(\xi)$ abgebildet. Schreibt man in $S_a^{-1}R(G)$ $\alpha(-,\widetilde{X})$ als Linearkombination der Potenzen der irreduziblen primitiven Darstellung ρ $\alpha(-,\widetilde{X})=\sum\limits_{i=1}^{|G|-1}a_i\rho^i$, dann folgt mit den in § 0 gemachten Konventionen $\alpha(g,\widetilde{X})=\sum\limits_{i=1}^{|G|-1}a_i\xi^i$ und $\alpha(g^j,\widetilde{X})=\Sigma_l a_i\xi^{i\cdot j}$. Das setzt die Summe der α -Invarianten – von der wir wissen, daß sie den Signaturdefekt γ der regulären Überlagerung $\widetilde{X}\longrightarrow X=\widetilde{X}/G$ beschreibt – mit den Koeffizienten a_i in Beziehung:

$$\sum_{h=1}^{\sum} \alpha(h, \tilde{x}) = \sum_{j=1}^{|G|-1} \sum_{i=1}^{|G|-1} a_{i} \xi^{i \cdot j} = \sum_{i=1}^{|G|-1} a_{i} (\sum_{j=1}^{|G|-1} \xi^{i \cdot j}) = -\sum_{i=1}^{|G|-1} a_{i}$$

und damit $\gamma = \Sigma$ a_i . Dies impliziert für $\alpha_Z(\widetilde{X}) \in S_a^{-1}R(G)/R(G) \subset \overline{R(G)} \otimes \mathbb{Q}/Z$ die Gleichung $\gamma_Z = \Sigma$ b_i , wenn man $\alpha_Z(\widetilde{X})$ in $S_a^{-1}R(G)/R(G)$ als Summe $\alpha_Z(\widetilde{X}) = \sum_{i=1}^{|G|} b_i \rho^i$, $b_i \in \mathbb{Q}/Z$ dargestellt hat. Das Element $\widetilde{reg} \in K^1(BG; \mathbb{Q}/Z)$, das durch $\widetilde{reg} = \sum_{i=1}^{|G|} \gamma^i(Y)$ definiert ist, hat nach (7.9) genau die Eigenschaft $< \widetilde{reg}$, $\Sigma_i a_i \rho^i > = \Sigma_i a_i$ und deshalb folgt

$$\gamma_{z}(\tilde{x} \longrightarrow x) = \langle -r\tilde{e}g, f_{*}[x]_{S} \rangle_{K}$$
 (8.1)

wenn f: $X \longrightarrow BG$ die klassifizierende Abbildung der Überlagerung $X \longrightarrow X$ ist.

Da G ungerade Ordnung hat, können wir statt \mathbb{Q}/\mathbb{Z} Koeffizienten auch die Koeffizientengruppe $\mathbb{H} = \mathbb{Q}/\mathbb{Z}\left[\frac{1}{2}\right]$ wählen und sowohl reg, wie auch y als

Element in $K^1(BG;H)$ auffassen. Die Fundamentalklasse $[X]_S$ ist ein Element in $K_1(X;Z\begin{bmatrix}\frac{1}{2}\end{bmatrix})$ und mit dem Kroneckerprodukt $<,>:K^*(X;H)\otimes K_*(X;Z\begin{bmatrix}\frac{1}{2}\end{bmatrix})\longrightarrow H$ läßt sich (8.1) umformulieren:

Satz 8.2 Der Signaturdefekt der durch eine freie G-Aktion auf der 2n-1 - dimensionalen Mannigfaltigkeit X definierten Überlagerung X — X/G mit klassifizierender Abbildung f: X/G — BG wird modulo Z gegeben durch das K-Theorie-Kroneckerprodukt

$$\gamma_Z(X \longrightarrow X/G) = \langle -f^*r\tilde{e}g_G, [X/G]_S \rangle_K$$

Dieses Kroneckerprodukt beschreibt γ_Z als eine K-Theorie charakteristische Zahl, die analog zu den in § 0 betrachteten mod p- charakteristischen Zahlen aus [C-F1] gebildet wird: In § 2 hatten wir verallgemeinerte charakteristische Zahlen für eine singuläre Mannigfaltigkeit (M,f) $\in \Omega_*(X)$ in $K_*(X)$ betrachtet. Diese Bordismusinvarianten lassen sich mittels des universellen Koeffiziententheorems in gewöhnliche Zahlen zerlegen. Für endliche C-W-Komplexe gilt die Koeffizientenformel

$$0 \longrightarrow \operatorname{Ext}(K^{n+1}(X), Z) \longrightarrow K_{n}(X) \longrightarrow \operatorname{Hom}(K^{n}(X), Z) \longrightarrow 0$$

und da diese spaltet, erhält man aus $x \in K_n(X)$ einen Homomorphismus $K^n(X) \longrightarrow \mathbb{Z}$ und einen Homomorphismus Tor $(K^{n+1}(X)) \longrightarrow \mathbb{Q}/\mathbb{Z}$. Der letzte Homomorphismus wird durch ein Kroneckerprodukt $y \longmapsto \langle \beta^{-1}(y) , x \rangle - wo \beta$ der Bocksteinoperator zur Sequenz $Z \longrightarrow \mathbb{Q} \longrightarrow \mathbb{Q}/\mathbb{Z}$ ist - gegeben. Insgesamt kann man daher der charakteristischen Zahl $x = f_*(p_\omega(TM) \cap [M]_S) \in K_i(X)$ die charakteristischen Zahlen $\langle f^*y \cup p_\omega(TM) , [M] \rangle \in \mathbb{Z}$ für $Y \in K^i(X)$ (8.3) und $\langle f^*y \cup p_\omega(TM) , [M] \rangle \in \mathbb{Q}/\mathbb{Z}$ für $y \in \beta^{-1}(Tor K^{i+1}(X)) \cap K^i(X, \mathbb{Q}/\mathbb{Z})$ zuordnen, und es gilt natürlich der Satz, daß, wenn die charakteristischen Zahlen aus $K_*(X)$ die Bordismusklassen bestimmen, dies auch für die charakteristischen Zahlen (8.3) gilt.

Da wir uns bei X = BG mit den Aussagen aus §7 behelfen können, soll auf einen Beweis der obigen Behauptungen - den man aus einer Herleitung der Koeffizientenformel unmittelbar erhalten kann - nicht eingegangen werden.

Aus (7.9) folgt, daß für $G = Z_{p^T}$ ein Element $x \in K_1$ (BG) durch die Kroneckerprodukte $<\psi^i(y)$, $x>\in \mathbb{Q}/\mathbb{Z}$ ($i=1,\ldots,|G|-1$) eindeutig bestimmt ist. Wegen des Zerfallens von K_1 (BG) in die Primanteile folgt eine analoge Aussage auch für alle zyklischen Gruppen ungerader Ordnung:

Korollar 8.4 Ist G eine zyklische Gruppe ungerader Ordnung, dann bestimmen die charakteristischen Zahlen

<
$$f^* z \circ p_{\omega}(TX)$$
, $[X]_S \ge 0/Z$

mit $z \in K^1(BG, \mathbb{Q}/\mathbb{Z})$, die Bordismusklasse eines Elementes $(x,f) \in \widetilde{\Omega}_{2n-1}(BG)$.

Bemerkungen:

- 1. Eine analoge Aussage gilt auch für $\ \widetilde{\Omega}^{\mathrm{U}}(\mathrm{BG})$.
- 2. Die Bemerkung 1 am Ende von § 4 zeigt jetzt einen Grund für das Versagen der mod-p-charakteristischen Zahlen aus [C -F1] in den Dimensionen größer als 2p-2 zur Bestimmung der Bordismusklassen.
- 3. Die charakteristischen Zahlen aus (8.4) lassen sich in bestimmten Fällen als K-Theorie-Verschlingungszahlen zwischen charakteristischen Untermannigfaltigkeiten und anderen K-Homologieklassen deuten.

Genau wie γ_Z können wir γ_Z^i als eine charakteristische Zahl erhalten: Wegen (0.6) gilt $a_i = \gamma_Z^i$ wenn $\alpha_Z(\widetilde{X}) = \sum\limits_{i=1}^{lol-1} a_i \rho^i$ und aus (7.9) folgt:

Korollar 8.5 Der getwistete Signaturdefekt $\gamma \stackrel{\text{-i}}{Z} (\widetilde{X} \longrightarrow X)$ wird durch die charakteristische Zahl

$$-<\psi^{i}(f^{*}y)$$
 , $[x]_{S}>_{K}\in Q/Z$ gegeben

(f: X \longrightarrow BG klassifizierende Abbildung der G-Aktion auf \widetilde{X})

Die Koeffizienten von v-Invarianten bei der Entwicklung als Linearkombination

der ρ^i in $S_a^{-1}R(G)/R(G)$ wurden in § 1 als v-Defekte γ_v^i bezeichnet. Die Aussage "die getwisteten Defekte γ_v^i zu den v-Invarianten bestimmen die Bordismusklassen in $\widetilde{\Omega}_*(BG)$ " ist dann wegen (2.12) eine andere Formulierung von (8.4).

Als nāchstes beschäftigen wir uns mit der Ordnung von γ_Z^i und γ_Z .

1. Es sei zunāchst $G = Z_{p^T}$ (p ungerade Primzahl). Die Ordnung von $L^n(p^r)$ in $\widetilde{\Omega}_*(BZ_p)$ oder die Ordnung von $i_*[L^n(p^r)]_S = -\alpha_Z(L^n(p^r))$ ist bekanntlich ([C-F1]) p^{r+a} wo a durch die Ungleichung $a\cdot(2p-2) < 2n-1 < (a+1)\cdot(2p-2)$ bestimmt ist. Nun gilt :

$$\begin{split} \gamma_{Z}(s^{2n-1} \to L^{n}(p^{r})) &= - < \tilde{\operatorname{reg}} , \ i_{*} \left[L^{n}(p^{r}) \right]_{S} >_{K} = - < \tilde{\operatorname{reg}} , \ i_{*} \left[L^{n+1}(p^{r}) \right]_{S} \wedge \frac{\xi - 1}{\xi + 1} >_{K} \\ &= - < \tilde{\operatorname{reg}} \cup (\xi - 1) , \ i_{*} \left[L^{n+1}(p^{r}) \right]_{S} \cap (1 + \xi)^{-1} >_{K} \\ &= + < p^{r}_{Y} , \ i_{*} \left[L^{n+1}(p^{r}) \right]_{S} \cap (1 + \xi)^{-1} >_{K} \end{split}$$

Daher : Ordnung(γ_Z) \leqslant p^{-r} Ordnung α_Z (Lⁿ⁺¹ (p^r)) = p^{\overline{a}}, wo jetzt \overline{a} durch die Ungleichung \overline{a} (2p-2) < 2n+1 < (\overline{a} +1) \cdot (2p-2) festgelegt ist. Man rechnet sofort nach, daß \overline{a} = $\left[n/(p-1)\right]$ gilt ($\left[x\right]$ = größte ganze Zahl n mit $n \leqslant x$). Damit folgt für eine (2n-1)-dimensionale freie Z_p^r -Mannigfaltigkeit M:

$$p^{\left[\frac{n}{p-1}\right]} \cdot \gamma (M \rightarrow M/Z_{p^{\tau}}) \in Z$$

2. Für die Primzahl 2 gilt, daß $\gamma(M \to M/Z_{2^r})$ immer ganzzahlig ist. Für r=1 folgt dies aus der Ganzzahligkeit der α -Invariante einer Involution. Ist r größer als 1 kann man die Z_{2^r} -Überlagerung in 2-fache Überlagerungen $M \to M_1 \to M_2 \to M_r$ ($M_1 = M/Z_2$) zerlegen. Nun gilt ganz allgemein für für zusammengesetzte Überlagerugen $M \to M_1 \to M_2$

$$\gamma(M \rightarrow M_2) = \gamma(M \rightarrow M_1) + p\gamma(M_1 \rightarrow M_2)$$
 (8.6)

was man sofort durch Einsetzen der Definitionen einsehen kann. Induktiv folgt dann, daß auch $\gamma(M \to M/Z_{2^{r}})$ ganzzahlig ist.

3. Es sei jetzt G eine beliebige endliche Gruppe. Man schreibt G als ein Produkt

von zyklischen p-Gruppen $G = \prod Z_{p^{\tau_{p}}}$ und zerlegt die Überlagerung in eine Folge von Überlagerungen, die jeweils Primpotenzüberlagerungsgrad besitzen. Wie unter 2) beschrieben erhält man für γ eine Summendarstellung, in der der Summand, der zur Überlagerung mit Grad $p^{r_{p}}$ gehört, höchstens den Nenner $p^{\left\lceil \frac{m}{p-1} \right\rceil}$ hat. Damit ist gezeigt:

Satz 8.7 Es sei G eine endliche zyklische Gruppe und M eine freie G-Mannigfaltigkeit der Dimension 2n-1.

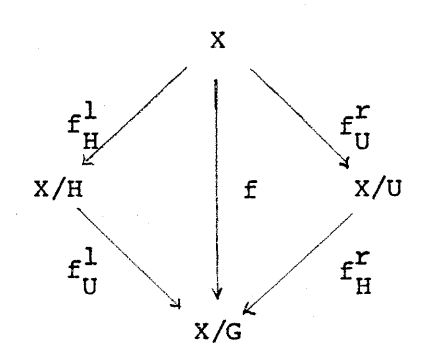
Der Nenner des Signaturdefektes der Überlagerung M \longrightarrow M/G teilt das Produkt $\prod p^{\left \lceil \frac{m}{p-1} \right \rceil}$, wobei p die ungeraden Primzahlen, die |G| teilen, durchläuft.

Bemerkungen:

- Natürlich gilt diese Schranke für die Ordnung eines Defektes auch für die zu anderen v-Invarianten gehörenden (totalen) Defekte.
- 2. Man beachte die Ähnlichkeit der Ordnung von γ_Z mit dem Nenner der L-Polynome (siehe [H1]).

Zagier hat in [Z] höherdimensionale Dedekindsummen $d(p; a_1, ..., a_n)$ definiert und untersucht. Wegen $d(p; a_1, ..., a_n) = \gamma(s^{2n-1} \longrightarrow L^n(p; a_1, ..., a_n))$ stellt der Beweis zu (8.7) einen "topologischen" Beweis für die dort zahlentheoretisch bewiesene dem obigen Satz entsprechende Aussage für Dedekindsummen dar.

Wir wollen das Verhalten von γ_Z bei Zusammensetzung von Überlagerungen noch etwas näher betrachten. Dabei sei G ein Produkt zweier Gruppen U und H. Zu einer ungeradedimensionalen freien G Mannigfaltigkeit X erhält man ein Diagramm von Überlagerungen



Die Gleichung $\gamma(X \longrightarrow X/U) + |U|\gamma(X/U \longrightarrow X/G) = \gamma(X \longrightarrow X/G)$ wurde schon unter 2. erwähnt.

Sind die Ordnungen von U und H relativ prim und U und H zyklisch, dann kann man den Signaturdefekt mod Z der Überlagerung X \longrightarrow X/G nicht nur durch $\gamma_Z(X \longrightarrow X/U)$ und $\gamma_Z(X/U \longrightarrow X/G)$ berechnen, sondern auch durch $\gamma_Z(X \longrightarrow X/U)$ und $\gamma_Z(X \longrightarrow X/U)$ bzw. durch $\gamma_Z(X/U \longrightarrow X/G)$ und $\gamma_Z(X/H \longrightarrow X/G)$:

Lemma 8.8 Es seien G,U,H wie oben mit (|H|,|U|) = 1. Dann gilt

1.
$$\gamma_Z(X \longrightarrow X/G) = \gamma_Z(X \longrightarrow X/U) + \gamma_Z(X \longrightarrow X/H)$$

2.
$$\gamma_{Z}(X \longrightarrow X/G) = |H|\gamma_{Z}(X/H \longrightarrow X/G) + |U|\gamma_{Z}(X/U \longrightarrow X/G)$$

3.
$$\gamma_Z(X \longrightarrow X/U) = |H|\gamma_Z(X/H \longrightarrow X/G)$$

Beweis: Wegen $\gamma(X \longrightarrow X/U) - |H| \gamma(X/H \longrightarrow X/G) = \gamma(X \longrightarrow X/H) + |U| \gamma(X/U \longrightarrow X/G)$ kann man eine Invariante $\Delta(X,f,U,H) := \gamma(X \longrightarrow X/U) - |H| \cdot \gamma(X/H \longrightarrow X/G)$ definieren. Δ beschreibt den Defekt den die γ -Invariante einer Überlagerung $X/H \longrightarrow X/G$ erleidet, wenn man diese Überlagerung mit der Überlagerung $X/U \longrightarrow X/G$ auf X/U zurückzieht. Sind die Ordnungen von H und U relativ prim, dann ist Δ ganzzahlig, denn $\Delta = \gamma(X \longrightarrow X/U) + |H| \gamma(X/H \longrightarrow X/G) \in \mathbb{Z}[1/|U|]$ und $\Delta = \gamma(X \longrightarrow X/H) + |U| \gamma(X/U \longrightarrow X/G) \in \mathbb{Z}[1/|H|]$

Damit ist 3. gezeigt. 1. und 2. sind Folgerungen aus 3. mit (8.6). Die Gleichung 1) ist einfach eine Folge des Zerfallens von K_1 (BG) in K_1 (BH) \mathfrak{B} K_1 (BU) unter der Voraussetzung ($\{H\}$, $\{G\}$) = 1

Bemerkungen:

1. Analog hierzu läßt sich die α_Z -Invariante der G-Aktion durch die α_Z -Invarianten der Aktionen von U und H ausdrücken. Das Verhalten von α_Z unter dem Isomorphismus K_1 (BG) = K_1 (BH) \oplus K_1 (BU) wurde in \S 5 betrachtet. Ebenfalls analoge Formeln gelten für die Defekte anderer v-Invarianten, wie etwa der Todd-Defekt.

2. Die Formel (8.6) impliziert insbesondere, daß die Ordnung von γ_Z einer Z_{p^T} -Aktion nicht mit r anwächst. Die maximale Ordnung von γ_Z ist im Gegensatz zur Ordnung von γ_Z^i und α_Z unabhängig von r . γ_Z zeigt sogar ein gewisses Stabilitätsverhalten gegenüber der Variation von r (falls eine genügend "große" Z_{p^T} -Aktion überhaupt definiert ist). Hält man n fest, so gilt ab $r > r_O = [n/(p-1)]$

$$\gamma_Z(M \rightarrow M/Z_{p^{\gamma+1}}) = \gamma_Z(M \rightarrow M/Z_{p^{\gamma}})$$

denn die Differenz $\gamma(M \to M/Z_{p^{\tau+1}}) - \gamma(M \to M/Z_{p^{\tau}}) = p^{r} \cdot \gamma(M/Z_{p^{\tau}} \to M/Z_{p^{\tau+1}})$ ist unter der Voraussetzung $r > \lceil n/(p-1) \rceil$ ganzzahlig.

Das läßt sich insbesondere auf Aktionen auf Sphären anwenden: Da z.B. immer $\gamma_Z(s^{2n-1} \to L^n(p)) = \frac{1}{p} \quad \text{für} \quad n = p-1 \quad \text{gilt, folgt, da der stabile Bereich}$ schon erreicht ist,

$$\gamma_Z(S^{2n-1} \rightarrow L^n(p^r)) = \frac{1}{p}$$
 für $n = p-1$

3. Hat G wie oben eine Untergruppe $\{1\} \neq U \neq G$, dann läßt sich aus den Werten $\alpha(g,X) \in \mathbb{C}$ durch Linearkombination nicht nur die rationale Zahl $\gamma(X \to X/G)$ bilden, sondern man erhält schon mit einer geringeren Anzahl von Summanden rationale Zahlen. Es ist klar wie sich diese Zahlen als Signaturdefekte von Aktionen von Untergruppen von G deuten lassen. Genau wie für γ_Z gibt es in $K^1(BG,Q/Z)$ dann auch Elemente, die über das Kroneckerprodukt, die Restklassen dieser Zahlen in Q/Z liefern.

Durch die Darstellung des Signaturdefektes γ als die Summe der α -Invarianten kann man γ über Fixpunktmengen berechnen. Die Formeln werden besonders übersichtlich, wenn die Gruppenaktion die Einschränkung einer freien S¹-Aktion ist. Für eine freie S¹-Aktion auf x^{2K-1} ist die Orbitabbildung $x + x/s^1 = y$ ein S¹-Prinzipalbündel ξ und man kann das assoziierte Scheibenbündel $D(\xi)$ als berandende S¹-Mannigfaltigkeit nehmen. Die Fixpunktmenge besteht aus dem Nullschnitt y.

Nach [H-Z] oder [A-S4] gilt dann mit $x = c_1(\xi)$ für die α -Invariante :

$$\alpha(t,X) = - < \frac{te^{2x} + 1}{te^{2x} - 1} \cup L(Y) , [Y] > + sign(Y,x)$$
 (8.9)

(sign(Y,x) ist die Signatur der quadratischen Form (a,b) \rightarrow < abx , [Y] > mit a , b aus $H^{k-2}(Y)$)

Schränkt man die S¹-Aktion auf die Untergruppe der p-ten Einheitswurzeln ein, so erhält man durch (8.9) die α -Invariante dieser Z_p -Aktion und zusammen mit der bekannten tigonometrischen Identität $\frac{1}{n}\sum_{\substack{d=v\\ d=v}}\frac{az+1}{az-1}=\frac{yz^n+1}{yz^n-1}$ die Formel

$$\gamma(X \to X/Z_p) = -\sum_{\xi \neq 1} \alpha(\xi, X) = \langle (p, \frac{e^{2px} + 1}{e^{2px} - 1} - \frac{e^{2x} + 1}{e^{2x} - 1}) \cup L(Y), [Y] \rangle_{H^{-}(p-1) \text{ sign}(Y, X)}$$
(8.10)

und für

$$\gamma^{r}(x \to x/Z_{p}) = \langle (1 - 2 \cdot \frac{e^{2rx} - 1}{e^{2px} - 1})_{UL}(Y), [Y] \rangle - sign(Y,x)$$
 (8.11)

was man unmittelbar durch Einsetzen verifiziert oder über den Residuensatz herleiten kann.

Wie man der Bordismus-Gysinsequenz des Bündels $\operatorname{H}^p \to \operatorname{BS}^1$ ($\operatorname{H} = \operatorname{universelles}$ Linienbündel, $\operatorname{S}(\operatorname{H}^p) = \operatorname{BZ}_p$) entnimmt, ist der Transfer $\Omega_{2n}(\operatorname{BS}^1) \to \widetilde{\Omega}_{2n-1}(\operatorname{BZ}_p)$ surjektiv, so daß man für eine gegebene Z_p -Mannigfaltigkeit bis auf Bordismus immer die obige Situation erreichen kann.

Für Mannigfaltigkeiten genügend kleiner Dimension können wir $K(-;Z_p)$ -Kronecker-produkte durch $H^*(-;Z_p)$ Produkte ausrechnen (siehe § 6).

Es sei $(X,f) \in \widehat{\Omega}_{2r-1}$ (BZ_p), $r \in p-1$ und p eine ungerade Primzahl. Um $< f^*y, [X]_S >_K$ zu berechnen, müssen wir $\overline{ch}(y)$ kennen. Auf $L^{p-1}(p)$ läßt sich $\overline{ch}(y)$ leicht bestimmen. Die unteren Terme von $\overline{ch}(y) \in H^*(L^{p-1}(p); Z_p)$ erhält man über den Bocksteinhomomorphismus aus $ch(\xi)$. Für den Term aus $H^{2p-3}(L^{p-1}(p); Z_p)$ sind einige Extraüberlegungen, die wir uns hier ersparen wollen, nötig.

Es gilt: $\overline{\operatorname{ch}}(y) = \sum_{i=0}^{p-2} (x^i \cdot y) / (i+1)!$ (x,y wie in § 0) und daher $\gamma_Z^{-1}(x,f) = \langle f\overline{y}, [x]_S \rangle_K = \langle \overline{\operatorname{ch}} f^* \psi^2 y \circ L(x), [x] \rangle_{H(:;Z_p)}$

Dies ist genau das in § O hergeleitete Kroneckerprodukt.

\S 9 α_Z und γ_Z auf stabil-parallelisierbaren Mannigfaltigkeiten

Sowohl für endliche als auch für abelsche Liegruppen kann man – ganz analog zum orientierten Bordismus – die Bordismusgruppen freier stabil-parallelisierter G-Mannigfaltigkeiten mit den stabilen Homotopiegruppen des klassifizierenden Raumes von G $\Omega_*^{fr}(BG) = \pi_*^S(BG^+)$ identifizieren. Dabei hat man die Parallelisierung als verträglich mit der G-Aktion vorauszusetzen, genauer: eine stabile äquivariante Parallelisierung einer G-Mannigfaltigkeit M ist ein G-Vektorbündelisomorphismus

$$\mathtt{TM} \, \oplus \, \mathbb{R}^n \, \longrightarrow \, \, \mathtt{M} \, \times \, \mathbb{R}^{n+m}$$

wo G auf TM über die Ableitungen und auf \mathbb{R}^n , \mathbb{R}^{n+m} trivial operiert. Die Orbitmannigfaltigkeit ist dann wieder parallelisierbar (siehe $\begin{bmatrix} L-S \end{bmatrix}$). Für eine Inklusion $H \subseteq G$ existiert ebenfalls ein Transfer (siehe z.B. [K-P]), der wiederum durch die Einschränkung der G-Aktion induziert wird. Der sonst recht triviale Transfer zur Inklusion $\{1\}$ c G gewinnt für $\Omega_*^{\mbox{fr}}$ eine überraschende Bedeutung: Kahn und Priddy haben in [K-P] gezeigt, daß z.B. für eine Primzahl p der Transfer t : $\Omega_*^{fr}(BZ_D) \longrightarrow \Omega_*^{fr}(*) = \Omega_*^{fr}(B\{1\})$, auf $\widetilde{\Omega}_*^{fr}(BZ_D)$ eingeschränkt, eine Surjektion auf die p-Komponenten von $\Omega_{*}^{fr}(*)$ liefert. Auf $\Omega_{\times}^{fr}(*)$ ist die e-Invariante von Adams, die wie Υ_{Z} Q/Z -wertig ist, definiert. Auf die Beziehungen zwischen diesen Invarianten gehen wir zuerst ein. Der zum Todd-Geschlecht bzw. zum komplexen Bordismus gehörenden e $_{\mathbb{C}}$ -Invarianten entspricht für den orientierten Bordismus die zum L-Geschlecht gehörende, von Kreck in [K] definiert und untersuchte δ -Invariante (mod Z). Ähnlich wie bei der zum L-Geschlecht gehörenden $\,$ v-Invarianten $\,$ $\,$ läßt sich diese Invariante zu einer Q-wertigen - allerdings nicht bordismusinvarianten -Funktion anheben:

Man wählt zur stabil-parallelisierten Mannigfaltigkeit (M^{4m-1},α) eine berandende Mannigfaltigkeit X und setzt (siehe [K]):

$$\delta(M,\alpha)$$
: = sign(X) - L(TX/ α)

wobei TX/ α das durch die stabile Trivialisierung α auf X/ α X definierte stabile Bündel ist.

Wie in [K] bewiesen wird, ist der Defekt, den δ bei einer regulären p-fachen Überlagerung erfährt, gerade die negative Summe der α -Invarianten, d.h.

$$\delta(\widetilde{M}, \pi \alpha) - p \cdot \delta(M, \alpha) = \gamma(\widetilde{M} \xrightarrow{\pi} M)$$
 (9.1)

Damit folgt sofort: die Hintereinanderschaltung

$$\widetilde{\Omega}_{*}^{\text{fr}}(BZ_{\mathbf{p}}) \xrightarrow{t} \Omega_{*}^{\text{fr}}(*) \xrightarrow{\delta} Z \longrightarrow Q/Z$$

ist nichts anderes als der Signaturdefekt mod Z.

Denn für $(\widetilde{M} + M) \in \widetilde{\Omega}_{*}^{fr}(BZ_{p})$ ist M als Element in $\Omega_{*}^{fr}(*)$ nullbordant, daher $\delta(M) \in Z$ und aus (9.1) folgt:

$$\gamma_{Z}(\widetilde{M} \rightarrow M) = \delta_{Z}(\widetilde{M}) = \delta_{Z} \circ t(\widetilde{M})$$
 (9.2)

Damit läßt sich in manchen Fällen der p-Anteil von $\, \delta_{Z} \,$ durch $\gamma_{Z} \,$ leicht berechnen.

Bemerkungen:

- 1. Während auf dem Untermodul $\Omega_{*}^{fr}(*) \subset \Omega_{*}^{fr}(BZ_p)$ der Signaturdefekt verschwindet, ist dies i. A. für δ_z °t nicht der Fall.
- 2. Ersetzt man δ_Z durch die $e_{\mathbb{C}}$ -Invariante so gilt die analoge Aussage mit dem Todd-Defekt $\gamma_Z^T = e_{\mathbb{C}^\circ}$ t.Man braucht nur nachzurechnen, daß sich γ_Z und γ_Z^T um den gleichen Faktor wie δ_Z und $e_{\mathbb{C}}$ unterscheiden: Für $e_{\mathbb{C}}$ und δ_Z folgt aus den Ergebnissen von [K] $\delta_Z(M,\alpha) = -2^{2n}e_{\mathbb{C}}(M,\alpha)$ auf $\Omega_{4n-1}^{fr}(*)$; für γ_Z und γ_Z^T müssen wir den Unterschied der beiden Fundamentalklassen $[M]_S$ und $[M]_T$ bestimmen. Da das stabile Tangentialbündel von M trivial ist, folgt Λ^* (TM \oplus \mathbb{R}) = 2^{2n} und aus \S 2 daher $[M]_S = 2^{2n}[M]_T$. Das Vorzeichen wird von der Konvention, α_Z als negative v-Invariante zum L-Geschlecht zu definieren, verursacht.

Damit ist auf $\tilde{\Omega}_{*}^{fr}(BZ_{p})$ der Defekt der e_{C} -Invarianten mit γ_{Z}^{T} identifiziert.

3. Wie unter 2. kann man zeigen, daß alle auf diese Art und Weise zu v-Invarianten

gebildete \mathbb{Q}/Z -wertige Invarianten sich auf dem gemeinsamen Definitionsbereich nur um einen Faktor unterscheiden.

4. Da der p-Anteil der e_Invarianten in allen von 2n(p-1)-1 verschiedenen Dimensionen verschwindet (siehe [Ad2]) hat das Faktorisieren von γ_Z über $\Omega_{\times}^{fr}(*)$ die Konsequenz, daß in diesem Dimensionsbereich γ_Z ebenfalls verschwindet.

Die Komposition $\Omega_{*}^{fr}(BS^1) \xrightarrow{t} \Omega_{*}^{fr}(*) \xrightarrow{\delta} Z \rightarrow \mathbb{Q}/Z$, die wir als nächstes betrachten werden, faßt in gewisser Weise die durch die zu verschiedenen Primzahlen p gehörenden Invarianten $\Omega_{*}^{fr}(BZ_p) \xrightarrow{t} \Omega_{*}^{fr}(*) \xrightarrow{\delta} Z \rightarrow \mathbb{Q}/Z$ zusammen: In [L-S] haben Löffler und Smith u.a. den Transfer $\Omega_{*}^{fr}(BS^1) \xrightarrow{} \Omega_{*}^{fr}(*)$ untersucht und eine Formel für $e_{\mathbb{C}}$ °t angegeben. Abgekürzt läßt sich diese Formel – in der Notation von [L-S] durch

$$e_{\mathbb{C}}([S(\lambda), \Phi_{\lambda}]) = \langle 1/(1-e^{-c_{1}(\lambda)}), [M] \rangle_{H}$$
 (9.3)

wiedergeben. Dabei ist $\left[S(\lambda), \Phi_{\lambda}\right]$ das zur stabil parallelisierten Mannigfaltigkeit M und dem S^1 -Bündel λ auf M gehörende Bild unter dem Transfer (Φ_{λ}) bezeichnet eine kanonische stabile Trivialisierung des Tangentialbündels des Totalraumes $S(\lambda)$). Das Kroneckerprodukt ist natürlich so zu interpretieren, daß man $1/1-e^{-c_1(\lambda)t}$ in eine Laurentreihe entwickelt und den vor $t^{\dim M/2}$ stehenden Koeffizienten auswertet.

Ersetzt man wieder die e-Invariante durch $\delta_{\rm Z}$, so erhält man mit minimalem Modifikationen aus dem Beweis zu (9.3) in [L-S] die Formel:

$$\delta(\left[S(\xi), \Phi_{\xi}\right]) = -\langle \frac{e^{2c_1(\xi)} + 1}{e^{2c_1(\xi)} - 1}, [M] \rangle + a$$
 (9.4)

(a ganzzahlige Konstante)

Vergleicht man die Reihenentwicklung von $-(e^{2c_1(\xi)}+1)/(e^{2c_1(\xi)}-1)$ mit der von $1/(1-e^{-c_1(\xi)})$, so folgt die schon erwähnte Beziehung

$$\delta(\left[S(\xi), \Phi_{\xi}\right]) \mod z = -2^{2n} e_{\mathbb{C}}(\left[S(\xi), \Phi_{\xi}\right])$$

die deshalb auch als Beweis für (9.4) (mod Z) dienen kann.

Zwar kann man für s¹-Bündel keinen Signaturdefekt in der Art von (0.2) definieren, man hat jedoch – zumindest im stabil-parallelisierten Fall – als Ersatz den invarianten Teil der α -Invarianten der S¹-Aktion, d.h. den Wert von $\alpha(t,S(\xi))$ an der "Polstelle"1 .(8.9) und (9.4) zeigen gerade $\delta(S(\xi),\phi_{\xi})=\alpha(1,S(\xi))$ + ganzzahlige Konstante . Analog hat man in der Formel für e c t die zum Todd-Geschlecht gehörende v-Invariante an der "Polstelle" t = 1 auszuwerten. Die p-Komponente der Komposition $\widetilde{\alpha}_{*}^{fr}(BS^{1}) \xrightarrow{t} \Omega_{*}^{fr}(BZ_{p}) \xrightarrow{\gamma}_{Z^{p}} Z/_{p^{\infty}Z}$ angegeben: Denn nach (8.10) unterscheiden sich δ_{Z} ° t $\equiv \alpha(1,-)$ und γ_{Z} durch das Kroneckerprodukt $P<(e^{2PX}+1)/(e^{2PX}-1)$, [B]>, das aber keinen p-Anteil im Nenner besitzt (siehe $[H\ 1]$).

Man beachte, daß da das Bild des Transfers $t: \widetilde{\Omega}_*^{fr}(BS^1) \longrightarrow \Omega_*^{fr}(BZ_p)$ nicht in $\widetilde{\Omega}_*^{fr}(BZ_p)$ liegt, (9.2) nicht direkt anwendbar ist. Für ein Element $(S(\xi) \longrightarrow B)$ aus $\widetilde{\Omega}_*^{fr}(BS^1)$ ist damit durch die rationale Zahl $\alpha(1,S(\xi))$ der Wert aller Signaturdefekte mod Z der aus der S^1 -Aktion durch Einschränkung hervorgehenden Z_p -Aktionen gegeben.

Unser nächstes Ziel ist die Beschreibung von $\,\alpha_Z^{}\,$ auf $\widetilde{\Omega}_{\,\,*}^{\,fr}(BZ_p^{})\,$ für eine ungerade Primzahl $\,p$.

(bzw. Todd_Z(M,f) und $H_{\mathbb{C}}(M,f)$).

Weiterhin sind $\mu_{\mathbb{C}}$ bzw. $\mu_{\mathbb{R}}$ auf Bild $F_{\mathbb{C}}$ bzw. Bild $F_{\mathbb{R}}$ injektiv, denn auf stabil parallelisierten Mannigfaltigkeiten verschwinden alle charakteristische Zahlen f_* (c_i (TM) \cap [M]) außer f_* (1_{\cap} [M]) = μ (M,f) und nach §4 ist die Abbildung, die (M,f) ihren Satz charakteristische Zahlen zuordnet, injektiv. Das Studium von $H_{\mathbb{C}}$ läßt damit Rückschlüsse auf das Verhalten von $F_{\mathbb{C}}$ zu. Wie sehen die Komponentenfunktionen γ_Z^i der α_Z -Invarianten auf $\widetilde{\Omega}_*^{fr}$ (BZ $_p$) aus?

Mit der Darstellung von γ_Z^i als K-Theorie-charakteristische Zahl ist es möglich, Relationen zwischen den γ_Z^i für stabil parallelisierte Mannigfaltigkeiten zu finden:

Lemma 9.5 Es sei p eine ungerade Primzahl und $(\widetilde{M} \to M)$ aus $\widetilde{\Omega}_{2n-1}^{fr}(BZ_p)$, dann gilt $\gamma_Z^{-k}(\widetilde{M} \to M) = k^n \cdot \gamma_Z^{-1}(\widetilde{M} \to M)$.

Bekanntlich ist das folgende Diagramm kommutativ

$$\begin{array}{cccc}
\kappa^{1} & (BZ_{\mathbf{p}} \wedge S^{2i}; Z_{\mathbf{p}}^{\infty}) & \xrightarrow{B} & \kappa^{1} & (BZ_{\mathbf{p}}; Z_{\mathbf{p}}^{\infty}) \\
\psi^{k} & & & & \psi^{k} \kappa^{i} \\
\kappa^{1} & (BZ_{\mathbf{p}} \wedge S^{2i}; Z_{\mathbf{p}}^{\infty}) & \xrightarrow{B} & \kappa^{1} & (BZ_{\mathbf{p}}; Z_{\mathbf{p}}^{\infty})
\end{array}$$

Damit gilt

$$\begin{split} k^{i} \cdot \gamma_{Z}^{-k}(\widetilde{M} + M) &= -\langle \ k^{i} \ \psi^{k}(y) \ , \ B \cdot g_{*} \big[s^{2n+2i-1} \big]_{S} \ \rangle_{K} = \langle -g^{*} \psi^{k}(By) \ , \ \big[s^{2n+2i-1} \big]_{S} \ \rangle_{K} \\ &= -\langle \ k^{n+i} \ g^{*}(By) \ , \ \big[s^{2n+2i-1} \big]_{S} \ \rangle_{K} = -k^{n+i} \langle \ y \ , \ B \cdot g_{*} \big[s^{2n+2i-1} \big]_{S} \ \rangle_{K} \\ &= \ k^{n+i} \cdot \gamma_{Z}^{-1}(\widetilde{M} + M) \end{split}$$

was die Behauptung $\gamma_Z^{-k}(\widetilde{M} \rightarrow M) = k^n \cdot \gamma_Z^{-1}(\widetilde{M} \rightarrow M)$ impliziert.

Bemerkung:

Bei dem Beweis zu (9.5) haben wir gleichzeitig die Operation Ψ^k auf Bild H_R mitberechnet. Für x aus Bild $(H_R: \Omega_{2n-1}^{fr}(BZ_p)) \longrightarrow K_1(BZ_p)$ gilt :

$$\Psi^{\mathbf{k}}(\mathbf{x}) = \mathbf{k}^{\mathbf{n}} \cdot \mathbf{x} \tag{9.6}$$

Denn wegen der Beziehungen zwischen den γ_Z^i wird x schon durch das eine Kroneckerprodukt < y , x > eindeutig festgelegt, somit < y , ψ^k x >=< ψ^k y , x > = k x < y , x >

 $\alpha_Z : \Omega_{*}^{\text{fr}}(BZ_p) \longrightarrow K_1(BZ_p) \quad \text{wird also schon durch die Funktion} \quad \gamma_Z^1 \quad \text{vollständig beschrieben. Damit haben wir bewiesen:}$

Satz 9.7 Bild H: $\Omega_{2n-1}^{fr}(BZ_p) \longrightarrow K_1(BZ_p)$ ist eine endliche zyklische Gruppe.

Beweis: Man braucht nur zu beachten, daß $\Omega_{2n-1}^{fr}(BZ_p)$ eine endliche Gruppe ist und daß eine endliche Untergruppe von Z_p^∞ zyklisch ist.

Mit ganz anderen Methoden hat Smith in [S] die folgende Aussage, die wir wegen der Injektivität von $\mu_{\mathbb{C}}$ aus (9.7) erhalten, bewiesen.

Hierbei bezeichnet $v_p(n)$ den Exponenten von p in der Primzerlegung von n.

Beweis: Für $k \not\equiv 0$ (p) hatten wir festgestellt $\Psi^k(x) = k \cdot x$ für x aus $H(\Omega_{2n-1}^{fr}(BZ_p))$. Das ist eine ziemlich starke Einschränkung für ein Element x aus $K_1(BZ_p)$, denn aus $k \equiv k \cdot (p)$ muß $k^n x = k \cdot n^n x$ folgen. Insbesondere gilt mit $x = k^{(p-1)} \equiv 1$ (p) $(k^{n(p-1)}-1)x = 0$ für $x \in H(\Omega_{2n-1}^{fr}(BZ_p))$. Nach [Ad 1] ist der p-Anteil in $k^{n(p-1)}-1$ im "ungünstigsten Fall" (man wählt k so, daß die Restklasse von k die zyklische Gruppe $(z/2p^2)^*/(\pm 1)$ erzeugt gerade $p^{(1+V_p(n))}$, so daß x höchstens diese Ordnung haben kann.

Nun hat Smith in [S] Elemente $d_k \in \Omega_{2k-1}^{fr}(BZ_p)$ angegeben und vermutet, daß diese Elemente das Bild von $F_{\mathbb{C}} \colon \Omega^{fr}(BZ_p) \longrightarrow \Omega^U(BZ_p)$ erzeugen. Für den Dimensionsbereich 2n(p-1)-1 hat er diese Vermutung bewiesen.

Mit der oben gemachten Abschätzung der Ordnung von Bild H sind wir nun in der Lage, diese Vermutung vollständig zu beweisen:

Die Aussage gilt natürlich auch für Bild $\mathbf{F}_{\mathbb{R}}$ und Bild $\mathbf{F}_{\mathbb{C}}$.

Beweis: Es genügt zu zeigen, daß die Ordnung von σ_n in $K_1(BZ_p)$ genau $p^{1+\nu p(n)}$ ist.

Zunächst zur Definition von σ_{ν} :

Über der stabil parallelisierten Mannigfaltigkeit $N^{2(k-1)}$: = $S^2 \times ... \times S^2$ (k-1 Faktoren, mit Produkt-Parallelisierung) ist das Linienbündel

 $\zeta_{k-1} := \gamma \, \hat{\otimes} \dots \hat{\otimes} \, \gamma$ definiert ($\hat{\otimes}$ = äußeres Tensorprodukt, γ = Hopfbündel).

 $S(\zeta_{k-1})$ ist damit ein Element in $\Omega^{fr}_{2k-1}(BS^1)$ und man setzt

 $\sigma_k \colon = \text{Transfer } (\mathtt{S}(\zeta_{k-1}), \mathtt{N}^{2\,(k-1)}) \ = \ (\mathtt{S}(\zeta_{k-1}^p) \ \to \ \mathtt{S}(\zeta_{k-1}^p)) \ . \ \text{Nach} \ \left[\mathtt{S}\right] \ \text{gilt}$

 ζ_{k-1} degree $(f_{k-1}) = (k-1)!$

Deshalb gilt $< c_1 (\zeta_k)^{k-1}, [N^{2(k-1)}] >_H = (k-1)! \cdot (-1)^{k-1}$

 $\text{Mit der Formel} \quad (8.11) \quad \text{k\"{o}nnen wir damit} \quad \gamma_Z^1(S(\zeta_{k-1})) \longrightarrow S(\zeta_{k-1}^p)) \quad \text{berechnen:}$

$$\gamma_{Z}^{1}(\sigma_{k}) = -2 < \frac{e^{2x} - 1}{e^{2px} - 1}, [N^{2(k-1)}] > = -\frac{2}{p} < \frac{e^{2x} - 1}{2x} \cdot \frac{2px}{e^{2px} - 1}, [N^{2(k-1)}] >$$

 $(x = c_1(\zeta_{k-1}))$ Mit den Reihenentwicklungen

$$\frac{e^{2x}-1}{2x} = \sum_{i=0}^{\infty} \frac{(2x)^{i}}{(i+1)!}, \quad \frac{2px}{e^{2px}-1} = 1 - px + \sum_{j=1}^{\infty} (-1)^{j+1} \frac{B_{j-}}{(2j)!} (px)^{2j}$$

und degree $f_{k-1} = (k-1)!$ folgt, daß zum Wert des Kroneckerproduktes mod Z nur der oberste Term von $(e^{2x}-1)/2x$ etwas beitragen kann, nämlich der Summand $(2x)^{k-1}/k!$. Daher

$$\gamma_Z^1(\sigma_k) = + \frac{(-2)^k}{p \cdot k}$$
 (9.11)

und $H(\sigma_k)$ hat die Ordnung $p^{V_f(k)+1}$.

Bemerkungen:

- 1. $(\gamma_Z^T)^{1}$ hat die etwas einfachere Gestalt $1/p \cdot k$.
- 2. Für γ_Z erhält man $\gamma_Z(\sigma_n) = (-2)^n \cdot (\sum_{k=1}^{p-1} k^n) \cdot 1/(p \cdot n)$. Für n = a(p-1) ist diese Summe nicht durch p teilbar (p > 3) und γ_Z hat die Ordnung von γ_Z^1 . In allen Fällen verschwindet γ_Z auf $\Omega_{2n-1}^{fr}(BZ_p)$. Mit der Formel (8.10) erhält man $\gamma_Z(\sigma_n) = -(-1)^{\frac{n}{2}+1} \cdot 2^n \cdot (B_{\frac{n}{2}})/(2n)$, woraus das schon beschriebene Verhalten von γ_Z folgt. Mit (9.10) und (9.11) ist damit α_Z auf $\Omega_*^{fr}(BZ_p)$ vollständig bestimmt.

§10 Der funktionale Cherncharakter auf BZp

Der n-te Term des Cherncharakters ch^n ist eine Kohomologieoperation von $\operatorname{K}^*(X)$ nach $\operatorname{H}^{2n}(X;\mathbb{Q})$ und definiert deshalb auf Klassen in $\operatorname{K}^\circ(X)$, die sowohl im Kern von ch^n als auch im Kern des von einer stetigen Abbildung $f:Y \to X$ induzierten Homomorphismus liegen, eine funkionale Kohomologieoperation, den funktionalen Cherncharakter zu f (siehe [T]).

Wählt man für Y eine ungeradedimensionale Sphäre s^{2n-1} und für X einen Raum ohne rationale Kohomologie in den Dimensionen 2n und 2n-1 , dann gilt immer $f^*(x) = ch^n(x) = 0 \quad \text{für} \quad x \in \widetilde{K}^O(X) \quad \text{und man erhält einen Homomorphismus}$ $ch^n_f : \widetilde{K}^O(X) \to \mathbb{Q}/\mathbb{Z} \quad \text{In Diagrammschreibweise} :$

$$0 \longrightarrow \widetilde{K}^{O}(ss^{2n-1}) \longrightarrow \widetilde{K}^{O}(C_{f}) \xrightarrow{j^{*}} \widetilde{K}^{O}(X) \xrightarrow{f^{*}} 0$$

$$\downarrow ch^{n} \qquad \downarrow ch^{n} \qquad \downarrow ch^{n}$$

$$0 \longrightarrow H^{2n}(s^{2n}; \mathbb{Q}) \xrightarrow{\delta} H^{2n}(C_{f}; \mathbb{Q}) \longrightarrow 0$$

$$(10.1)$$

$$\begin{array}{l} (\ f \ : \ s^{2n-1} \ \rightarrow \ x \ , \ \ C_{f} \ := \ e^{2n} \cup_{f} x \) \\ \mathrm{ch}_{f}^{n}(x) \ := \ \delta^{-1} \cdot \mathrm{ch}^{n} \cdot \mathrm{j}^{*-1}(x) \ \in \ \mathrm{H}^{2n}(s^{2n}; \mathbb{Q}) / \mathrm{ch} \widetilde{K}^{o}(s^{2n}) \ \cong \ \mathbb{Q} / \mathrm{Z} \\ \end{array}$$

$$CH^{n}: \pi_{2n-1}^{S}(X) \longrightarrow Hom(\widetilde{K}^{O}(X), Q/Z)$$

erhält. Wie in [Ad2] zeigt man: CH ist ein Homomorphismus.

Ein bekanntes Beispiel liefern die Sphären : für $X = S^{2k}$ $2k \gg n$ gilt $\pi_{2n+2k-1}(S^{2k}) \cong \pi_{2n-1}^S(S^0)$ und CH^n stimmt mit der Adams-Invarianten $e_c: \pi_{2n-1}^S(S^0) \to \mathbb{Q}/\mathbb{Z}$ überein.

Wählt man für X ein genügend großes Skelett von $^{\mathrm{BZ}}_{\mathrm{P}}$, so sind die oben aufgeführten Voraussetzungen erfüllt, und man kann den funktionalen Cherncharakter

$$CH^{n}: \pi_{2n-1}^{S}(BZ_{p}) \longrightarrow \underset{\widetilde{E}}{\underline{lim}} Hom(\widetilde{K}^{O}(L^{r}(p)), Q/Z)$$

definieren.

Über die δ -Invariante von Kreck steht die e-Invariante -d.h. der funktionale Cherncharakter auf den Sphären - mit der Signatur in Beziehung. Mit dem folgenden Satz erhalten wir eine Verbindung zwischen dem funktionalen Cherncharakter auf BZ $_{\rm p}$ und der äquivarianten Signatur über die α -Invariante :

Satz 10.2 Über die Identifikation

$$\begin{array}{ll} \underset{r}{\underline{\lim}} \ \text{Hom} \, (\widetilde{K}^O \, (L^r \, (p)) \, , \mathbb{Q}/\mathbb{Z}) \ = \ \underset{r}{\underline{\lim}} \ \text{Ext} \, (\widetilde{K}^O \, (L^r \, (p)) \, , \mathbb{Z}) \ = \ K_1 \, (BZ_p) \\ \\ \text{stimmt} \quad CH^n \ : \ \pi_{2n-1}^S \, (BZ_p) \ \longrightarrow \ \underset{r}{\underline{\lim}} \ \text{Hom} \, (\widetilde{K}^O \, (L^r \, (p)) \, , \mathbb{Q}/\mathbb{Z}) \ \text{mit dem} \\ \\ \text{Hurewicz-Homomorphismus} \quad H_{\mathbb{C}} \ : \ \widetilde{\Omega}_{2n-1}^{fr} \, (BZ_p) \ \longrightarrow \ K_1 \, (BZ_p) \ \ \text{\ddot{u}berein} \\ \\ \text{(zumindest bis auf Multiplikation mit einer zu p primen Konstanten)} \, . \end{array}$$

Da wir in §9 H berechnet haben, ist damit auch CH bestimmt.

Korollar 10.3 Ist p eine ungerade Primzahl, dann gilt für ein Element
$$(X,Z_p)$$
 aus $\tilde{\Omega}_{2n-1}^{fr}(BZ_p)$ $CH^n((X,Z_p)) = c \cdot \alpha_Z(X,Z_p)$

Bemerkung:

Für $\operatorname{ch}_{\tau}^n(\beta_i)$ ergibt sich die folgende Interpretationsmöglichkeit ($\beta_i = \xi^i - 1$ aus $\widetilde{K}^O(\operatorname{BZ}_p)$, $\tau \in \widetilde{\Omega}_{2n-1}^{fr}(\operatorname{BZ}_p)$):

Twird durch eine stabil parallelisierte freie Z_p -Mannigfaltigkeit x^{2n-1} repräsentiert. Man wähle eine orientierte Z_p -Mannigfaltigkeit y^{2n} mit Rand x (so daß die induzierte Orientierung zur Parallelisierung paßt), und berechne die α_Z -Invariante – etwa über die Fixpunktmenge. Die (p-i)-te Komponente von α_Z ist dann genau $\operatorname{ch}^n_{\tau}(\beta_i)/c$. Analoges gilt mit geeigneten Faktoren auch für andere v-Invarianten. Bildet man $\operatorname{ch}^n_{\tau}(\sum_{i=1}^{p-1}\beta_i)$, dann erhält man gerade den Signaturdefekt mod z auf z = $(x \to x/z_p)$.

Beweis von (10.2):

Es sei $f: S^{2n+2i-1} \longrightarrow S^{2i} \cap BZ_p$ ein Repräsentant für $\tau \in \widehat{\Omega}_{2n-1}^{fr}(BZ_p)$ und $\theta \in \widetilde{K}^O(L^m(p))$, m genügend groß. Wir müssen zeigen

$$\operatorname{ch}_{f}^{n+i}(\theta) = \operatorname{c} < \beta^{-1}(\theta) , \operatorname{H}_{\mathbb{C}}(\tau) > K$$

denn die Identifikation $K_1(BZ_p)$ mit $\varinjlim_{m} \text{Hom}(K^O(L^m(p)), \mathbb{Q}/\mathbb{Z})$ geschieht - siehe §8 - durch die Zuordnung $x\mapsto (y\mapsto <\beta^{-1}(y), x>_K)$ $(\beta:K^1(BZ_p;\mathbb{Q}/\mathbb{Z})\longrightarrow \widetilde{K}^O(BZ_p)$ ist der Bocksteinhomomorphismus und $<,>_K$ das Kroneckerprodukt $K^1(BZ_p;\mathbb{Q}/\mathbb{Z})\otimes K_1(BZ_p)\longrightarrow \mathbb{Q}/\mathbb{Z}$).

Aus Bocksteinsequenzen und Kofasersequenzen erhält man ein Diagramm mit exakten Zeilen und Spalten (m genügend groß, $C_f = e^{2n+2i} \cup_{f} L^m(p)$):

 über (1) nach Bild(Sf)* liefert ein Inverses zu dieser Abbildung. Da Bild f* eine Gruppe $\mathrm{Z}_{p^{\mathrm{T}}}$ (oder 0) ist, wird dieser Isomorphismus durch die Multiplikation mit einer zu p primen Konstante c gegeben. Nach §9 ist Bild H zyklisch, so daß diese Konstante nur von der Dimension abhängt.

Für bestimmte Dimensionen können wir diese Konstante leicht berechnen: Die Inklusion $B\{1\} \to BZ_p$ induziert die beiden Transferhomomorphismen $t_\Omega: \Omega_*^{fr}(BZ_p) \to \Omega_*^{fr}(*) \quad \text{und} \quad t_K: K_O(BZ_p; \mathbb{Q}/\mathbb{Z}) \longrightarrow K_O(*; \mathbb{Q}/\mathbb{Z}) \ .$ Lemma 10.6 Die Komposition $\Omega_{2n-1}^{SO}(BZ_p) \xrightarrow{-\mu} K_1(BZ_p) \xrightarrow{\beta^{-1}} \widetilde{K}_O(BZ_p; \mathbb{Q}/\mathbb{Z}) \xrightarrow{t} \mathbb{Q}/\mathbb{Z}$ ist der Signaturdefekt mod Z.

Beweis: Nach §7 gilt für den Transfer in der Kohomologie $t': K^{O}(B\{1\}) \rightarrow K^{O}(BZ_{p})$ $t'(1) = reg(Z_{p}) \text{ und daher für } x \in \widetilde{K}_{O}(BZ_{p}; \mathbb{Q}/Z)$ $t(x) = \langle 1, t(x) \rangle_{K} = \langle t'(1), x \rangle = \langle t'(1)-p, x \rangle = \langle \beta^{-1}(t'(1)-p), \beta(x) \rangle$ $= \langle reg, \beta(x) \rangle$

Setzt man $x = -\tilde{\beta}_{\bullet}^{1}\mu(X/Z_{p},f)$ ein, so folgt nach (8.2) $t(x) = \langle -\tilde{reg}, f_{*}[X/Z_{p}]_{S} \rangle_{K} = \gamma_{Z}(X \rightarrow X/Z_{p})$.

Man betrachte das Diagramm

$$\widetilde{\Omega}_{2n-1}^{fr}(BZ_{p}) \xrightarrow{\widetilde{\beta}_{n}^{1}} \widetilde{\Omega}_{2n}^{fr}(BZ_{p}; \mathbb{Q}/\mathbb{Z}) \xrightarrow{t_{n}} \Omega_{2n}^{fr}(*; \mathbb{Q}/\mathbb{Z}) \xrightarrow{\beta_{n}} \Omega_{2n-1}^{fr}(*)$$

$$\downarrow H_{\mathbb{C}} (A) \qquad \downarrow H_{\mathbb{C}} (B) \qquad \downarrow H_{\mathbb{C}} (C) \qquad \downarrow e_{\mathbb{C}}$$

$$K_{1}(BZ_{p}) \xrightarrow{\widetilde{\beta}_{\kappa}^{1}} \widetilde{K}_{0}(BZ_{p}; \mathbb{Q}/\mathbb{Z}) \xrightarrow{t_{\kappa}} K_{0}(*; \mathbb{Q}/\mathbb{Z}) \xrightarrow{z} \mathbb{Q}/\mathbb{Z}$$

$$\downarrow \lim_{m \to \infty} \operatorname{Hom}(K^{0}(L^{m}(p)), \mathbb{Q}/\mathbb{Z}) \xrightarrow{\operatorname{Hom}(K^{0}(*), \mathbb{Q}/\mathbb{Z})} \operatorname{Hom}(K^{0}(*), \mathbb{Q}/\mathbb{Z})$$

Wegen der Vertauschbarkeit von Transferabbildungen mit natürlichen Transformationen – siehe [K-P] – sind (A) und (B) kommutativ. Nach (9.4) gilt $t_K \beta_K^1 H_\mathbb{C} = \gamma_Z^T$ (Todd-Defekt wegen des komplexen Hurewicz $H_\mathbb{C}$). Es folgt nach §9 $H_\mathbb{C}$ t_Ω $\beta_\Omega^{-1} = \gamma_Z^T = e_\mathbb{C} t_\Omega$ und somit $H_\mathbb{C}$ β_Ω^{-1} $t_\Omega = e_\mathbb{C}$ t_Ω

Für n>0 und n=a(p-1) wissen wir aber aus [Ad2] , daß $e_{\mathbb{C}} t_{\Omega}(\sigma_n) - \sigma_n$ aus $\Omega^{fr}_{2n-1}(BZ_p)$ wie in §9 - die p-Komponente von Bild $e_{\mathbb{C}} \in \mathbb{Q}/\mathbb{Z}$ erzeugt (p-Komponente von $\gamma^T_{\mathbb{Z}}(\sigma_n) = 1/p^{1+\nu_p(a)} = p$ -Komponente des Nenners von $B_{n/2}/2n$). $H_{\mathbb{C}} \beta^{-1}$ und $e_{\mathbb{C}}$ müssen damit gleich sein (für p=2 folgt dies mit einem Argument wie unter (10.2)) . Damit ist bewiesen ($\beta=B$ ocksteinhomomorphismus):

Korollar 10.8 Die e_C-Invariante stimmt mit dem funktionalen Hurewicz-Homomorphismus (H_C) $_{\beta}$ überein.

Also ist auch (C) in (10.7) kommutativ. Aus der Kommutativität von (10.7) folgt jetzt $c \cdot \text{Hom}(t_K^*,1)$ $\text{CH}^n = t_K^\circ \beta_K^{-1} H_C = \gamma_Z^T = e_{C^\circ} t_\Omega$ (10.9) Man rechnet leicht nach, daß CH natürlich ist, und da man nach [K-P] den Transfer bis auf Suspensionsisomorphismen durch eine stetige Abbildung induzieren kann, ist CH mit t vertauschbar: $\text{Hom}(t_K^*,1)\circ \text{CH}^n = \text{CH}^n\circ t_\Omega = e_C^\circ t_\Omega$ (10.10) In den Dimensionen 2n-1 mit n=a(p-1), a>o ist γ_Z^T auf Bild $(H_C: \Omega_{2n-1}^{fr}(BZ_P) \to K_1(BZ_P))$ injektiv (siehe § 9), daher folgt aus (10.9) und (10.10) c=1

Damit: $CH^n = -2^n \alpha_Z$ für n = a(p-1)

Bemerkung:

Die Analogie von CH^n zur e-Invariante wird noch stärker durch die folgende Definitionsmöglichkeit von CH^n durch Adams-Operationen:

(Bezeichnungen wie bei 10.5)

$$0 \longrightarrow \widetilde{K}(S^{2n+2i}) \stackrel{i^*}{\longrightarrow} \widetilde{K}(C_f) \stackrel{j^*}{\longrightarrow} \widetilde{K}(S^{2i} \wedge L^m(p)) \longrightarrow 0$$

Wählt man für $\beta \in \mathbb{R}^{O}(S^{2i} \wedge L^{m}(p))$ ein Urbild β unter j^{*} , dann ist $\psi^{p}(\beta)$ ein Vielfaches von $i_{*}[S^{2n+2i}]_{T}: \psi^{p}(\beta) = a(\beta) \cdot i_{*}[S^{2n+2i}]_{T}$, denn $j^{*}\psi^{p}(\beta) = \psi^{p}(\beta) = 0$. Wählt man ein anderes Urbild β von β , dann gilt $\beta - \beta = a \cdot i_{*}[S^{2n+2i}]_{T}$ und daher $\psi^{p}(\beta - \beta) = a \cdot i_{*}\psi^{p}[S^{2n+2i}]_{T} = a \cdot p^{n+i}i_{*}[S]_{T}$ $= (a(\beta) - a(\beta))i_{*}[S]_{T}$. Damit ist $a(\beta)/p^{n+i} - a(\beta)/p^{n+i}$ ganzzahlig und die Restklasse $[a(\beta)/p^{n+i}]$ in \mathbb{Q}/\mathbb{Z} nicht mehr von der Urbildauswahl abhängig. Man zeigt leicht $ch_{f}(\beta) = [a(\beta)/p^{n+i}]$.

Bezeichnungen

```
ganze Zahlen
\mathbf{z}
                rationale Zahlen
                reelle Zahlen
                Z/pZ
Z_p
                z[1/p]/z
z_p
größte ganze Zahl z mit Z ≤a/p
\Omega_* = \Omega_*^{SO}
                orientierter Bordismusring
\Omega_{\Omega}
                komplexer Bordismusring
                stabil-parallelisierter Bordismusring (\widehat{\Omega}^{fr}(X) = \pi^{S}(X))
\Omega^{	t fr}
                komplexer Darstellungsring der Gruppe G
R (G)
                Für einen lokalkompakten Raum X ist K_{\overline{G}}(X) als
K^{C}(X)
                K_{G}^{*}(X^{c}), X^{c} = Ein-Punkt-Kompaktifizierung von X definiert
                z.B. K^*(TM) = K^*(B(TM), S(TM))
                klassifizierender Raum der Gruppe G
BG
                Tangentialbündel von M
MT
                Ballbündel von TM
BTM
                Shärenbündel von TM
STM
                m-te L-Klasse in den Pontrjagin-Klassen, siehe [H 1]
Lm
ψk
                k-te Adamsoperation
ch
                Cherncharakter
 M
                Fundamentalklasse von M
<,>,
                Kroneckerprodukt in der K-Theorie
<,>H
                Kroneckerprodukt in der gewöhnlichen Homologietheorie
                S_G = \{ (reg - |G|)^k | k \in \mathbb{N} \} \in R(G) 
S_{\mathbf{G}}
                S_a = \{\lambda_{-1}(V)^k | k \in \mathbb{N}, G \text{ operiert frei auf der Einheitsphäre } S(V) \}
Sa
                                                     des komplexen G Moduls V }
\lambda_{-1}(V)
                K-Theorie Eulerklasse von V
```

Tabelle 1

Die Werte von $~\gamma^{i}$, γ^{i}_{Z} , γ und $~\gamma^{}_{Z}$ auf Linsenräumen

Linsenraum	Y	γ^1	γ^2	Y_{Z}	$\gamma_{\rm Z}^1$	γ_Z^2
L(5;1,1) L(5;1,2)	- 5 O	-3/5 1/5	-7/5 -1/5	0	2/5 1/5	3/5 4/5
L(5;1,1,1) L(5;1,1,2)		-1 -1/5	-3/5 -1/5		0 4/5	2/5 4/5
L(5;1,1,1,1) L(5;1,1,1,2) L(5;1,1,2,2)	36/5 8/5 4/5	1 1/5 1/5	13/5 3/5 1/5	1/5 3/5 4/5	0 1/5 1/5	3/5 3/5 1/5
L(5;1,1,1,1,1) L(5;1,1,1,1,2) L(5;1,1,1,2,2)		47/5 ² 11/5 ² 3/5 ²	29/5 ² 7/5 ² 1/5 ²		22/5 ² 11/5 ² 3/5 ²	4/5 ² 7/5 ² 1/5 ²
L(5;1,1,1,1,1,1) L(5;1,1,1,1,1,2) L(5;1,1,1,1,2,2) L(5;1,1,1,1,2,2,2)	-68/5 -16/5 -4/5	$-47/5^{2}$ $-11/5^{2}$ $-3/5^{2}$ $1/5^{2}$	$-123/5^{2}$ $-29/5^{2}$ $-7/5^{2}$ $-1/5^{2}$	2/5 4/5 1/5 O	3/5 ² 14/5 ² 22/5 ² 1/5 ²	2/5 ² 21/5 ² 18/5 ² 24/5 ²
L(5;1,1,1,1,1,1,1) L(5;1,1,1,1,1,1,2) L(5;1,1,1,1,1,2,2) L(5;1,1,1,1,2,2,2)		-89/5 ² -21/5 ² -1/5 ¹ -1/5 ²	-11/5 ¹ -13/5 ² -3/5 ² -1/5 ²		$11/5^{2}$ $4/5^{2}$ $4/5^{1}$ $24/5^{2}$	14/5 ¹ 12/5 ² 22/5 ² 24/5 ²
L(5;1,1,1,1,1,1,1,1) L(5;1,1,1,1,1,1,1,2) L(5;1,1,1,1,1,1,2,2) L(5;1,1,1,1,1,2,2,2) L(5;1,1,1,1,1,2,2,2)	644/5 ² 152/5 ² 36/5 ² 8/5 ² 4/5 ²	89/5 ² 21/5 ² 1/5 ¹ 1/5 ² 1/5 ²	233/5 ² 11/5 ¹ 1/5 ² 3/5 ² 1/5 ²	19/5 ² 2/5 ² 11/5 ² 8/5 ² 4/5 ²	14/5 ² 11/5 ² 1/5 ¹ 1/5 ² 1/5 ²	8/5 ² 1/5 ¹ 1/5 ² 3/5 ² 1/5 ²
L(5;1,1,1,1,1,1,1,1,1) L(5;1,1,1,1,1,1,1,1,2) L(5;1,1,1,1,1,1,1,2,2) L(5;1,1,1,1,1,1,2,2,2) L(5;1,1,1,1,1,1,2,2,2,2)		843/5 ³ 199/5 ³ 47/5 ³ 11/5 ³ 3/5 ³	521/5 ³ 123/5 ³ 29/5 ³ 7/5 ³ 1/5 ³		93/5 ³ 74/5 ³ 47/5 ³ 11/5 ³ 3/5 ³	21/5 ³ 123/5 ³ 29/5 ³ 7/5 ³ 1/5 ³
L(5;1,1,1,1,1,1,1,1,1,1,1) L(5;1,1,1,1,1,1,1,1,1,2) L(5;1,1,1,1,1,1,1,1,2,2) L(5;1,1,1,1,1,1,1,2,2,2) L(5;1,1,1,1,1,1,1,2,2,2,2) L(5;1,1,1,1,1,1,1,2,2,2,2,2)	-244/5 ¹ -288/5 ² -68/5 ² -16/5 ² -4/5 ²	-843/5 ³ -199/5 ³ -47/5 ³ -11/5 ³ -3/5 ³	-2207/5 ³ -521/5 ³ -123/5 ³ -29/5 ³ -7/5 ³ -1/5 ³	1/5 ¹ 12/5 ² 7/5 ² 9/5 ² 21/5 ²	32/5 ³ 51/5 ³ 78/5 ³ 114/5 ³ 122/5 ³ 1/5 ³	43/5 ³ 104/5 ³ 2/5 ³ 96/5 ² 118/5 ² 124/5 ²

Tabelle 2

	Die Werte vo	n γ _Z und	$\dot{\gamma}_{Z}^{i}$ auf I	Linsenräumen		
Linsenraum	$Y^{}_{\rm Z}$	$\Upsilon^1_{ m Z}$	$\gamma_{\rm Z}^2$	γ_Z^3	γ_Z^4	$\gamma_{\rm Z}^5$
L(7;1,1) L(7;1,2) L(7;1,3)	O O O	2/7 1/7 3/7	1/7 4/7 5/7	4/7 1/7 6/7		
L(7;1,1,1) L(7;1,1,2) L(7;1,1,3) L(7;1,2,2) L(7;1,2,3) L(7;1,3,3)	0 0 0 0	6/7 2/7 1/7 4/7 6/7	4/7 0 4/7 6/7 6/7 3/7	0 4/7 4/7 4/7 1/7 5/7		
L(7;1,1,1,1) L(7;1,1,1,2) L(7;1,1,1,3) L(7;1,1,2,2) L(7;1,1,2,2) L(7;1,1,3,3) L(7;1,1,3,3) L(7;1,2,2,2) L(7;1,2,2,3) L(7;1,2,3,3)		1/7 5/7 6/7 3/7 1/7 0 0 3/7 4/7	5/7 3/7 1/7 0 3/7 4/7 1/7 1/7	1/7 6/7 0 4/7 3/7 3/7 6/7 3/7		
L(7;1,2,3,3) L(7;1,3,3,3) $L^{5}(7;1,,1)$	0	4/7 5/7	1/7 5/7	2/7 5/7		
$L^{6}(7;1,,1)$ $L^{7}(7;1,,1)$	1/7 O	2/7 37/7 ²	6/7 32/7 ²	3/7 20/7 ²		
$L^{8}(7;1,,1)$ $L^{9}(7;1,,1)$	5/7 O	12/7 ² 19/7 ²	41/7 ² 46/7 ²	38/7 ² 47/7 ²		
$L^{10}(7;1,,1)$ $L^{11}(7;1,,1)$ $L^{12}(7;1,,1)$	4/7 0 48/7 ²	30/7 ² 27/7 ² 22/7 ²	$2/7^{1}$ $40/7^{2}$ $4/7^{2}$	19/7 ² 15/7 ² 47/7 ²		
L ² (11;1,,1) L ⁴ (11;1,,1)	0	2/11 7/11	8/11 3/11	7/11 1/11	10/11	6/11
L ⁶ (11;1,,1) L ⁸ (11;1,,1) L ¹⁰ (11;1,,1)	0	4/11 1/11 3/11	8/11 1/11 2/11	2/11	6/11 7/11 1/11	6/11 0 1/11
$L^{12}(11;1,,1)$		9/11 ²	58/11 ²	4/112	34/11 ²	38/11 ²

Literaturverzeichnis

- [Ad1] J.F.Adams: On the groups J(X)-II, Topology 3 (1965), 137-171
- [Ad2] J.F.Adams: On the groups J(X)-IV, Topology 5 (1966) 21-71
- [Ad3] J.F.Adams: Lie groups, Benjamin (1969)
- [Ad4] J.F.Adams: Lectures on generalised cohomology, in Springer Lect.Notes
 99 (1969), 1-138
- [Ad5] J.F.Adams: On cherncharakters and the structure of the unitary group

 Proceed. of Camb. Phil.Soc. 57 (1961) 189-199
- [AnH] D.W. Anderson, Hodgkin: The K-theory of Eilenberg Mac-Lane complexes,

 Topology 7 (1965), 317-330
- [A-T] S.Araki, H.Toda: Multiplikative struktures in mod-p-cohomology theories I,
 Osaka J.Math. 2 (1965),71-115
- [A 1] M.F.Atiyah: K-theory, Benjamin (1967)
- [A 2] M.F.Atiyah: Characters and cohomology of finite groups, Publ.I.H.E.S. 9 (1961), 23-64
- [A-H1] M.F.Atiyah, F.Hirzebruch: Vectorbundles and homogeneous spaces,

 Proceedings of Symposia in Pure Math. III, Amer.Math.Soc.(1961)

 7-38
- [A-H2] M.F.Atiyah, F.Hirzebruch: Quelques théorèmes de non-prologement pour lesvariétés differentiables, Bull.Soc.Math.France 87 (1959), 383-396
- [A-S1] M.F.Atiyah, G.B.Segal: Equivariant K-theory and completion, J.Differential Geometry 3. (1969), 1-18
- [A-S2] M.F.Atiyah, G.B.Segal: The index of elliptic operators II, Ann. of Math. 87 (1968) 531-545
- [A-S3] M.F.Atiyah, I.M.Singer: The index of elliptic operators I, Ann. of Math. 87 (1968), 484-530

- [A-S4] M.F.Atiyah, I.M.Singer: The index of elliptic operators III,
 Ann.of Math. 87 (1968), 546-604
- [A-S5] M.F.Atiyah, L.Smith: Compact Lie groups and the stable homotopy of spheres, Topology 13 (1974), 153-142
- [B] R.O.Burdick: On the oriented bordism group of \mathbf{Z}_2 ,
 Dissertation Uni. of Virginia (1966)
- [C] A.Conde: On an integrality theorem of Atiyah and Hirzebruch
 An.Acad.brasil. Cienc. (1972) 44, 377-380
- [C-F1] P.E.Conner, E.E.Floyd: Differentiable periodic maps, Springer (1964)
- [C-F2] P.E.Conner, E.E.Floyd: Maps of odd period, Ann.of Math. 84 (1966), 132-156
- [C-F3] P.E.Conner, E.E.Floyd: The relation of cobordism to K-theories,

 Springer Lecture Notes 28 (1966)
- [tD1] T.tom Dieck: Bordism of G-Manifolds and integrality theorems, Topology 9 (1970), 345-358
- [tD2] T.tom Dieck: Lokalisierung äquivarianter Kohomologie-Theorien

 Math. Zeitschr. 121 (1971), 253-262
- [tD3] T.tom Dieck: Periodische Abbildungen unitärer Mannigfaltigkeiten,
 Math. Zeitschr. 126 (1972), 275-295
- [Ha] A. Hattori: Integral characteristic numbers for weakly almost complex manifolds, Topology 5 (1966), 259-280
- [H1] F.Hirzebruch: Topological methods in algebraic geometry, Third edition

 Springer (1966)
- [H2] F.Hirzebruch: The signature of ramified coverings, Global Analysis,

 Papers in Honor of K. Kodaira, Univ. of Tokyo Press (1969),

 253-265
- [H3] F.Hirzebruch: Free involutions on manifolds and some elementary number theory, in Institutio Nazionale di Alta Matematica Symposia Mathe. Vol.5 (1970), 411-419

- [H4] F.Hirzebruch: The signature theorem: reminiscences and recreation,
 in Prospects in Mathematics Ann. of Math.Studies No. 70
 (1971), 3-31
- [H5] F.Hirzebruch: A Riemann-Roch theorem for differentiable manifolds,

 Seminar Bourbaki Février 1959 177 (01-21)
- [H-Z]F.Hirzebruch, D.Zagier: The Atiyah-Singer theorem and elementary number theory, Math.Lecture Series 3, Publish or perish Inc. Boston (1974)
- [Hu] D.Husemoller: Fibre bundles Mc Graw-Hill (1966)
- [J] A.Jankowski: Algebras of the cohomology operations in some cohomology theories

 Dissertationes Mathematcae, Polska Akademia Nauk Warszawa (1974)
- [K-P]D.S.Kahn, S.B.Priddy: Applications of the transfer to stable homotopy theory Bull.Am.Math. Soc 78 (1972), 981-987
- [Ka] T.Kambe: The structure of K_{\triangle} -rings of the lens space and their applications J.Math. Soc.Japan Vol 18 (1966), 135-146
- [Kat]Y.Katsube: Principal oriented bordism algebra $\Omega_*(Z_2^k)$ Hiroshima Math.J 4 (1974), 265-277
- [Kn] J.Knopfmacher: On chern classes of representations of finite groups

 J.London Math. Soc. 41 (1966), 535-541
- [K] M. Kreck: Eine Invariante für stabil parallelisierte Mannigfaltigkeiten
 Dissertation Bonn 1972
- [L-S]P.Löffler, L.Smith: Line bundles over framed manifolds, Math.Z. 138 (1974), 35-52
- [L] G.Lusztig: Novikov's higher signature and families of elliptic operators

 Dissertation Princeton 1971
- [M] W.Mayer: Die Signatur von lokalen Koeffizientensystemen und Faserbündeln Dissertation Bonn 1971
- [Mi] J.Milnor: Lectures on characteristic classes, Notes by J.Stasheff (1958)

- [M-S] J.Morgan, D.Sullivan: The transversality characteristic classes and linking cycles in surgery theory, Ann. of Math. 99 (1974), 463-544
- [N] W.D.Neumann: Signature related invariants of manifolds (in Vorbereitung)
- [O] E.Ossa: Cobordismustheorie von fixpunktfreien und semifreien S¹-Mannigfaltigkeiten, Dissertation Bonn 1969
- [P] T.Petrie: Representation theory, surgery and free actions of finite groups on varieties and homotopy spheres in Spr.Lect.Notes 168 (1970), 250-266
- [Pa] R.S.Palais: Seminar on the Atiyah-Singer index theorem, Annals. of Math.

 Studies 57 (1965)
- [R] R.J-Rowlett: Bounding a free action of an abelian group,

 Duke Math. Journal (1974) 41, 381-385
- [Se] J.P.Serre: Lineare Darstellungen endlicher Gruppen, Vieweg u.Sohn, Braunschweig (1972)
- Sm] L.Smith: On Im { $\Omega_{*}^{fr}(BZ_{p}) \rightarrow \Omega_{*}^{U}(BZ_{p})$ } Preprint, Indiana Uni. (1974)
- [St1] R.E. Stong: Notes on cobordism theory, Princeton Univ. Press (1969)
- [St2] R.E. Stong: Relations among characteristic numbers I, Topology 4 (1965) 267-281
- [Su] D.Sullivan: Geometric topology, Part I, M.I.T. 1970 (mimeographed Notes)
- [T] H. Toda: A survey of homotopy theory, Advances in Mathematics 10 (1973), 417-455
- [V1] J.W. Vick: An application of K-theory to equivariant maps,
 Bull. A.M.S. 75 (1969), 1017-1019
- [V2] J.W. Vick: Pontryagin duality in K-theory, Proceed. of Am.M.Soc. 24 (1970), 611-616
- [W] G.Wilson: K-theory invariants for unitary G-bordism, Quart.J.Math.
 Oxford 24 (1973), 499-526
- [Z] D.Zagier: Higher dimensional Dedekind sums, Math.Ann. 202 (1973), 149-172